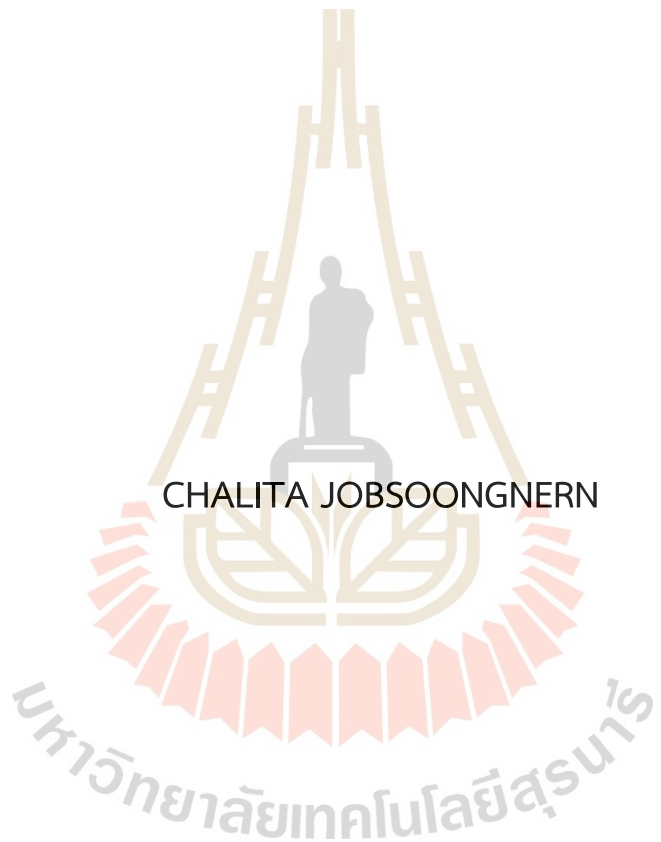


การใช้พลังงานในการเคลื่อนที่ที่น้อยที่สุดของระบบขนส่งรางเบาที่มีแบตเตอรี่
บนขบวนรถด้วยลักษณะความเร็วที่เหมาะสมโดยใช้วิธีกำหนดการพลวต



วิทยานิพนธ์นี้เป็นส่วนหนึ่งของการศึกษาตามหลักสูตรปริญญาวิศวกรรมศาสตรมหาบัณฑิต
สาขาวิศวกรรมไฟฟ้า
มหาวิทยาลัยเทคโนโลยีสุรนารี
ปีการศึกษา 2564

MINIMIZING ENERGY CONSUMPTION OF ON-BOARD BATTERY
SYSTEM OF LIGHT RAIL TRANSIT BY SPEED PROFILE
OPTIMIZATION USING DYNAMIC PROGRAMMING



A Thesis Submitted in Partial Fulfillment of the Requirement for
the Degree of Master of Engineering in Electrical Engineering
Suranaree University of Technology
Academic Year 2021

การใช้พลังงานในการเคลื่อนที่ที่น้อยที่สุดของระบบขนส่งทางเบาที่มีแบบเตอร์บิน
ขบวนรถด้วยลักษณะความเร็วที่เหมาะสมโดยใช้วิธีกำหนดการพลวต

มหาวิทยาลัยเทคโนโลยีสุรนาครี อนุมัติให้นับวิทยานิพนธ์ฉบับนี้เป็นส่วนหนึ่งของการศึกษา^{ตามหลักสูตรปริญญามหาบัณฑิต}

คณะกรรมการสอบวิทยานิพนธ์

อนันดา วงศ์

(อาจารย์ ดร. กฤษดา มงคลดี)

ประธานกรรมการ

ทักษิณ วงศ์ไชยรัช

(ผศ. ดร. ทศพล รัตน์นิยมชัย)

กรรมการ (อาจารย์ที่ปรึกษาวิทยานิพนธ์)

จันดชัย กล่าววนิชพงษ์

กรรมการ

ก. พ.

(รศ. ดร. กีรติ ยะกุลคีรී)

กรรมการ

(รศ. ดร. อัตรชัย โชติษฐยางกูร)

รองอธิการบดีฝ่ายวิชาการและประกันคุณภาพ

(รศ. ดร. พรศิริ จงกล)

คณบดีสำนักวิชาวิศวกรรมศาสตร์

ชลิตา จบสุงเนิน : การใช้พลังงานในการเคลื่อนที่ที่น้อยที่สุดของระบบขนส่งรางเบาที่มีแบบเตอร์รีบันขบวนรถด้วยลักษณะความเร็วที่เหมาะสมโดยใช้วิธีกำหนดการพลวัต (MINIMIZING ENERGY CONSUMPTION OF ON-BOARD BATTERY SYSTEM OF LIGHT RAIL TRANSIT BY SPEED PROFILE OPTIMIZATION USING DYNAMIC PROGRAMMING)
อาจารย์ที่ปรึกษา : ผู้ช่วยศาสตราจารย์ ดร. ทศพล รัตนนิยมชัย, 115 หน้า.

คำสำคัญ : การขนส่งรถไฟฟ้ารางเบา, กำหนดการพลวัต, ลักษณะความเร็วที่เหมาะสม

วิทยานิพนธ์ฉบับนี้นำเสนอการใช้พลังงานในการเคลื่อนที่ที่น้อยที่สุดของระบบขนส่งรถไฟฟ้ารางเบาที่มีแบบเตอร์รีบันขบวนรถเป็นแหล่งจ่ายเพียงอย่างเดียวเท่านั้น โดยการหาลักษณะความเร็วในการเคลื่อนที่ที่เหมาะสมโดยใช้วิธีกำหนดการพลวัต กรณีศึกษาเป็นการจำลองการเคลื่อนที่ของรถไฟฟ้ารางเบา 1 ขบวน โดยใช้เส้นทางของโครงการรถไฟฟ้ารางเบา Korat LRT สายสีเขียว จังหวัดนครราชสีมา ประเทศไทย รวมระยะทางการเดินรถไปและกลับประมาณ 22 กิโลเมตร มีจำนวนสถานีผู้โดยสารทั้งหมด 21 สถานี ซึ่งมีการชำระเงินโดยบัตรโดยสารที่ติดตัว จึงทำการหาเฉพาะส่วนเส้นทางที่ใช้รถไฟฟ้ารางเบา มีความเร็วคงที่เท่านั้น และเพื่อให้ได้ความเร็วที่เหมาะสมที่สุด กำหนดการพลวัตได้ใช้พลังงานในการเคลื่อนที่เป็นพังก์ชันวัตถุประสมค์ โดยจำกัดขอบเขตค่าความเร็ว ความเร่ง และเวลาที่ใช้ในการเคลื่อนที่เพื่อประสิทธิภาพของระบบขนส่ง มีการนำเสนอแบบจำลองการเคลื่อนที่ของรถไฟฟ้ารางเบา และแบบจำลองของแบบเตอร์รีบันขบวนรถเพื่อใช้ในการคำนวณ โดยวิธีกำหนดการพลวัตได้คำนวณแบบไปข้างหน้าและแบบย้อนกลับ เพื่อเปรียบเทียบและหาผลลัพธ์ที่ดีที่สุด โดยใช้โปรแกรม MATLAB ผลการศึกษาพบว่า พลังงานที่ใช้ในการเคลื่อนที่ที่น้อยที่สุดได้จากการคำนวณแบบย้อนกลับ คือ 64.12 kWh ซึ่งคิดเป็นการประหยัดพลังงาน 12.31%

CHALITA JOBSOONGNERN : MINIMIZING ENERGY CONSUMPTION OF ON-BOARD BATTERY SYSTEM OF LIGHT RAIL TRANSIT BY SPEED PROFILE OPTIMIZATION USING DYNAMIC PROGRAMMING. THESIS ADVISOR : ASST. PROF. TOSAPHOL RATNIYOMCHAI, Ph.D., 115 PP.

Keyword : Light rail transit, Dynamic programming, Optimal speed profile

This thesis presents minimizing energy consumption of light rail transport systems with only on-board batteries as the only power source by speed profile optimization using dynamic programming. This case study uses the route of the Korat light rail transit green line, Nakhon Ratchasima, Thailand, with a total distance of 22 km and 21 passenger stations. The light rail vehicle recharges the on-board battery after round trip service. The route has a specific path and mixed traffic section with public roads which find the optimal speed profile, only the specific path section where the light rail vehicle has a constant speed will be searched and to get the most suitable speed profile. Dynamic programming uses energy consumption as an objective function by limiting the velocity, acceleration, and running time for the service efficiency of the transport system. A light rail vehicle movement model and a model of the battery on the train for use in the calculations are presented. The forward and backward approaches of dynamic programming are calculated to compare and find the best solution. For the simulation using MATLAB, the result of the minimum energy consumption was 64.12 kWh, representing a 12.31% energy savings which are calculated by the dynamic programming backward approach.

School of Electrical Engineering
Academic Year 2021

Student's Signature Chalita
Advisor's Signature Tosaphol

กิตติกรรมประกาศ

วิทยานิพนธ์เล่มนี้สำเร็จลุล่วงได้ด้วยดีเนื่องจากได้รับความช่วยเหลืออย่างดียิ่งทั้งทางด้านวิชาการและงานวิจัยจากบุคคล และกลุ่มบุคคลต่าง ๆ ได้แก่

ผู้ช่วยศาสตราจารย์ ดร. ทศพล รัตนนิยมชัย อาจารย์ที่ปรึกษาวิทยานิพนธ์ ที่ให้คำปรึกษาแนะนำและแนะนำแนวทางที่เป็นประโยชน์ยิ่งแก่ผู้วิจัยมาโดยตลอด รวมถึงได้ช่วยตรวจทาน และแก้ไขรายงานวิทยานิพนธ์เล่มนี้จนทำให้มีความสมบูรณ์ยิ่งขึ้น รวมทั้งเป็นกำลังใจ และเป็นแบบอย่างที่ดีในการดำเนินชีวิตหลาຍ ๆ ด้านให้กับผู้วิจัยเสมอมา

รองศาสตราจารย์ ดร. ธนัตชัย กลวรรณนิพงษ์ และรองศาสตราจารย์ ดร. กีรติ ชัยฤทธิ์ อาจารย์ประจำสาขาวิชาวิศวกรรมไฟฟ้า มหาวิทยาลัยเทคโนโลยีสุรนารี และอาจารย์ ดร. กฤษดา มงคลดี อาจารย์ประจำสถาบันระบบบรรจง มหาวิทยาลัยเทคโนโลยีราชมงคลอีสาน ที่กรุณายังให้คำปรึกษาด้านวิชาการ และแนะนำแนวทางของงานวิจัย และตรวจทานวิทยานิพนธ์เล่มนี้ให้ดีและสมบูรณ์มากยิ่งขึ้น

ขอขอบคุณอาจารย์และบุคคลากรประจำสาขาวิชาวิศวกรรมไฟฟ้า มหาวิทยาลัยเทคโนโลยีสุรนารีทุกท่านที่กรุณายังให้คำปรึกษา แนะนำ และความรู้ทางด้านวิชาการอย่างดียิ่งมาโดยตลอด และมหาวิทยาลัยเทคโนโลยีเทคโนโลยีสุรนารีที่ได้สนับสนุนค่าใช้จ่ายในการศึกษา รวมทั้งการเผยแพร่องานวิจัย

สุดท้ายนี้ ผู้วิจัยขอขอบคุณอาจารย์ผู้สอนทุกท่านที่ให้ความรู้ทางด้านวิชาการทั้งในดีต และปัจจุบัน ขอบคุณ พี่ ๆ เพื่อน ๆ และน้อง ๆ บุณฑิตศึกษาทุกท่านที่ให้คำปรึกษาและช่วยเหลือในทุก ๆ ด้าน และเป็นกำลังใจในการทำวิจัย และขอกราบขอบพระคุณบิดา มารดา ที่ได้ให้ความรักความอบอุ่น และให้การสนับสนุนทางด้านการศึกษาอย่างยิ่งมาโดยตลอด

ชลิตา จบสูงเนิน

สารบัญ

หน้า

บทคัดย่อ (ภาษาไทย)	ก
บทคัดย่อ (ภาษาอังกฤษ)	ข
กิตติกรรมประกาศ	ค
สารบัญ	ง
สารบัญตาราง	ช
สารบัญรูป.....	ฉ
บทที่	
1 บทนำ	
1.1 ความเป็นมาและความสำคัญของปัญหา	1
1.2 วัตถุประสงค์ของการวิจัย	4
1.3 สมมติฐานของการวิจัย	4
1.4 ข้อตกลงเบื้องต้น	4
1.5 ขอบเขตของการวิจัย	4
1.6 ประโยชน์ที่คาดว่าจะได้รับ	5
1.7 การจัดรูปเล่มวิทยานิพนธ์	5
2 ปริทศน์วรรณกรรมและงานวิจัยที่เกี่ยวข้อง	7
2.1 บทนำ.....	7
2.2 การจำลองการเคลื่อนที่ของ xn ส่งมวลชนระบบранที่มีแหล่งจ่ายเป็นแบตเตอรี่ บนขนาดรถ	7
2.3 การใช้พลังงานในการเคลื่อนที่ที่น้อยที่สุดของระบบ xn ส่งมวลชนระบบран	11
2.4 สรุป	13
3 ทฤษฎีที่เกี่ยวข้อง	14
3.1 บทนำ.....	14
3.2 ระบบจ่ายไฟฟ้าสำหรับระบบ xn ส่งรถไฟฟ้าแรงเบา	14
3.3 แหล่งจ่ายพลังงานสำหรับระบบรถไฟฟ้าแรงเบาแบบบนขนาดรถ	17

สารบัญ (ต่อ)

หน้า

3.3.1	แบตเตอรี่ (Battery)	17
3.3.2	ตัวเก็บประจุยิ่งยวด (supercapacitor)	19
3.3.3	ล้อตุนกำลัง (flywheel)	19
3.4	การเบรกแบบจ่ายคืนพลังงาน.....	20
3.5	สรุป.....	20
4	การจำลองการเคลื่อนที่ของรถไฟฟ้าร่างเบาที่มีแหล่งจ่ายเป็นแบตเตอรี่บนขวนรถ...	21
4.1	บทนำ	21
4.2	แบบจำลองการเคลื่อนที่ของรถไฟฟ้าร่างเบา	21
4.3	แบบจำลองของแบตเตอรี่	26
4.4	การจำลองการเคลื่อนที่ของรถไฟฟ้าร่างเบา	27
4.5	ผลการจำลองการเคลื่อนที่ของรถไฟฟ้าร่างเบา	32
4.5.1	ขนาดของแบตเตอรี่ในแต่ละกรณีและผลการจำลองการเคลื่อนที่โดยมีแหล่งจ่ายเป็นแบตเตอรี่	35
4.5.2	ผลการจำลองการเคลื่อนที่โดยมีแหล่งจ่ายเป็นแบตเตอรี่	37
4.5.3	การพิจารณาตำแหน่งของโหมดการเคลื่อนที่ด้วยความฉี่อย	54
4.6	สรุป	57
5	การใช้พลังงานในการเคลื่อนที่ที่น้อยที่สุดด้วยการหาลักษณะความเร็วเหมาะสมโดยใช้กำหนดการพลวัต	58
5.1	บทนำ	58
5.2	กำหนดการพลวัต (Dynamic programming)	58
5.3	การสร้างขอบเขตความเร็วในการเคลื่อนที่	60
5.4	การสร้างระดับความเร็วในขอบเขตความเร็วที่กำหนด	62
5.5	การหาลักษณะความเร็วที่เหมาะสมด้วยกำหนดการพลวัต	64
5.6	สรุป	68
6	ผลการศึกษาและการวิเคราะห์ผล	69
6.1	บทนำ	69

สารบัญ (ต่อ)

หน้า

6.2	ผลการจำลองกำหนดการพลวัตโดยการคำนวณแบบไปข้างหน้า	69
6.3	ผลการจำลองกำหนดการพลวัตโดยการคำนวณแบบย้อนกลับ	73
6.4	การเปรียบเทียบผลการคำนวณแบบย้อนกลับและแบบไปข้างหน้า	77
6.5	สรุป	80
7	สรุปผล และข้อเสนอแนะ	81
7.1	สรุปผลการดำเนินงาน	81
7.2	ข้อเสนอแนะ	82
รายการอ้างอิง		83
ภาคผนวก.....		87
ภาคผนวก ก กำลังไฟฟ้าของรถไฟฟ้าร่างเบากรถีต่าง ๆ		87
ภาคผนวก ข บทความทางวิชาการที่ได้รับการตีพิมพ์เผยแพร่ในระหว่างศึกษา		100
ประวัติผู้เขียน		115

สารบัญตาราง

ตารางที่	หน้า
3.1 แรงดันมาตรฐานการจ่ายไฟตามมาตรฐาน EN50163 หรือ IEC60850	16
4.1 ความเร็วสูงสุดในการเคลื่อนที่ขาไปของแต่ละสถานี	28
4.2 ความเร็วสูงสุดในการเคลื่อนที่ขากลับของแต่ละสถานี	29
4.3 ค่าพารามิเตอร์ของรถไฟฟ้าร่างเบาที่ใช้ในการจำลอง	30
4.4 กรณีศึกษาของตำแหน่งในการชาร์จ	36
4.5 ค่าพารามิเตอร์ของโมดูลแบบตเตอรี่ที่ใช้ในการจำลอง	36
4.6 ค่าพารามิเตอร์ของแบบตเตอรี่แพคในกรณีศึกษาทั้ง 6 กรณี	37
4.7 การเปรียบเทียบการประยัดพลังงานจากการเบรกแบบจ่ายคืนพลังงาน	52
4.8 การเปรียบเทียบพลังงานในการเคลื่อนที่และต้นทุนเบื้องต้นในแต่ละกรณี	53
4.9 การเปรียบเทียบพลังงานในการเคลื่อนที่เมื่อมีและไม่มี荷ดการเคลื่อนที่ด้วยความเร็วอยู่.....	57
5.1 ขอบเขตของความเร็วสูงสุดและต่ำสุดในแต่ละสถานีของการเคลื่อนที่ขาไป	60
5.2 ขอบเขตของความเร็วสูงสุดและต่ำสุดในแต่ละสถานีของการเคลื่อนที่ขากลับ	61
6.1 การเปรียบเทียบพลังงานในการเคลื่อนที่ที่น้อยที่สุดโดยการคำนวณแบบไปข้างหน้า	72
6.2 การเปรียบเทียบการใช้พลังงานในการเคลื่อนที่ที่น้อยที่สุด	76

สารบัญรูป

รูปที่	หน้า
1.1 ระบบขนส่งรางเบา เมืองเชบิยา ประเทศไทยเป็น	2
1.2 ระบบขนส่งรางเบา เมืองหนานจิง ประเทศจีน	2
1.3 โครงการระบบขนส่งรางเบา Korat LRT สายสีเขียว เมืองนครราชสีมา ประเทศไทย.....	3
2.1 การทำงานของระบบขับเคลื่อนขณะมีตัวนำแคคเทินารี	8
2.2 การทำงานของระบบขับเคลื่อนขณะไม่มีตัวนำแคคเทินารี	9
2.3 แบบจำลองของแบตเตอรี่แบบอย่างง่าย	10
2.4 ตัวเลือกความเร็วตามวิถีการเคลื่อนที่ในระยะทาง	12
3.1 รถไฟฟ้ารางเบาที่เมืองอัมสเตอร์ดัม ประเทศเนเธอร์แลนด์.....	14
3.2 รถไฟฟ้ารางเบาที่เมืองชิดนีย์ รัฐนิวเซาท์เวลส์ ประเทศออสเตรเลีย.....	15
3.3 รถไฟฟ้ารางเบาที่เมืองเชบิยา ประเทศไทยเป็น	15
4.1 โหมดการเคลื่อนที่ของรถไฟฟ้ารางเบา	22
4.2 แบบจำลองการเคลื่อนที่ของรถไฟฟ้ารางเบา.....	22
4.3 ลักษณะคุณสมบัติของแรงดูดหัวรถจักรไฟฟ้ากับความเร็วเชิงเส้น.....	25
4.4 แผนภาพระยะวิกฤติการเบรก	25
4.5 แบบจำลองของแบตเตอรี่.....	26
4.6 เส้นทางการเดินรถของโครงการ Korat LRT สายสีเขียว	28
4.7 หลักการทำงานของแบบจำลองการเคลื่อนที่ของรถไฟฟ้ารางเบาที่มีแหล่งจ่าย เป็นแบตเตอรี่บนขบวนรถ	31
4.8 ลักษณะการเคลื่อนที่ของรถรางเบาเทียบกับระยะทาง	32
4.9 ลักษณะการเคลื่อนที่ของรถรางเบาเทียบกับเวลา	33
4.10 กำลังไฟฟ้าของรถรางเบาเทียบกับระยะทาง	33
4.11 แรงดูดของขบวนรถเทียบกับเวลา	34
4.12 พลังงานที่ใช้ในการเคลื่อนที่ของรถรางเทียบกับระยะทาง.....	34
4.13 แบตเตอรี่โมดูลที่ใช้ในการจำลอง ผลิตโดย Altairnano	35
4.14 ระดับประจุของแบตเตอรี่เทียบกับเวลา กรณีที่ 1 เมื่อไม่พิจารณาพลังงานจากการเบรก.....	38

สารบัญรูป (ต่อ)

สารบัญรูป (ต่อ)

รูปที่	หน้า
4.41 ลักษณะความเร็วในการเคลื่อนที่เมื่อมีหมวดการเคลื่อนที่ด้วยความเฉื่อยเทียบกับเวลา	56
4.42 พลังงานในการเคลื่อนที่เมื่อมีและไม่มีหมวดการเคลื่อนที่ด้วยความเฉื่อยเทียบกับระยะเวลา..	56
5.1 ตัวอย่างการคำนวณกำหนดการพลวัต.....	59
5.2 การสร้างขอบเขตความเร็วในการเคลื่อนที่	60
5.3 หาลักษณะความเร็วที่เหมาะสมด้วยกำหนดการพลวัต โดยการคำนวณแบบไปข้างหน้า.....	65
5.4 หาลักษณะความเร็วที่เหมาะสมด้วยกำหนดการพลวัต โดยการคำนวณแบบย้อนกลับ.....	65
5.5 ตัวอย่างลักษณะความเร็วที่สามารถเป็นไปได้ของสถานีที่ 1.....	66
5.6 ตัวอย่างลักษณะความเร็วที่สามารถเป็นไปได้ของสถานีที่ 15	66
5.7 แผนผังการหาลักษณะความเร็วที่เหมาะสมโดยกำหนดการพลวัต.....	67
6.1 ลักษณะความเร็วในการเคลื่อนที่ที่เหมาะสมโดยการคำนวณแบบไปข้างหน้า	69
6.2 พลังงานในการเคลื่อนที่ของลักษณะความเร็วที่เหมาะสมโดยการคำนวณแบบไปข้างหน้า....	70
6.3 ระดับประจุเบตเตอร์ของลักษณะความเร็วที่เหมาะสมโดยการคำนวณแบบไปข้างหน้า	71
6.4 ลักษณะความเร็วในการเคลื่อนที่ที่เหมาะสมโดยการคำนวณแบบย้อนกลับ	73
6.5 พลังงานในการเคลื่อนที่ของลักษณะความเร็วที่เหมาะสมโดยการคำนวณแบบไปข้างหน้า....	74
6.6 ระดับประจุเบตเตอร์ของลักษณะความเร็วที่เหมาะสมโดยการคำนวณแบบย้อนกลับ	75
6.7 ลักษณะความเร็วในการเคลื่อนที่กรณีต่าง ๆ เทียบกับระยะเวลา	77
6.8 พลังงานที่ใช้ในการเคลื่อนที่ของลักษณะความเร็วกรณีต่าง ๆ เทียบกับระยะเวลา	78
6.9 ระดับประจุที่ใช้ในการเคลื่อนที่ของลักษณะความเร็วกรณีต่าง ๆ เทียบกับเวลา	79
6.10 กำลังไฟฟ้าที่ใช้ในการเคลื่อนที่ของลักษณะความเร็วกรณีต่าง ๆ เทียบกับระยะเวลา	80
ก.1 กำลังไฟฟ้าเทียบกับเวลา กรณีที่ 1 เมื่อไม่พิจารณาพลังงานจากการเบรก	88
ก.2 กำลังไฟฟ้าเทียบกับเวลา กรณีที่ 2 เมื่อไม่พิจารณาพลังงานจากการเบรก	88
ก.3 กำลังไฟฟ้าเทียบกับเวลา กรณีที่ 3 เมื่อไม่พิจารณาพลังงานจากการเบรก	89
ก.4 กำลังไฟฟ้าเทียบกับเวลา กรณีที่ 4 เมื่อไม่พิจารณาพลังงานจากการเบรก	89
ก.5 กำลังไฟฟ้าเทียบกับเวลา กรณีที่ 5 เมื่อไม่พิจารณาพลังงานจากการเบรก	90
ก.6 กำลังไฟฟ้าเทียบกับเวลา กรณีที่ 6 เมื่อไม่พิจารณาพลังงานจากการเบรก	90
ก.7 กำลังไฟฟ้าเทียบกับเวลา กรณีที่ 1 เมื่อพิจารณาพลังงานจากการเบรก	91
ก.8 กำลังไฟฟ้าเทียบกับเวลา กรณีที่ 2 เมื่อพิจารณาพลังงานจากการเบรก	91

สารบัญรูป (ต่อ)

รูปที่	หน้า
ก.9 กำลังไฟฟ้าเทียบกับเวลา กรณีที่ 3 เมื่อพิจารณาพลังงานจากการเบรก	92
ก.10 กำลังไฟฟ้าเทียบกับเวลา กรณีที่ 4 เมื่อพิจารณาพลังงานจากการเบรก	92
ก.11 กำลังไฟฟ้าเทียบกับเวลา กรณีที่ 5 เมื่อพิจารณาพลังงานจากการเบรก	93
ก.12 กำลังไฟฟ้าเทียบกับเวลา กรณีที่ 6 เมื่อพิจารณาพลังงานจากการเบรก	93
ก.13 กำลังไฟฟ้าเทียบกับเวลา กรณีคำนวณแบบไปข้างหน้าที่ $K = 6$	94
ก.14 กำลังไฟฟ้าเทียบกับเวลา กรณีคำนวณแบบไปข้างหน้าที่ $K = 10$	94
ก.15 กำลังไฟฟ้าเทียบกับเวลา กรณีคำนวณแบบไปข้างหน้าที่ $K = 15$	95
ก.16 กำลังไฟฟ้าเทียบกับเวลา กรณีคำนวณแบบไปข้างหน้าที่ $K = 20$	95
ก.17 กำลังไฟฟ้าเทียบกับเวลา กรณีคำนวณแบบไปข้างหน้าที่ $K = 25$	96
ก.18 กำลังไฟฟ้าเทียบกับเวลา กรณีคำนวณแบบไปข้างหน้าที่ $K = 30$	96
ก.19 กำลังไฟฟ้าเทียบกับเวลา กรณีคำนวณแบบย้อนกลับที่ $K = 6$	97
ก.20 กำลังไฟฟ้าเทียบกับเวลา กรณีคำนวณแบบย้อนกลับที่ $K = 10$	97
ก.21 กำลังไฟฟ้าเทียบกับเวลา กรณีคำนวณแบบย้อนกลับที่ $K = 15$	98
ก.22 กำลังไฟฟ้าเทียบกับเวลา กรณีคำนวณแบบย้อนกลับที่ $K = 20$	98
ก.23 กำลังไฟฟ้าเทียบกับเวลา กรณีคำนวณแบบย้อนกลับที่ $K = 25$	99
ก.24 กำลังไฟฟ้าเทียบกับเวลา กรณีคำนวณแบบย้อนกลับที่ $K = 30$	99

บทที่ 1

บทนำ

1.1 ความเป็นมาและความสำคัญของปัญหา

ปัจจุบันการขนส่งมวลชนระบบรางเป็นที่นิยมแพร่หลายทั่วโลก และมีหลากหลายประเภทให้เลือกใช้ตามความต้องการของผู้ใช้บริการ ซึ่งมีทั้งรถไฟฟ้าความเร็วสูงที่ใช้ขับส่งผู้โดยสารระหว่างเมือง รถไฟฟ้านส่วนมวลชนหรือรถไฟใต้ดินที่ใช้ขับส่งผู้โดยสารในเมืองหลวงและเมืองรองขนาดใหญ่ที่มีประชากรหนาแน่น นอกจากนี้ยังมีรถรางที่ใช้ขับส่งผู้โดยสารในเมือง ซึ่งขับส่งผู้โดยสารในระยะทางที่สั้นและใช้ความเร็วต่ำในการให้บริการ เช่นเดียวกันกับระบบขนส่งรถไฟฟาระยะเบา (Light Rail Transit: LRT) นอกจากสถานีที่อยู่ใกล้และเข้าถึงง่ายมากกว่าสถานีของระบบขนส่งอื่นๆ ยังมีการก่อสร้างที่เป็นมิตรกับสิ่งแวดล้อมมากขึ้น และยังได้รับความสนใจในสังคมผู้สูงอายุอีกด้วย (Ishino et al., 2012) แหล่งพลังงานของรถไฟฟานั้นมีหลากหลายประเภท ในยุคแรกเริ่มใช้เป็นหัวรถจักรไอน้ำ ต่อมามาดัดพัฒนาโดยใช้เชื้อเพลิงดีเซล ในปัจจุบันพลังงานที่เป็นที่แพร่หลายในโลก คือ รถไฟที่ใช้พลังงานไฟฟ้า หรือเรียกว่า รถไฟฟ้า ข้อดีของรถไฟฟ้า คือ ไม่ปล่อยควันที่เป็นมลพิษทางอากาศ ซึ่งเป็นเรื่องที่หัวรถจักรกำลังให้ความสนใจในขณะนี้ และด้วยเทคโนโลยีในปัจจุบัน รูปแบบของพลังงานไฟฟ้าที่จ่ายให้กับรถไฟฟานั้นมีหลากหลายประเภทมากขึ้น เช่น การจ่ายพลังงานไฟฟ้าผ่านตัวนำแคทนารี (Catenary) การจ่ายพลังงานไฟฟ้าผ่านราง และประเภทที่งานวิจัยฉบับนี้มุ่งเน้นศึกษา คือ การจ่ายพลังงานไฟฟ้าจากระบบกักเก็บพลังงานบนขบวนรถ (on-board energy storage system) เนื่องจากความก้าวหน้าทางเทคโนโลยีของอุปกรณ์กักเก็บพลังงาน และการชาร์จอย่างรวดเร็วในแต่ละสถานี ทำให้มีระบบขนส่งรถไฟฟาระยะเบาที่ไม่ใช้การจ่ายพลังงานผ่านตัวนำแคทนารี และมีแหล่งกักเก็บพลังงานบนขบวนรถ โดยมีข้อดี ดังนี้ มีการก่อสร้างที่ไม่ยุ่งยากเมื่อเทียบกับระบบจ่ายพลังงานผ่านตัวนำที่นารี และแบบจ่ายพลังงานผ่านราง ไม่มีสายตัวนำแคทนารีที่บดบังทศนวิสัยที่สวยงามของเมือง นอกจากนี้ การสร้างระบบขนส่งทางรางไฟฟ้าแบบจ่ายพลังงานผ่านตัวนำแคทนารี เป็นเรื่องยากที่จะได้รับความยินยอมจากประชาชนและนักวางแผนเมือง เนื่องจาก อาจเป็นการเปลี่ยนวิถีชีวิตเดิมของชาวเมือง และสายไฟที่ติดตั้งตามถนนอาจทำให้เมืองด้อยคุณค่าลง (Becker et al., 2016) ดังนั้น การสร้างรถไฟแบบที่ไม่ใช้แหล่งพลังงานจากสายไฟเหนือศีริจะช่วยให้โอกาสที่เป็นไปได้มากกว่า งานวิจัยฉบับนี้ ได้เน้นศึกษาในเรื่องระบบขนส่งรางเบาที่ใช้พลังงานไฟฟ้าจากเบตเตอร์ใน การ

ขับเคลื่อน โดยระบบขนส่งรางเบาประเภทนี้นั้น ได้เริ่มมีการเปิดให้บริการในหลายประเทศ ซึ่งให้บริการแบบผสมระหว่างแหล่งจ่ายพลังงานผ่านตัวนำแคทีนารี และแหล่งกักเก็บพลังงานบนขบวนรถ คือ แบตเตอรี่ โดยช่วงของเส้นทางที่ไม่มีการจ่ายพลังงานผ่านตัวนำแคทีนารี ขบวนรถจะใช้พลังงานจากแบตเตอรี่เท่านั้น และจอดชาร์จพลังงานแบตเตอรี่ที่สถานีผู้โดยสาร ซึ่งระบบนี้ในปัจจุบันมีหลากหลายประเทศที่ได้เปิดให้บริการ ตัวอย่างเช่น ที่เมืองเซบิยา ประเทศสเปน โดยในเส้นทางที่ใช้แหล่งพลังงานจากแบตเตอรี่มีสถานีผู้โดยสาร 5 สถานี ระยะทาง 2.2 km (Boris, 2018) เปิดให้บริการปี ค.ศ. 2007 ดังรูปที่ 1.1 และที่เมืองหนานจิง ประเทศจีน ระยะทาง 7.65 km มีสถานีผู้โดยสาร 13 สถานี เปิดให้บริการปี ค.ศ. 2014 (Becker et al., 2021) ดังรูปที่ 1.2



รูปที่ 1.1 ระบบขนส่งรางเบา เมืองเซบิยา ประเทศสเปน

ที่มาภาพ: (Ian, 2017)



รูปที่ 1.2 ระบบขนส่งรางเบา เมืองหนานจิง ประเทศจีน

ที่มาภาพ: (Becker et al., 2017)

ปัจจุบันประเทศไทย เมืองนครราชสีมา ซึ่งเป็นเมืองที่ใหญ่เป็นอันดับสองของประเทศไทย ได้ริเริ่มโครงการระบบขนส่งสาธารณะระบบรางเบา Korat LRT (Korat Light Rail Transit) สายสีเขียว

ดังรูปที่ 1.3 เพื่อแก้ปัญหาการจราจร และน้ำยาภัยการขนส่งอื่น ๆ โดยเป็นโครงการระบบขนส่งรางเบาที่มีแหล่งจ่ายเป็นแบตเตอรี่บนขอบรถ โดยมีจำนวนสถานีทั้งหมด 21 สถานี ให้บริการตั้งแต่สถานีตลาดเชฟวันถึงสถานีบ้านนาเรีสวัสดิ์ เป็นระยะทางรวมขาไป และขากลับ 22 km (Jobsoongnern et al., 2022)



รูปที่ 1.3 โครงการระบบขนส่งรางเบา Korat LRT สายสีเขียว เมืองนครราชสีมา ประเทศไทย

ที่มาภาพ: <https://wekorat.com/2017/07/30/korat-lrt-light-rail-july-2017/>

[เข้าถึงเมื่อ 4 เมษายน 2565]

งานวิจัยฉบับนี้จึงได้นำเสนอทางของโครงการ Korat LRT สายสีเขียว มาพัฒนาเป็นงานวิจัย ที่ศึกษาเกี่ยวกับพลังงานที่ใช้ในการเคลื่อนที่ของระบบขนส่งรางเบาที่ได้จากการจำลองการเคลื่อนที่ และระบบการชาร์จแบตเตอรี่อย่างรวดเร็วที่สถานีขณะจอดรับผู้โดยสาร ในงานวิจัยฉบับนี้ได้ศึกษา ผลกระทบที่เกิดขึ้นกับพลังงานที่ใช้ในการเคลื่อนที่จากระยะห่างที่แตกต่างกันของตำแหน่งจุดชาร์จ แบตเตอรี่ โดยได้แบ่งศึกษาเป็น 6 กรณี คือ กรณีที่ 1 ชาร์จทุก ๆ สถานี กรณีที่ 2 ชาร์จทุก ๆ 2 สถานี กรณีที่ 3 ชาร์จทุก ๆ 3 สถานี กรณีที่ 4 ชาร์จทุก ๆ 5 สถานี กรณีที่ 5 ชาร์จที่สถานีปลายทาง และกรณีที่ 6 ชาร์จทุก ๆ การเดินทางไป-กลับ โดยได้พิจารณาเปรียบเทียบพลังงานที่ใช้ในการ เคลื่อนที่ (Energy consumption) พลังงานที่ชาร์จแบตเตอรี่เมื่อสิ้นสุดการเดินทางที่สถานีสุดท้าย (Recharge energy) และพลังงานที่ประหยัดได้จากการเบรก (Regenerative braking energy) และ มีเป้าหมายเพื่อมุ่งเน้นนำเสนอแนวทางการลดพลังงานในการเคลื่อนที่ของระบบขนส่งรางเบา ด้วย การเพิ่มประสิทธิภาพลักษณะความเร็วในการเคลื่อนที่โดยวิธีกำหนดการพลวัต (Dynamic programming) ซึ่งเป็นวิธีที่นิยมใช้ในการแก้ปัญหาที่มีความซับซ้อนด้วยการแบ่งปัญหาออกเป็น ปัญหาย่อย

1.2 วัตถุประสงค์ของการวิจัย

1.2.1 ศึกษาและจำลองการเคลื่อนที่ของรถไฟฟ้ารางเบาที่มีแหล่งจ่ายเป็นแบบเตอร์บินขบวนรถ

1.2.2 เปรียบเทียบพลังงานที่ใช้ในการเคลื่อนที่ของรถไฟฟ้ารางเบาที่เกิดจากผลของตำแหน่งการชาร์จที่แตกต่างกัน และพลังงานที่ได้จากการเบรก

1.2.3 ศึกษาการลดการใช้พลังงานในการเคลื่อนที่โดยการเพิ่มประสิทธิภาพลักษณะความเร็วในการเคลื่อนที่ของรถไฟฟ้ารางเบาด้วยวิธีกำหนดการพลวัต และเปรียบเทียบพลังงานที่ใช้ในการเคลื่อนที่ก่อนและหลังการเพิ่มประสิทธิภาพ

1.3 สมมติฐานของการวิจัย

การใช้พลังงานในการเคลื่อนที่ของรถไฟฟ้ารางเบาลดลงเมื่อมีลักษณะความเร็วในการเคลื่อนที่ที่เหมาะสม

1.4 ข้อตกลงเบื้องต้น

1.4.1 การจำลองการเคลื่อนที่ของรถไฟฟ้ารางเบา โดยการคำนวณแบบจำลองทางคณิตศาสตร์ด้วยโปรแกรม MATLAB

1.4.2 ข้อมูลการจำลองการเคลื่อนที่รถไฟฟ้ารางเบาใช้ข้อมูลเส้นทางของโครงการ Korat LRT สายสีเขียว เมืองนครราชสีมา ประเทศไทย

1.4.3 จำลองการเคลื่อนที่ของรถไฟฟ้ารางเบาเป็นแบบการเคลื่อนที่ไป-กลับจำนวน 1 ขบวน

1.4.4 แหล่งพลังงานของรถไฟฟ้ารางเบาเป็นแบบเตอร์บินขบวนรถเท่านั้น

1.5 ขอบเขตของการวิจัย

1.5.1 จำลองการเคลื่อนที่ของรถไฟฟ้ารางเบาที่มีแหล่งพลังงานเป็นแบบเตอร์บินขบวนรถ

1.5.2 เปรียบเทียบพลังงานที่ใช้ในการเคลื่อนที่เมื่อมีตำแหน่งจุดชาร์จที่แตกต่างกัน

1.5.3 ลดพลังงานที่ใช้ในการเคลื่อนที่โดยการเพิ่มประสิทธิภาพลักษณะความเร็วในการเคลื่อนที่ด้วยวิธีกำหนดการพลวัต

1.6 ประโยชน์ที่คาดว่าจะได้รับ

1.6.1 ได้แบบจำลองการเคลื่อนที่ของรถไฟฟ้ารางเบาที่มีแหล่งจ่ายเป็นแบบเตอร์บินขบวนรถ

1.6.2 มีความรู้เกี่ยวกับระบบที่ใช้ในการจำลองการเคลื่อนที่ของรถไฟฟ้าร่างเบาที่มีแหล่งจ่ายเป็นแบตเตอรี่บนขบวนรถ

1.6.3 สามารถนำหลักการของการจำลองการเคลื่อนที่รถไฟฟ้าร่างเบาไปประยุกต์ และพัฒนาใช้กับการขนส่งมวลชนระบบอื่น ๆ ได้

1.6.4 มีความรู้เกี่ยวกับการเพิ่มประสิทธิภาพลักษณะความเร็วในการเคลื่อนที่ของรถด้วยวิธีกำหนดการพลวัต และประยุกต์ใช้กับปัญหาอื่น ๆ ได้

1.7 การจัดรูปเล่มวิทยานิพนธ์

วิทยานิพนธ์นี้ประกอบด้วย 7 บท 2 ภาคผนวก ซึ่งมีรายละเอียดดังต่อไปนี้
 บทที่ 1 บทนำ ได้กล่าวถึงที่มาและความสำคัญของปัญหา วัตถุประสงค์ของการวิจัย สมมติฐานการวิจัย ข้อตกลงเบื้องต้น ขอบเขตของการวิจัย และประโยชน์ที่คาดว่าจะได้รับของวิทยานิพนธ์เล่มนี้

บทที่ 2 ปริทัศน์วรรณกรรม และงานวิจัยที่เกี่ยวข้อง เป็นการศึกษา ค้นคว้า และสำรวจงานวิจัยที่เกี่ยวข้องในอดีตที่มีผู้ที่ศึกษามาแล้ว เพื่อเป็นแนวทางในการศึกษาและนำมาประยุกต์ใช้กับงานวิจัยของวิทยานิพนธ์เล่มนี้ โดยแบ่งเป็น 2 หัวข้อ ได้แก่ การจำลองการเคลื่อนที่ของระบบขนส่งรถไฟฟ้าร่างเบาที่ไม่ใช้ตัวนำแคทีนารี (catenary free) โดยมีแหล่งจ่ายพลังงานบนขบวนรถ และการใช้พลังงานในการเคลื่อนที่ที่น้อยที่สุดโดยการหาลักษณะความเร็วในการเคลื่อนที่ที่เหมาะสม

บทที่ 3 กล่าวถึงทฤษฎีที่เกี่ยวข้องกับการวิจัยของวิทยานิพนธ์ โดยประกอบด้วย ระบบจ่ายไฟฟ้าของระบบขนส่งรางเบาในปัจจุบัน เทคโนโลยีแหล่งกำเนิดก๊อกเก็บพลังงานบนขบวนรถ และการเบรกจ่ายคืนพลังงาน

บทที่ 4 กล่าวถึงการจำลองการเคลื่อนที่ของรถไฟฟ้าร่างเบาที่มีแหล่งจ่ายเป็นแบตเตอรี่บนขบวนรถ โดยใช้แบบจำลองการเคลื่อนที่ของรถไฟ และแบบจำลองของแบตเตอรี่อย่างง่ายที่ใช้เป็นแหล่งจ่ายพลังงานบนขบวนรถ นอกจากนี้ ได้มีการพิจารณาตำแหน่งในการชาร์จที่แตกต่างกัน 6 กรณี การประหยัดพลังงานจากการเบรก และจากการเพิ่ม荷载การแล่นในลักษณะการเคลื่อนที่ปกติ

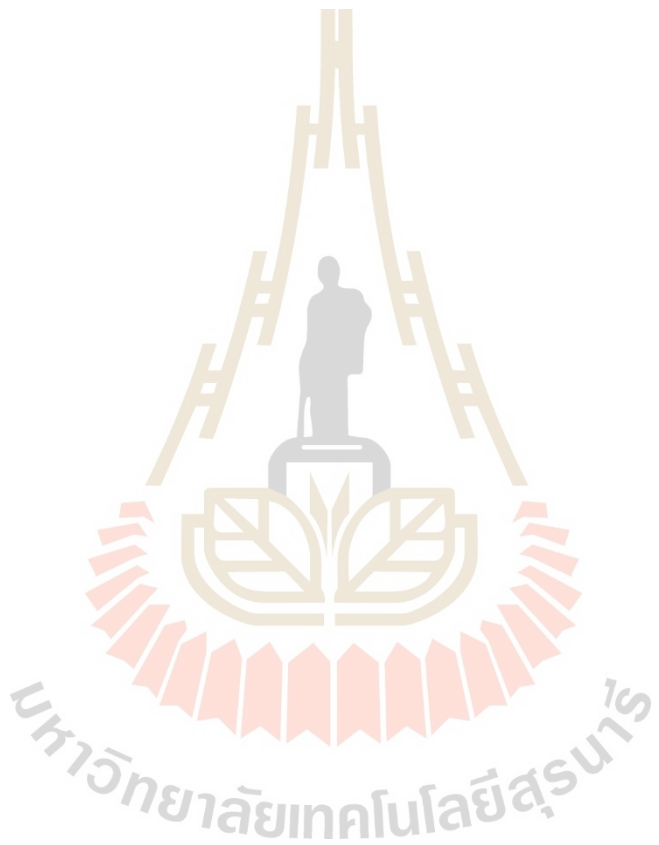
บทที่ 5 การใช้พลังงานในการเคลื่อนที่ที่น้อยที่สุดด้วยการหาลักษณะความเร็วในการเคลื่อนที่ที่เหมาะสมโดยใช้วิธีกำหนดการพลวัต โดยได้กล่าวถึงทฤษฎีของกำหนดการพลวัต ขั้นตอนการสร้างขอบเขตความเร็ว และระดับความเร็วในการเคลื่อนที่ภายในเวลาที่จำกัด ซึ่งได้ใช้พลังงานในการเคลื่อนที่เป็นพิงค์ชันวัตตุประสงค์ โดยเปรียบเทียบทั้งการคำนวณแบบไปข้างหน้า และแบบย้อนกลับ

บทที่ 6 กล่าวถึงผลการคำนวณและวิเคราะห์ผลการศึกษาของการใช้พลังงานในการเคลื่อนที่ที่น้อยที่สุดด้วยการหาลักษณะความเร็วในการเคลื่อนที่ที่เหมาะสมโดยใช้วิธีกำหนดการพลวัต ทั้งการคำนวณแบบไปข้างหน้า และแบบย้อนกลับ

บทที่ 7 เป็นบทสรุปและข้อเสนอแนะของวิทยานิพนธ์เล่มนี้

ภาคผนวก ก. ผลของกำลังไฟฟ้าที่รับไฟฟาระบนำไปใช้ในการเคลื่อนที่

ภาคผนวก ข. บทความทางวิชาการที่ได้รับการตีพิมพ์เผยแพร่ซ่อนอยู่ในระหว่างการศึกษา



บทที่ 2

ปริทัศน์วรรณกรรมและงานวิจัยที่เกี่ยวข้อง

2.1 บทนำ

ระบบขนส่งมวลชนระบบรางที่มีแหล่งพลังงานแบบต่าง ๆ เช่น แบบตัวนำแคทีනารี แบบแหล่งกักเก็บพลังงานบนบวนรถ และแบบที่มีห้องตัวนำแคทีනารีและแหล่งกักเก็บพลังงานบนบวนรถ ได้มีการศึกษาการลดพลังงานที่ใช้ในการเคลื่อนที่โดยวิธีต่าง ๆ อย่างแพร่หลาย บทนี้ได้นำเสนอ ปริทัศน์วรรณกรรม และงานวิจัยที่เกี่ยวข้องกับการจำลองการเคลื่อนที่ของระบบขนส่งระบบรางที่มีแหล่งจ่ายเป็นแหล่งกักเก็บพลังงานบนบวนรถโดยใช้เป็นแบบเตอร์ ซึ่งครอบคลุมทั้งแหล่งกักเก็บ พลังงานที่ใช้เป็นแหล่งจ่ายบนบวนรถ แบบจำลองการเคลื่อนที่ของรถไฟ และการใช้พลังงานในการ เคลื่อนที่ที่น้อยที่สุดของระบบขนส่งมวลชนระบบราง โดยได้ศึกษาปริทัศน์วรรณกรรมและงานวิจัยที่ เกี่ยวข้องตั้งแต่อดีตจนถึงปัจจุบัน ซึ่งได้นำมาประยุกต์ใช้ในงานวิจัยของวิทยานิพนธ์เล่มนี้

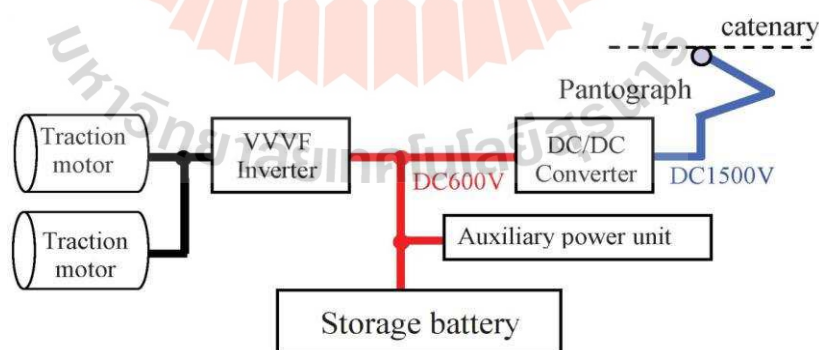
2.2 การจำลองการเคลื่อนที่ของระบบขนส่งมวลชนระบบรางที่มีแหล่งจ่ายเป็น แบบเตอร์รับบนบวนรถ

ในปัจจุบันแนวโน้มการเติบโตของเมืองอย่างต่อเนื่อง และความจำเป็นของระบบขนส่งที่มี ประสิทธิภาพ เชื่อถือได้ และยั่งยืน ส่งผลให้เกิดการพัฒนาระบบรถไฟฟ้ารางเบา ควบคู่กับข้อดีที่ชัดเจน เช่น มีแหล่งพลังงานที่ปราศจากการปล่อยมลพิษ และการส่งเสริมให้yanพานะส่วนบุคคลที่ใช้ เครื่องยนต์ลดลง แต่อาจมีข้อจำกัดสำคัญที่ต้องพิจารณา คือ ผลกระทบต่อภูมิทัศน์ของเมืองโดยการ ติดตั้งสายตัวนำเหนือศีริระ ซึ่งอาจไม่ได้รับการยอมรับจากนักวางแผนเมือง และสาธารณชนสำหรับ เมืองที่มีนักท่องเที่ยว หรือความสำคัญด้านสนับสนุนทรัพยากร และการเดินทาง ที่ยากลำบาก เช่น ทางแยก และสภาพพื้นที่คับแคบ ในกรณีจึงต้องพิจารณาถึงระบบที่ไม่มีสายตัวนำเหนือศีริระ โดยมีสองระบบ คือ ระบบจ่ายพลังงานผ่านรางที่สาม และระบบที่มีแหล่งจ่ายพลังงานเป็นระบบกัก กี๊บพลังงานบนบวนรถ (Hussain et al., 2015)

การติดตั้งรางที่สาม (third rail) บนรถจะได้รับพลังงานในการขับเคลื่อนอย่างต่อเนื่อง อย่างมีประสิทธิภาพ แต่มีข้อจำกัดด้านการนำไฟฟ้า คือ ระบบรางที่สามໄว้ต่อสิ่งสกปรก ความชื้น และทิมะ อาจทำให้มีข้อจำกัดด้านประสิทธิภาพของพลังงานจากการเบรก นอกจากนี้ ระบบรางที่สาม

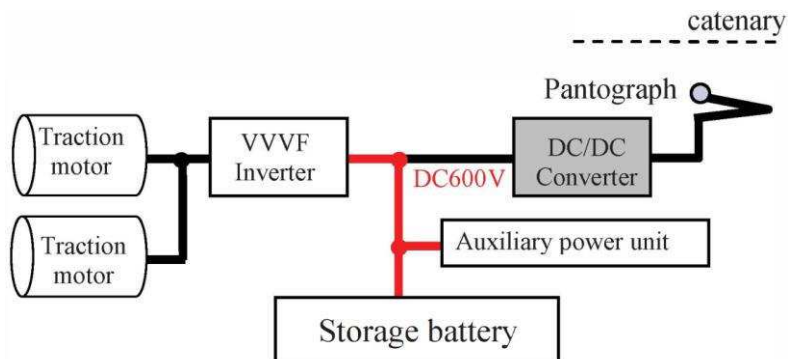
ต้องใช้ต้นทุนสูงในการติดตั้งและบำรุงรักษาโครงสร้างพื้นฐาน ด้วยความก้าวหน้าทางเทคโนโลยีของแหล่งกำเนิดพลังงานทำให้สามารถนำมาใช้เป็นแหล่งจ่ายให้กับขบวนรถไฟฟ้าร่าง ซึ่งได้ปรากฏในเส้นทางต่าง ๆ ในหลายประเทศ เช่น เมืองหนานจิง ประเทศจีน ระยะทาง 7.65 km 13 สถานี โดยเป็นระบบรถไฟฟ้าร่างเบาที่ 90% ของเส้นทางเป็นการใช้แบตเตอรี่ชัตต์ Li-ion (Li-ion) เป็นแหล่งพลังงานให้กับรถไฟฟ้าร่าง และมีการจอดชาร์จแบตเตอรี่จากตัวนำแคคเทินารีฝ่านหนาบปรับไฟ (pantograph) ที่สถานีผู้โดยสาร ซึ่งมีความยาว 90 m ตลอดแนวชานชาลา (Becker et al., 2017)

ณ ประเทศญี่ปุ่น บริษัท East Japan Railway ได้พัฒนาระบบรถไฟสีบริดแบบแหล่งจ่ายตัวนำแคคเทินารีและแหล่งกำเนิดพลังงานบนขบวนรถ เพื่อลดผลกระทบต่อสิ่งแวดล้อมจากระบบเก่าที่เป็นระบบดีเซล และได้มีการทดสอบการชาร์จอย่างรวดเร็ว โดยได้เริ่มการทดสอบการทำงานขั้นสุดท้ายตั้งแต่ต้นปี ค.ศ. 2011 โดยขบวนรถใช้แบตเตอรี่ชัตต์ Li-ion ขนาด 70 kWh 600 V เป็นแหล่งจ่ายเดียวขณะที่วิ่งในเส้นทางช่วงที่ไม่มีตัวนำแคคเทินารี โดยขณะที่อยู่ในช่วงการทำงานที่มีตัวนำแคคเทินารีจะรับพลังงานจากระบบแรงดัน 1500 VDC และแปลงเป็น 600 V ด้วยตัวแปลงผันไฟฟ้ากระแสสลับเป็นกระแสตรง (DC/DC converter) เพื่อเป็นแหล่งจ่ายให้กับแบตเตอรี่ มอเตอร์ชุดลาก และหน่วยพลังงานเสริม (auxiliary power unit) ดังรูปที่ 2.1 และขณะที่อยู่ในช่วงที่ไม่มีตัวนำแคคเทินารี ตัวแปลงผันไฟฟ้ากระแสสลับเป็นกระแสตรงจะหยุดการทำงาน และขบวนรถจะวิ่งโดยใช้พลังงานไฟฟ้าจากแบตเตอรี่เท่านั้น และพลังงานที่สร้างขึ้นจากการเบรกจะชาร์จพลังงานกลับคืนสู่แบตเตอรี่ และจ่ายให้กับหน่วยพลังงานเสริมอีกด้วย (Hiroshi et al., 2012) ดังรูปที่ 2.2 โดยได้นำไปเป็นแบบจำลองในการจ่ายพลังงานและชาร์จพลังงานของแบตเตอรี่ในวิทยานิพนธ์นี้ด้วย



รูปที่ 2.1 การทำงานของระบบขับเคลื่อนขณะมีตัวนำแคคเทินารี

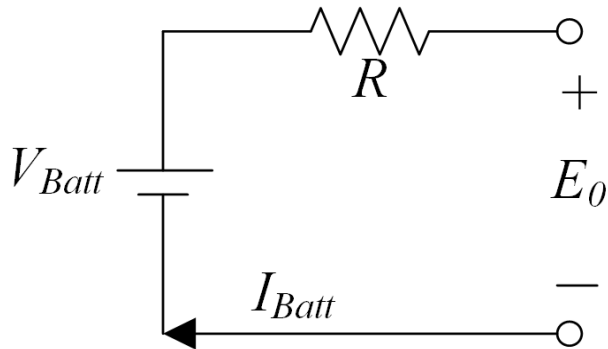
ที่มาภาพ: (Hiroshi et al., 2012)



รูปที่ 2.2 การทำงานของระบบขับเคลื่อนขณะไม่มีตัวนำแคทีนารี

ที่มาภาพ: (Hiroshi et al., 2012)

การเคลื่อนที่ของรถไฟฟ้าร่างเบาในวิทยานิพนธ์นี้ ได้ใช้แหล่งจ่ายที่เป็นแบตเตอรี่รับขบวนรถซึ่งจากผู้แต่ง (Ghaviha et al., 2019) ได้ทำการทดสอบแบบจำลองของแบตเตอรี่แบบทั่วไป (Generic battery model) ที่ต้องใช้ค่าพารามิเตอร์ที่เป็นคุณสมบัติเฉพาะของแบตเตอรี่ในการคำนวณ และแบบจำลองของแบตเตอรี่แบบอย่างง่าย (Simplified battery model) ที่มีเพียงแหล่งจ่ายและตัวต้านทานภายใน โดยเปรียบเทียบกับการทดลองจริง ซึ่งเป็นการทดลองในส่วนหนึ่งของเส้นทางเมืองฟล่าวเวอร์ ในเมืองເອສເຊກ໌ ປະເທດອັກຄຸນ ໂດຍຮຽນໄທທີ່ໃຊ້ ຄືວ Bombardier 4 car Electrostar Class 379 EMU มีน้ำหนัก 185 ตัน และใช้แบตเตอรี่เป็นแหล่งจ่ายที่ติดตั้งบนขบวนรถขนาด 550 Ah ระยะทางในการทดสอบ 34 km เวลาที่ใช้ในการเดินทาง 2200 วินาที โดยแบตเตอรี่จ่ายกระแสสูงสุดประมาณ 1300 A และกระแสชาრ์จจากการเบรกสูงสุดประมาณ 900 A และแรงดันสูงสุดประมาณ 820 V โดยขบวนรถมีความเร็วสูงสุด 100 km/h ผลของการทดสอบพบว่าแบบจำลองของแบตเตอรี่แบบทั่วไปและแบบอย่างง่ายนั้น มีค่ากระแสไฟฟ้า แรงดันไฟฟ้า และสถานะประจุ (state of charge) ของแบตเตอรี่ มีค่าที่ใกล้เคียงกันมากกับผลของการทดสอบจริง ผู้แต่งจึงเลือกใช้แบบจำลองของแบตเตอรี่แบบอย่างง่าย ดังรูปที่ 2.3 ที่มีแบบจำลองทางคณิตศาสตร์ที่มีความซับซ้อนน้อยกว่าแบบจำลองของแบตเตอรี่แบบทั่วไป ดังสมการที่ (1.1) มาใช้ในการจำลองการเคลื่อนที่ของรถไฟฟ้า เช่นเดียวกับที่วิทยานิพนธ์เล่มนี้เลือกใช้



รูปที่ 2.3 แบบจำลองของแบตเตอรี่แบบอย่างง่าย

$$V_{Batt} = E_0 - I_{Batt} \cdot R \quad (1.1)$$

จากสมการที่ (1.1)

- V_{Batt} คือ แรงดันไฟฟ้าของแบตเตอรี่
- E_0 คือ แรงดันไฟฟ้าງจรเปิดของแบตเตอรี่
- I_{Batt} คือ กระแสไฟฟ้าของแบตเตอรี่
- R คือ ความต้านทานภายในของแบตเตอรี่

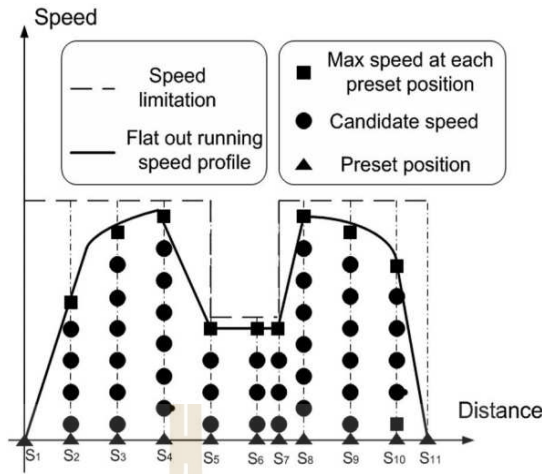
จากบทความ (Mwambeleko et al., 2017) ได้มีการจำลองการเคลื่อนที่ของรถไฟฟาระยะสั้น ที่มีแหล่งจ่ายเป็นแบตเตอรี่บนบวนรถ โดยช่วงการเร่งความเร็ว รถไฟฟาระยะสั้นจะใช้พลังงานจากตัวนำแค��เพี้ยนารี่ ทำให้สามารถลดกำลังไฟฟ้าสูงสุดที่ใช้จากแบตเตอรี่ได้ขณะเร่งความเร็ว เมื่อเคลื่อนที่ลงช่วงความเร็วสูงสุดและจากนั้นเป็นช่วงความเร็วคงที่ โดยรถไฟฟาระยะสั้นจะใช้พลังงานจากแบตเตอรี่เพียงอย่างเดียว ระบบมีระยะทางในการจำลอง 12 km สถานีผู้โดยสาร 8 สถานี ความเร็วสูงสุดในการให้บริการ 40 km/h และใช้แบตเตอรี่ชนิดลิเทียมไทรานา (LTO) ผลิตโดยบริษัท Altairnano ขนาด 24 V 60 Ah ซึ่งผู้แต่งได้ออกแบบค่าแบตเตอรี่แพคขนาด 348 V 60 Ah ในการจำลองการเคลื่อนที่ของรถไฟฟาระยะสั้น เนื่องด้วยระบบรถไฟฟาระยะสั้นของโครงการ Korat LRT สายสีเขียว ได้มีการพิจารณาให้เป็นแหล่งจ่ายแบบติดตั้งบนบวนรถ ซึ่งการใช้แหล่งกักเก็บพลังงานบนบวนรถเป็นแหล่งจ่ายเพียงอย่างเดียว มีข้อเสีย คือ พลังงานที่ใช้ในการเคลื่อนที่ที่จำกัดอาจทำให้เกิดปัญหาเนื่องจากโหลดผู้โดยสาร ประสิทธิภาพและความน่าเชื่อถือที่ลดลง จึงต้องมีการออกแบบขนาดของแหล่งกักเก็บพลังงานบนบวนรถให้เพียงพอต่อการใช้งาน และการพิจารณาตำแหน่งในการชาร์จระหว่างการให้บริการ เช่น การชาร์จที่สถานีผู้โดยสารขณะรับผู้โดยสารในแต่ละสถานี ซึ่งตำแหน่งในการชาร์จที่แตกต่างกัน ส่งผลให้ขนาดของกำลังในการชาร์จ เวลาในการชาร์จ

และขนาดของแหล่งกักเก็บพลังงานบนบานรรถแตกต่างกันด้วย (Jobsooongnern et al., 2022) ดังนั้น การพิจารณาในการหาวิธีการเพื่อลดพลังงานที่ใช้ในการเคลื่อนที่น้อยที่สุดจึงสำคัญสำหรับระบบไฟฟ้าร่างเบาที่มีแหล่งจ่ายเป็นแหล่งกักเก็บพลังงานบนบานรรถเพียงอย่างเดียว โดยวิธีการหากการใช้พลังงานในการเคลื่อนที่น้อยที่สุดของระบบขนส่งมวลชนระบบบรรทุกภัณฑ์ไป

2.3 การใช้พลังงานในการเคลื่อนที่น้อยที่สุดของระบบขนส่งมวลชนระบบบรรทุกภัณฑ์

การใช้พลังงานในการเคลื่อนที่น้อยที่สุดของระบบขนส่งมวลชนระบบบรรทุกภัณฑ์ สามารถแก้ปัญหาได้จากการปรับระบบขนส่งให้เหมาะสมโดยคำนึงถึงปัจจัยที่เกี่ยวข้อง เช่น ตารางเวลา และความต้องการของผู้โดยสาร ซึ่งปัจจัยอื่น ๆ ที่สามารถช่วยลดการใช้พลังงานได้โดยตรง คือ แรงฉุดที่ใช้ขับเคลื่อนบานรรถ โดยทำได้จากการค้นหาลักษณะความเร็วในการเคลื่อนที่ที่เหมาะสมที่สุด โดยกลยุทธ์นี้ เป็นการหาลักษณะความเร็วที่เหมาะสมที่สุด ภายใต้ขอบเขตที่จำกัด เช่น ระยะทางในการเคลื่อนที่ ความเร็วสูงสุด ความเร็วต่ำสุด และเวลาในการเคลื่อนที่ เป็นต้น (Yin et al., 2016) โดยในหลายงานวิจัยมีการใช้อัลกอริทึมในการคำนวณค้นหาลักษณะความเร็วในการเคลื่อนที่ที่เหมาะสมแตกต่างกัน

จากการวิจัยของผู้แต่ง (Lu et al., 2013) ได้กล่าวว่า การใช้อัลกอริทึมที่แตกต่างกันสามารถช่วยในการหาผลลัพธ์ที่ดีที่สุดได้ โดยผู้แต่งได้ใช้อัลกอริทึมอานานิคมด (Ant Colony Optimization: ACO) ซึ่งเป็นอัลกอริทึมที่อ้างอิงมาจากพฤติกรรมของผึ้งมด ในอัลกอริทึมใช้ชุดมด เที่ยมโดยการสืสร่องรอยของโคโรโนโซม สุดท้ายได้ใช้อัลกอริทึมกำหนดการพลวัต ซึ่งเป็นอัลกอริทึมที่แบ่งปัญหาที่ซับซ้อนให้เป็นปัญหาย่อย โดยทั้งสามอัลกอริทึมนี้ใช้หาลักษณะความเร็วที่เหมาะสม เพื่อลดพลังงานที่ใช้ในการเคลื่อนที่ของรถไฟ ได้ใช้การสร้างตัวเลือกความเร็ว (speed candidate) เพื่อหาลักษณะความเร็วที่เหมาะสม ดังรูปที่ 2.4 และผลลัพธ์ที่ได้ คือ อัลกอริทึมกำหนดการพลวัต ให้ผลลัพธ์ของลักษณะความเร็วในการเคลื่อนที่ที่ทำให้การใช้พลังงานในการเคลื่อนที่น้อยที่สุด และลักษณะความเร็วที่ได้มีความราบรื่น ไม่มีการรบกวนเหมือนอัลกอริทึมอานานิคมดและอัลกอริทึมเชิงพันธุกรรม



รูปที่ 2.4 ตัวเลือกความเร็วตามวิถีการเคลื่อนที่ในระยะทาง

ที่มาภาพ: (Lu et al., 2013)

นอกจากนี้ ยังมีงานวิจัยที่เปรียบเทียบการใช้อัลกอริทึมกำหนดการพลวัต อัลกอริทึม Gradient Method และอัลกอริทึม Sequential Quadratic Equation Programming (SQP) โดยผู้แต่ง (Miyatake et al., 2010) ได้ใช้ทั้งสามอัลกอริทึมในการหาลักษณะความเร็วที่เหมาะสม โดยกล่าวว่า จากผลลัพธ์ในการคำนวณ พบว่าแต่ละอัลกอริทึมมีข้อดีและข้อเสียดังนี้ อัลกอริทึม Gradient Method กำหนดการพลวัตและอัลกอริทึม Gradient Method มีการคำนวณที่ช้า ในขณะที่อัลกอริทึม SQP มีการคำนวณที่เร็วกว่า และอัลกอริทึมกำหนดการพลวัต มีการกำหนดลักษณะความเร็วที่ราบรื่นกว่า อัลกอริทึม Gradient Method และอัลกอริทึม SQP นอกจากนี้ อัลกอริทึมกำหนดการพลวัตเป็นอัลกอริทึมที่ง่ายในการจัดการกับข้อจำกัดของตัวแปรสถานะ เช่น ความเร็วในการเคลื่อนที่ที่จำกัด และยังเป็นที่นิยมในการใช้หาลักษณะความเร็วที่เหมาะสม จากหลายงานวิจัยดังต่อไปนี้

สำหรับการหาลักษณะความเร็วที่เหมาะสมตัวยการกำหนดการพลวัต สำหรับระบบรถไฟฟ้าที่มีแหล่งจ่ายเป็นแบตเตอรี่อยู่บนบวนรถ ผู้แต่ง (Noda et al., 2017) ได้หาลักษณะความเร็วที่เหมาะสม โดยใช้สถานะประจุแบบเตอรี่เป็นฟังก์ชันวัตตุประสิทธิ์ ซึ่งได้นำไปสู่การใช้พลังงานในการเคลื่อนที่ที่น้อยที่สุดอีกด้วย โดยการจำลองระบบรถไฟฟ้ามีความเร็วสูงสุด 80 km/h ระยะทางระหว่างสถานี 3 km โดยให้ผลลัพธ์พลังงานที่ใช้ในการเคลื่อนที่ลดลงจาก 6.394 kWh เป็น 6.629 kWh ซึ่งคิดเป็นพลังงานที่ประหยัดได้ 3.5% นอกจากนี้ ปัจจัยอื่นที่สามารถนำมาพิจารณาในการหาลักษณะความเร็วที่เหมาะสม คือ พลังงานจากการเบรก โดยจะหารจพลังงานกลับคืนสู่แบตเตอรี่บนบวนรถ ส่งผลให้การใช้พลังงานโดยรวมทั้งหมดลดลงด้วย (Gil et al., 2013)

นอกจากนี้ การหาลักษณะความเร็วที่เหมาะสมด้วยกำหนดการพลวัต ยังสามารถกำหนดค่าความเร่งและความหน่วงที่เหมาะสมที่สุดในแต่ละตำแหน่งของการเคลื่อนที่ในระหว่างสถานีภายในตัวของเวลาในการให้บริการที่กำหนด เพื่อจัดการพลังงานของระบบรถไฟฟ้าระบบกักเก็บพลังงานชั่วคราวหรือตัวเก็บประจุยิ่งวด (Electric Double Layer Capacitor: EDLC) (Miyatake et al., 2010) และจากการวิจัยโดยผู้แต่ง (Arikan et al., 2019) ยังได้มีการนำเสนอการแบ่งเวลาที่จำกัดในการหาลักษณะความเร็วที่เหมาะสมที่สุด โดยแบ่งเป็นเวลาที่คลาดเคลื่อนจากเดิม 5% และ 10% ทำให้ได้ผลลัพธ์ที่แตกต่างกันโดยจำลองระบบรถไฟฟ้าความเร็วสูงสุด 80 km/h ซึ่งสามารถลดพลังงานในการเคลื่อนที่ได้ 7.6% ถึง 21%

เนื่องด้วยวิทยานิพนธ์เล่มนี้มุ่งเน้นการใช้พลังงานที่น้อยที่สุดของระบบรถไฟฟ้ารางเบาที่มีแหล่งจ่ายเป็นแบตเตอรี่บนขบวนรถ และจากการวิจัยข้างต้นที่กล่าวมาวิธีที่ใช้อัลกอริทึมกำหนดการพลวัต ได้ถูกเลือกใช้ในการหาลักษณะความเร็วที่เหมาะสมของรถไฟฟ้ารางเบาแล้วอย่างแพร่หลาย จากการวิจัยข้างต้นที่ได้กล่าวมา ดังนั้น วิทยานิพนธ์เล่มนี้จึงได้ประยุกต์ใช้อัลกอริทึมกำหนดการพลวัต โดยมุ่งเน้นการลดพลังงานในการเคลื่อนที่ของรถไฟฟ้ารางเบาให้น้อยที่สุด โดยใช้พลังงานในการเคลื่อนที่เป็นฟังก์ชันวัตถุประสงค์ การใช้อัลกอริทึมกำหนดการพลวัตนี้ ได้ใช้การสร้างตัวเลือกความเร็ว โดยประยุกต์จากการวิจัย (Huang et al., 2018) และทำการหาลักษณะความเร็วที่เหมาะสม และระยะทางเปรียบเสมือนขั้นตอน (stage) และเวลาในการเคลื่อนที่จะต้องถูกกำหนดไว้แล้วเท่านั้น

2.4 สรุป

บทนี้ได้รวบรวมงานวิจัยที่เกี่ยวข้องกับการจำลองการเคลื่อนที่ของรถไฟฟ้าที่มีแหล่งจ่ายเป็นแบตเตอรี่บนขบวนรถ และงานวิจัยจากการทดสอบจริงของการเคลื่อนที่ของขบวนรถที่มีแหล่งจ่ายเป็นแบตเตอรี่บนขบวนรถที่กล่าวถึงขนาดพิกัดของแบตเตอรี่ การเลือกใช้แบบจำลองของแบตเตอรี่ และสถานะของแบตเตอรี่ขณะอยู่ในโหมดชาาร์จพลังงานและโหมดจ่ายพลังงาน เพื่อนำมาประยุกต์ใช้ในการสร้างแบบจำลองการเคลื่อนที่ของรถไฟฟ้ารางเบาของเส้นทาง Korat LRT สายสีเขียว นอกจากนี้ ยังได้รวบรวมงานวิจัยที่เกี่ยวข้องกับการใช้พลังงานที่น้อยที่สุดโดยการหาลักษณะความเร็วที่เหมาะสม ซึ่งกล่าวถึงอัลกอริทึมต่าง ๆ ที่ผู้แต่งเลือกจากหลายงานวิจัยเลือกใช้ รวมทั้งข้อดีข้อเสีย และได้สรุปว่าอัลกอริทึมที่วิทยานิพนธ์เล่มนี้ได้เลือกที่จะประยุกต์ใช้ คือ กำหนดการพลวัต

บทที่ 3

ทฤษฎีที่เกี่ยวข้อง

3.1 บทนำ

ในบทนี้ได้รวบรวมทฤษฎีที่เกี่ยวข้องกับระบบขนส่งรถไฟฟ้ารางเบา ซึ่งเป็นระบบที่ใช้ในการจำลองผลของวิทยานิพนธ์เล่มนี้ โดยกล่าวถึงระบบจ่ายไฟฟ้าและเทคโนโลยีแหล่งจ่ายพลังงานรูปแบบต่าง ๆ ของระบบรถไฟฟ้ารางเบา และเทคโนโลยีแหล่งจ่ายพลังงานแบบบนบวนรถสำหรับระบบรถไฟฟ้ารางเบา โดยเน้นในเรื่องแบบเตอร์ แล้วทฤษฎีที่เกี่ยวข้องการเบรกจ่ายคืนพลังงาน

3.2 ระบบจ่ายไฟฟ้าสำหรับระบบขนส่งรถไฟฟ้ารางเบา

ระบบจ่ายไฟสำหรับฉุดลากเป็นหนึ่งในระบบสำคัญของการขนส่งทางราง ผสมผสานความต้องการด้านภูมิทัศน์ของสถานที่ท่องเที่ยว การเลือกวิธีการจ่ายไฟที่เหมาะสมกับลักษณะของเส้นทาง และแผนการขับขี่ซึ่งมีความจำเป็นต่อโครงการขนส่งทางราง ในปัจจุบันระบบขนส่งรถไฟฟ้ารางเบา มีวิธีการจ่ายไฟหลักสามวิธี คือ การจ่ายไฟแบบตัวนำแคคทีนารี ตัวอย่างดังรูปที่ 3.1 เมืองอัมสเตอร์ดัม ประเทศเนเธอร์แลนด์ และแหล่งจ่ายไฟแบบภาคพื้นดินหรือรางที่สาม ตัวอย่างดังรูปที่ 3.2 และจ่ายไฟแบบการใช้อุปกรณ์กักเก็บพลังงานบนบวนรถ ตัวอย่างดังรูปที่ 3.3 เมืองเชบิยา ประเทศสเปน (Jin., 2021)



รูปที่ 3.1 รถไฟฟ้ารางเบาที่เมืองอัมสเตอร์ดัม ประเทศเนเธอร์แลนด์
ที่มาภาพ: https://en.wikipedia.org/wiki/Trams_in_Amsterdam

[เข้าถึงเมื่อ 25 สิงหาคม 2563]



รูปที่ 3.2 รถไฟฟ้ารางเบาที่เมืองซิดนีย์ รัฐนิวเซาท์เวลส์ ประเทศออสเตรเลีย
ที่มาภาพ: https://en.wikipedia.org/wiki/Light_rail_in_Sydney
[เข้าถึงเมื่อ 25 สิงหาคม 2563]



รูปที่ 3.3 รถไฟฟ้ารางเบาที่เมืองเซบิยา ประเทศสเปน
ที่มาภาพ: <https://en.wikipedia.org/wiki/MetroCentro>
[เข้าถึงเมื่อ 25 สิงหาคม 2563]

ระบบจ่ายไฟฟ้าสำหรับรถไฟฟาระบga จะใช้ระบบจ่ายไฟฟ้ากระแสตรงพิกัดแรงดัน 600 V และ 750 V เช่นเดียวกันกับระบบขนส่งในเมืองอื่น ๆ เช่น ระบบรถไฟฟ้าขนส่งมวลชนในเมือง และระบบรถไฟฟ้าใต้ดิน เป็นต้น โดยระบบจ่ายไฟฟ้ากระแสตรง จะเริ่มต้นจากสถานีไฟฟ้าประธานที่รับไฟฟ้ากระแสสลับในระดับแรงดันสูง และแปลงแรงดันผ่านหม้อแปลงให้เป็นระดับแรงดันปานกลาง เพื่อจ่ายให้กับสถานีเรียงกระแสไฟฟ้า (rectifier substation) หรือเรียกว่าสถานีไฟฟ้าขับเคลื่อน (traction substation) โดยจากนั้นจะแปลงให้เป็นไฟฟ้ากระแสจ่ายให้กับรางตัวนำที่สามหรือสายตัวนำแคนทีนารี (กฎวาระนิชพงษ์, 2561)

ตารางที่ 3.1 แรงดันมาตรฐานการจ่ายไฟตามมาตรฐาน EN50163 หรือ IEC60850

Electrification system	Lowest non-permanent voltage U_{min2} (V)	Lowest non-permanent voltage U_{min1} (V)	Nominal voltage U_n (V)	Highest permanent voltage U_{max1} (V)	Highest non-permanent voltage U_{max2} (V)
d.c. (mean value)	400	400	600 ^a	720	800
	500 ^c	500	750	900 ^c	1 000
	1 000	1 000	1 500	1 800 ^c	1 950
	2 000	2 000	3 000	3 600	3 900 ^b
a.c. (r.m.s values)	11 000	12 000	15 000	17 250	18 000
	17 500 ^c	19 000 ^c	25 000	27 500	29 000
Special national conditions for France, see Annex B.					
^a Future d.c. traction system for tramways and local railways should conform with system nominal voltage of 750 V, 1 500V, 3 000 V.					
^b Special national conditions for Belgium see Annex B.					
^c Special national conditions for United Kingdom, see Annex B.					

ข้อกำหนดของแรงดันไฟฟ้ากระแสตรงตามมาตรฐาน EN 50163 หรือ IEC 60850 โดย ระดับแรงดันในการทำงานปกติของระบบจ่ายไฟฟ้าจะมีแรงดันอยู่ในช่วงแรงดัน U_{min1} ถึง U_{max2}

เป็นไปตามมาตรฐาน ดังตารางที่ 3.1 โดยระดับแรงดันในช่วง U_{max1} ถึง U_{max2} ต้องมีค่าไม่เกิน 5 นาทีในช่วงการทำงาน และระดับแรงดันช่วง U_{min1} ถึง U_{min2} จะต้องมีค่าไม่เกิน 2 นาที ณ สถานีจ่ายไฟฟ้า และพิกัดแรงดันไฟฟ้าไร้โหลดของสถานีเรียงกระแสไฟฟ้าสำหรับระบบรถไฟฟ้าต้องมีค่าไม่เกิน U_{max2} โดยมีข้อยกเว้นสำหรับระบบรถไฟฟ้ากระระยะที่มีการเบรกจ่ายคืนพลังงาน (regenerative braking) สามารถมีค่าพิกัดแรงดันได้ถึง 1000 V ในกรณีของระบบจ่ายไฟฟ้า 750 V และ 800 V และกรณีของระบบจ่ายไฟฟ้า 600 V ที่ใช้สำหรับระบบรางไฟฟ้าหรือรถโดยสารไฟฟ้าໂโทรลี (กุญแจวนิชพงษ์, 2561)

ข้อแตกต่างในการเลือกรอบบจ่ายไฟฟ้าสำหรับรถไฟฟาระเบา ขึ้นอยู่กับความเหมาะสมที่เลือกพิจารณา โดยการแก้ปัญหาการวางแผนระบบจ่ายไฟแบบบรรทุกที่สามตามพื้นดิน สามารถช่วยแก้ไขผลกระทบของแบบตัวนำแคคเทนารีที่มีต่อภูมิทัศน์ด้านสิ่งแวดล้อมได้ แต่อุปกรณ์ที่ผ่านไว้อาจได้รับผลกระทบอย่างมากจากสิ่งแวดล้อม เช่น กัน ระบบจ่ายไฟแบบบรรทุกที่สามจึงจำเป็นต้องมีการปรับปรุงสิ่งอำนวยความสะดวกและกระบวนการน้ำตามแนวท่อ โดยมีค่าใช้จ่ายที่สูง นอกจากนี้ ระบบจ่ายไฟแบบบรรทุกที่สามยังเป็นตัวนำกระแสไฟฟ้าที่มีความอ่อนไหวต่อสิ่งสกปรก ฝุ่น และอื่น ๆ ซึ่งอาจทำให้มีผลต่อประสิทธิภาพในการเบรกจ่ายคืนพลังงาน และมีต้นทุนสูงในการติดตั้งและบำรุงรักษา (Zhixin, 2013) แต่ในทางตรงกันข้าม ระบบที่มีแหล่งจ่ายพลังงานบนบานวนรถ มีโครงสร้างพื้นฐานที่ต่ำกว่า เมื่อเทียบกับระบบอื่น เนื่องจากมีการใช้ไฟฟ้าเพียงไม่กี่แห่ง เช่น ในสถานีผู้โดยสาร เป็นต้น บานวนรถระบบบันนี้ยังสามารถใช้ร่วมกับระบบจ่ายไฟแบบอื่นได้ และยังทำให้การจัดเก็บพลังงานจากการเบรกมีประสิทธิภาพมากขึ้นเนื่องจากมีอุปกรณ์กักเก็บพลังงานบนบานวนรถ และข้อดีอีกประการหนึ่ง คือ โดยระบบบันี้สามารถใช้รถไฟฟาระเบาใกล้กับสถานที่ที่อ่อนไหวต่อการลบกวนทางแม่เหล็กไฟฟ้า เช่น โรงพยาบาลหรือศูนย์วิจัยที่ใช้อุปกรณ์ที่มีความละเอียดอ่อน แต่มีข้อเสีย คือ ต้นทุนรถที่สูงขึ้นและน้ำหนักรถที่เพิ่มขึ้นเนื่องจากอุปกรณ์กักเก็บพลังงาน นอกจากนี้ยังมีค่าบำรุงรักษาเพิ่มเติมเนื่องจากอายุการใช้งานที่จำกัดของการจัดเก็บพลังงาน (Klohr et al., 2013)

3.3 แหล่งจ่ายพลังงานสำหรับระบบรถไฟฟาระเบาแบบบันบวนรถ

3.3.1 แบตเตอรี่ (Battery)

รถไฟฟ้าหรือรถไฟฟาระเบาที่ขับเคลื่อนด้วยแบตเตอรี่นำมาซึ่งทางเลือกใหม่ที่ผู้ประกอบการรถไฟฟาระเบยเลือกใช้ โดยเฉพาะอย่างยิ่ง British Rail ได้ให้บริการรถไฟฟ้าที่ขับเคลื่อนด้วยแบตเตอรี่ตั้งก้าวกรดจากปี พ.ศ. 2501 ถึง 2505 และ Deutsche Bahn ผู้ประกอบการรถไฟในเยอรมนี ได้ดำเนินการให้บริการรถไฟฟ้าที่ขับเคลื่อนด้วยแบตเตอรี่ตั้งก้าวกรดเช่นกัน ในปี พ.ศ. 2498 ถึง 2538 เทคโนโลยีแบตเตอรี่ได้รับการปรับปรุงอย่างมากจากแบตเตอรี่ตั้งก้าวกรดเป็นแบตเตอรี่นิกเกิล และจากแบตเตอรี่นิกเกิลเป็นลิเธียมไอโอดีน ซึ่งแบตเตอรี่มีความหนาแน่นของพลังงานที่ดี แต่มีความ

หน้าแน่นของกำลังที่ต่ำ ทำให้ไม่เหมาะสมสำหรับการชาร์จและการคายประจุอย่างรวดเร็ว แต่ในเทคโนโลยีแบตเตอรี่ปัจจุบันแบตเตอรี่ลิเทียมไอออน ที่มีประสิทธิภาพที่ดี อยู่การใช้งานยาวนานและความเสถียรทางเคมี ต่อมาก็เป็นเทคโนโลยีแบตเตอรี่ลิเทียมไทยนาฬิกา (LTO) ได้กล่าวเป็นตัวเลือกสำหรับการชาร์จอย่างรวดเร็วและการใช้งานด้านการกักเก็บพลังงานในภาคอุตสาหกรรมไฟฟ้า โดยเทคโนโลยีแบตเตอรี่ลิเทียมไทยนาฬิกา ถูกใช้ในรถราง ForCity Classic (28T) ของผู้ประกอบการ Skoda ในเมืองคอนยา ประเทศตุรกี และ tramlink v4 ของผู้ประกอบการ Vossloh ในเมืองชานโตส ประเทศบรัสเซลล์ เพื่อใช้จ่ายไฟฟ้าระหว่างสีน้ำเงินในช่วงที่ไม่มีตัวนำแอดทีนารี หรือใช้ในกรณีฉุกเฉิน เช่น ไฟฟ้าดับ เป็นต้น (Mwambelek et al., 2017) เทคโนโลยีของแบตเตอรี่ชนิดต่าง ๆ มีรายละเอียดที่แตกต่างกัน ดังต่อไปนี้

นิกเกิลแคนเดเมียม (Ni-Cd) เป็นเทคโนโลยีแบตเตอรี่ที่มีอายุการใช้งานยาวนาน เชื่อถือได้ และมีการคายประจุคงของแบตเตอรี่ต่ำ มีความทนทานสูง สามารถทนต่อช่วงการทำงานที่อุณหภูมิกว้าง แต่มีหนึ่งในข้อจำกัดที่สำคัญ คือ ผลกระทบจากหน่วยความจำและแคนเดเมียมเป็นวัสดุที่เป็นอันตรายต่อสิ่งแวดล้อม ซึ่งการกำจัดแคนเดเมียมถือว่าเป็นปัญหาที่ใหญ่

นิกเกิลเมทัลไฮไดรด์ (Ni-MH) เป็นเทคโนโลยีแบตเตอรี่ที่ใช้อิเล็กโทรดขั้วบวกและอิเล็กโทรดไอล์ต์แบบเดียวกับนิกเกิลแคนเดเมียม แต่ไฮโดรเจนถูกใช้ในขั้วลบแทนแคนเดเมียม ด้วยเหตุนี้แบตเตอรี่นิกเกิลเมทัลไฮไดรด์ จึงไม่ก่อให้เกิดอันตรายต่อสิ่งแวดล้อมเช่นเดียวกับแบตเตอร์รี่นิกเกิลแคนเดเมียม นอกจากนี้ แบตเตอร์รี่นิกเกิลเมทัลไฮไดรด์ มีความหนาแน่นของพลังงานและพลังงานจำเพาะที่สูงกว่า และที่สำคัญที่สุด แบตเตอร์รี่เหล่านี้ไม่ได้รับผลกระทบจากหน่วยความจำในระดับเดียวกับแบตเตอรี่นิกเกิลแคนเดเมียม ข้อจำกัดหลักสำหรับแบตเตอร์รี่นิกเกิลเมทัลไฮไดรด์ ได้แก่ การชาร์จพลังงานมากเกินไปอาจทำให้แบตเตอรี่มีอุณหภูมิที่ร้อนเกินไป และสามารถปล่อยไฮโดรเจนได้ ซึ่งจะก่อให้เกิดอันตรายจากไฟไหม้ร้ายแรง ดังนั้น จึงต้องใช้วงจรการชาร์จที่มีความซับซ้อน นอกจากนี้ เมื่อจ่ายพลังงานที่ระดับกระแสสูง เช่น การขับส่งขนาดใหญ่ เป็นต้น จะทำให้อายุการใช้งานของแบตเตอร์รี่ลดลงอย่างมาก 200 ถึง 300 รอบ

ลิเทียมไอออน (Li-Ion) ปัจจุบันนี้เป็นเทคโนโลยีแบตเตอรี่ที่ได้รับความนิยมมากที่สุดสำหรับอุปกรณ์อิเล็กทรอนิกส์แบบพกพา ด้วยการลดต้นทุนการผลิตและมีแรงจูงใจสูงในการสร้างการขนส่งที่ไร้มลพิษ เทคโนโลยีแบตเตอร์รี่นี้จึงกลายเป็นที่นิยมอย่างมากในหมู่ผู้ผลิตรถยนต์ไฟฟ้า เนื่องจากแรงดันไฟฟ้าของเซลล์สูง ความหนาแน่นของพลังงานสูง อายุการใช้งาน (life cycle) ที่ยาวนาน โดยไม่มีผลกระทบต่อหน่วยความจำและปัญหาสิ่งแวดล้อมด้วยเทคโนโลยี ลักษณะการคายประจุที่อุณหภูมิต่ำดีเยี่ยม และแบตเตอร์รี่ชนิดลิเทียมไอออนชนิดลิเทียมไทยนาฬิกา ก็เป็นที่นิยมเนื่องจากความสามารถในการชาร์จอย่างรวดเร็วและช่วงอุณหภูมิกว้าง และเป็นแบตเตอร์รี่ในบรรดาแบตเตอรี่ลิเทียมไอออนที่ปลอดภัยที่สุด (Meyers et al., 2012)

3.3.2 ตัวเก็บประจุยิ่งยาด (supercapacitor)

ตัวเก็บประจุยิ่งยาดมีคุณสมบัติที่สามารถประจุ (Charge) และ decay ประจุ (Discharge) ได้เร็วเมื่อเทียบกับแบตเตอรี่ โดยมีความหนาแน่นของกำลังงานสูง แต่มีความหนาแน่นพลังงานที่น้อย และตัวเก็บประจุยิ่งยาดยังมีประสิทธิภาพสูงถึง 84% ถึง 97% และมีอายุการใช้งานสูง โดยมีอายุการใช้งานสูงถึง 100000 รอบ (Luo et al., 2015) ด้วยตัวเก็บประจุยิ่งยาดมีคุณสมบัติที่สามารถประจุและ decay ได้อย่างรวดเร็ว ทำให้ตัวเก็บประจุยิ่งยาดได้รับความนิยม โดยนำมาใช้สำหรับกักเก็บพลังงานจากการเบรกในระบบขนส่ง (Ratnayomchai et al., 2013) สำหรับระบบจ่ายไฟฟ้าของรถไฟฟ้าที่ต้องการการประจุและ decay ที่ตอบสนองระยะเวลาสั้นในช่วง 10 วินาที ถึง 1 นาที ทำให้ตัวเก็บประจุยิ่งยาดที่มีคุณลักษณะการตอบสนองที่รวดเร็ว มีความสำคัญมากกว่าความหนาแน่นของพลังงาน (Okui, et al., 2010) นอกจากนี้ ตัวเก็บประจุยิ่งยาดยังส่งผลกระทบต่อสิ่งแวดล้อมต่ำ แต่มีข้อเสียเปรียบทหลัก ได้แก่ ค่าบำรุงรักษา น้ำหนัก และต้นทุนสำหรับการขนส่งประเภทความเร็วสูง โดยตัวเก็บประจุยิ่งยาดจะเก็บพลังงานไว้ในชั้นไฟฟ้าเคมีสองชั้น และเมื่อเทียบกับแบตเตอรี่ ตัวเก็บประจุยิ่งยาดมีกำลังงานจำเพาะจะสูงกว่ามากถึง 500–10000 W/kg แต่พลังงานจำเพาะนั้นต่ำกว่ามาก 0.2–5 Wh/kg ใน การใช้งานด้านการขนส่ง ส่วนใหญ่จะใช้สำหรับระบบช่วยส่งกำลังในระหว่างการเร่งความเร็วและการขึ้นเขา และการกักเก็บพลังงานจากการเบรก และในระบบขนส่งแบบไฮบริด ตัวเก็บประจุยิ่งยาดจะใช้ร่วมกับอุปกรณ์จัดเก็บพลังงานอื่น ๆ เช่น แบตเตอรี่เป็นต้น (Ghaviha et al., 2017)

3.3.3 ล้อตุนกำลัง (flywheel)

ล้อตุนกำลังได้ถูกนำมาประยุกต์ใช้เพื่อชดเชยระยะดับแรงดันไฟฟ้าตกในระบบจ่ายไฟของรถไฟฟ้า และกักเก็บพลังงานจากการเบรกเพื่อนำกลับมาจ่ายพลังงานให้รถไฟ หรือเพื่อเป็นแหล่งจ่ายไฟฟ้ากรณีที่ไม่มีแหล่งจ่ายจากภายนอก โดยล้อตุนกำลังจะสะสมพลังงานในรูปของพลังงานจลน์ นอกจากนี้ ล้อตุนกำลังเหมาะสมสำหรับการใช้งานที่ต้องการกำลังไฟฟ้าสูงในช่วงเวลาสั้น ๆ เนื่องจากล้อตุนกำลังมีความถี่ในการสะสมและจ่ายพลังงานสูง และในกรณีที่ล้อตุนกำลังทำงานในโหมดเก็บสะสมพลังงาน ล้อตุนกำลังจะทำงานเป็นมอเตอร์และโรเตอร์ของล้อตุนกำลังจะมีความเร็วเพิ่มขึ้น ส่วนในกรณีที่ล้อตุนกำลังทำงานในโหมดจ่ายพลังงาน ล้อตุนกำลังจะทำงานเป็นเครื่องกำเนิดไฟฟ้า และโรเตอร์มีความเร็วลดลง (Dutta et al., 2018) นอกจากนี้ ความเร็วการหมุนและความถี่ของล้อตุนกำลังจะส่งผลถึงปริมาณพลังงานที่เก็บสะสมในล้อตุนกำลัง ชนิดของล้อตุนกำลังแบ่งออกได้เป็นล้อตุนกำลังชนิดความเร็วต่ำ โดยมีความเร็วต่ำกว่า 6000 rpm และล้อตุนกำลังชนิดความเร็วสูง โดยมีความเร็วสูงถึง 100000 rpm (Luo et al., 2015)

3.4 การเบรกแบบจ่ายคืนพลังงาน

การเบรกแบบจ่ายคืนพลังงาน (regenerative braking) เป็นการเปลี่ยนการทำงานของมอเตอร์ไฟฟ้าขับเคลื่อนเป็นเครื่องกำเนิดไฟฟ้าในขณะที่รถไฟฟ้าทำงานในโหมดเบรก ซึ่งเป็นเทคโนโลยีขับเคลื่อนในรถไฟฟ้ายุคใหม่ และจ่ายกระแสไฟฟ้าให้ย้อนกลับเข้าสู่ร่างตัวนำที่สาม สายตัวนำแคคทินารี หรืออุปกรณ์กักเก็บพลังงานบนขบวนรถ โดยเมื่อเกิดการเบรกแบบจ่ายคืนพลังงานของรถไฟฟ้า สำหรับระบบจ่ายไฟแรงตัวนำที่สามและสายตัวนำแคคทินารี กำลังไฟฟ้าที่จ่ายเข้าสู่ระบบไฟฟ้าสามารถจ่ายให้กับรถไฟฟ้าขบวนใกล้เคียงที่ทำงานในโหมดขับเคลื่อนขณะนั้นได้ สามารถช่วยป้องกันระบบไฟฟ้าล้มเหลวเนื่องจากกำลังไฟฟ้าส่วนเกินจากการเบรกแบบจ่ายคืนพลังงานกรณีโหลดไฟฟ้าไม่ค้านอยเมื่อเกิดการเบรก และสำหรับระบบที่มีแหล่งจ่ายเป็นอุปกรณ์กักเก็บพลังงานบนขบวนรถ เมื่อเกิดการเบรกแบบจ่ายคืนพลังงาน กระแสไฟฟ้าจะหล่อลับไปที่อุปกรณ์กักเก็บพลังงาน ซึ่งเป็นการชาร์จพลังงานให้กับอุปกรณ์กักเก็บพลังงานบนขบวนรถ ทำให้สามารถรองรับสำหรับโหลดผู้โดยสารในกรณีฉุกเฉิน โดยการเบรกแบบจ่ายคืนพลังงานจะทำงานร่วมกับการเบรกแบบพลวัต ซึ่งเป็นการนำกำลังไฟฟ้าส่วนเกินจากการเบรกจ่ายให้กับตัวต้านทานการเบรก เพื่อกำจัดพลังงานไฟฟ้าส่วนที่เกินมาหนึ่นให้หายไปในรูปของพลังงานความร้อน (กุลวานิชพงษ์, 2561)

3.5 สรุป

ในบทนี้ได้กล่าวถึงเทคโนโลยีต่าง ๆ ของระบบจ่ายไฟฟ้าสำหรับระบบขนส่งรถไฟฟ้าร่างเบาในปัจจุบัน เทคโนโลยีเหล่านี้จ่ายพลังงานสำหรับระบบรถไฟฟ้าร่างเบาแบบบนขบวนรถ และการเบรกแบบจ่ายคืนพลังงาน ซึ่งเป็นความรู้พื้นฐานที่เกี่ยวข้องกับงานวิจัย และเป็นรายละเอียดที่สำคัญสำหรับการทำความเข้าใจการจำลองการเคลื่อนที่ของรถไฟฟ้าร่างเบาที่มีแหล่งจ่ายเป็นแบตเตอรี่บนขบวนรถ ในบทถัดไป

บทที่ 4

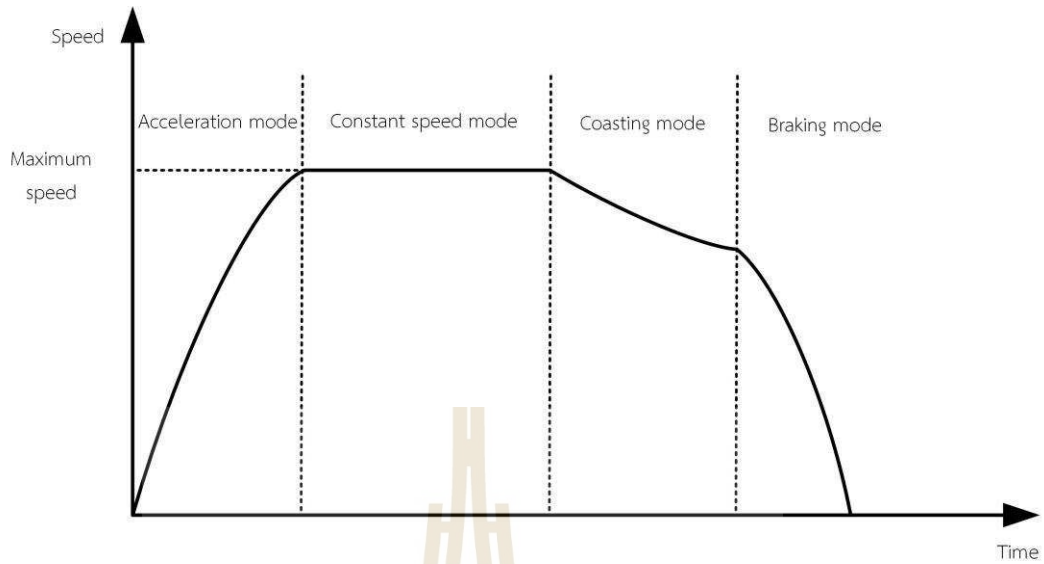
การจำลองการเคลื่อนที่ของรถไฟฟ้าร่างเบาที่มีแหล่งจ่ายเป็นแบตเตอรี่ บนขบวนรถ

4.1 บทนำ

ในบทนี้กล่าวถึงการจำลองการเคลื่อนที่ของรถไฟฟ้าร่างเบาที่มีแหล่งจ่ายเป็นแบตเตอรี่บนขบวนรถของระบบขนส่งร่างเบาโครงการ Korat LRT สายสีเขียว โดยใช้แบบจำลองการเคลื่อนที่ของรถไฟ และแบบจำลองของแบตเตอรี่อย่างง่ายในการแทนที่พฤติกรรมของแบตเตอรี่ นอกจากนี้ ยังมีการนำเสนอผลกระทบจากการดำเนินการชาร์จที่แตกต่างกัน โดยแบ่งเป็น 6 กรณี ดังนี้ กรณีที่ 1 คือ การชาร์จทุก ๆ 1 สถานี กรณีที่ 2 คือ การชาร์จทุก ๆ 2 สถานี กรณีที่ 3 คือ การชาร์จทุก ๆ 3 สถานี กรณีที่ 4 คือ การชาร์จทุก ๆ 5 สถานี กรณีที่ 5 คือ การชาร์จที่สถานีปลายทาง และกรณีที่ 6 คือ การชาร์จทุก ๆ การเดินทางไป-กลับ โดยมีการพิจารณาเปรียบเทียบการใช้พลังงานในการเคลื่อนที่ และค่าใช้จ่ายของแบตเตอรี่และเครื่องชาร์จ เพื่อหากรณีที่เหมาะสมที่สุดโดยพิจารณาจากปัจจัยที่มีอยู่ และมีการพิจารณาการประหยัดพลังงานจากการเบรกแบบจ่ายคืนพลังงาน และได้นำเสนอการเคลื่อนที่ในโหมดแล่น โดยจะได้ผลลัพธ์เป็นลักษณะความเร็วในการเคลื่อนที่เพื่อใช้อ้างอิงในการหาลักษณะความเร็วที่เหมาะสมเพื่อลดการใช้พลังงานในการเคลื่อนที่ที่น้อยที่สุดในบทต่อไป

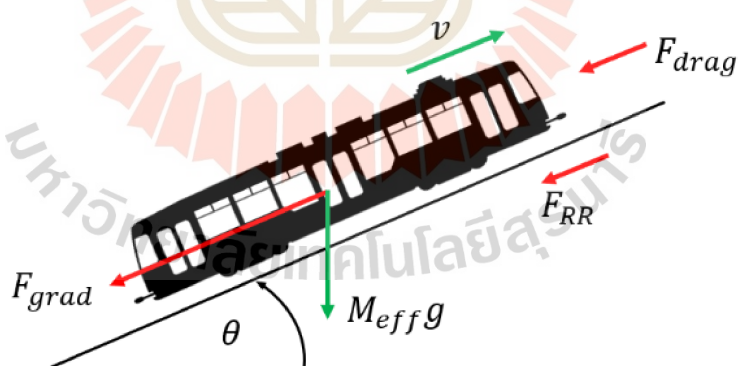
4.2 แบบจำลองการเคลื่อนที่ของรถไฟฟ้าร่างเบา

บทความนี้ได้ศึกษาแบบจำลองการเคลื่อนที่ของรถไฟฟ้าร่างเบา โดยโหมดการเคลื่อนที่ของรถไฟฟ้าร่างเบา มี 4 โหมด ได้แก่ โหมดเร่งความเร็ว (Acceleration mode) คือ การที่รถไฟฟ้าร่างเบา มีการเพิ่มความเร็วจากภาวะหยุดนิ่งด้วยความเร่งเพื่อเพิ่มความเร็วของรถไฟฟ้าร่างเบาให้เคลื่อนที่ตามลักษณะความเร็วของรถไฟฟ้า โดยค่าความเร่งจะมีค่ามากกว่าศูนย์ โหมดความเร็วคงที่ (Constant speed mode) คือ การที่รถไฟฟ้าร่างเบา มีการเคลื่อนที่ด้วยความเร็วคงที่โดยความเร่งมีค่าเป็นศูนย์ โหมดการเคลื่อนที่ด้วยความเฉื่อย (Coasting mode) คือ การที่รถไฟฟ้าร่างเบา มีความเร็วลดลงเนื่องจากแรงต้านการเคลื่อนที่ของรถไฟฟ้าและมีแรงฉุดของรถไฟฟ้าเป็นศูนย์ และความเร่งมีค่าเป็นลบ และสุดท้าย ได้แก่ โหมดเบรก (Braking mode) คือ การที่รถไฟฟ้าร่างเบาลดความเร็วลงด้วยความหน่วงหรือความเร่งที่มีค่าเป็นลบ เพื่อเข้าจอดที่สถานีผู้โดยสาร โดยลักษณะความเร็วในการเคลื่อนที่เมื่อเทียบกับเวลาแสดงดังรูปที่ 4.1



รูปที่ 4.1 โหมดการเคลื่อนที่ของรถไฟฟ้ารางเบา

แบบจำลองการเคลื่อนที่ของรถไฟฟ้ารางเบา พิจารณาโดยใช้กฎการเคลื่อนที่ข้อที่สองของนิวตัน ซึ่งได้พิจารณาแรง F_{RR} คือ แรงเสียดทานที่ต้านการเคลื่อนที่ F_{grad} คือ แรงโน้มถ่วง และ F_{drag} คือ แรงต้านอากาศ ดังรูปที่ 4.2



รูปที่ 4.2 แบบจำลองการเคลื่อนที่ของรถไฟฟ้ารางเบา

โดยสามารถคำนวณความเร็วในการเคลื่อนที่และระยะทางที่รถเคลื่อนที่ได้จากสมการที่ (4.1) และ (4.2) ตามลำดับ สามารถหาค่ากำลังไฟฟ้าและแรงฉุดที่รถไฟฟ้ารางเบาที่ใช้ในการเคลื่อนที่ได้จากสมการที่ (4.3) และ (4.4) ตามลำดับ โดยแบบจำลองการเคลื่อนที่ของรถไฟฟ้ารางเบามีหลักการทำงานดังรูปที่ 4.3

$$v(t + \Delta t) = v(t) + a \times \Delta t \quad (4.1)$$

$$s(t + \Delta t) = s(t) + 0.5 \times a \times (\Delta t)^2 \quad (4.2)$$

$$P_{train} = \begin{cases} \frac{F_T v(t + \Delta t)}{\eta_g \eta_m \eta_i} + P_{aux} & , F_T \geq 0 \\ \eta_g \eta_m \eta_i F_T v(t + \Delta t) + P_{aux} & , F_T < 0 \end{cases} \quad (4.3)$$

จากสมการที่ (4.1) ถึง (4.3)

v	คือ ความเร็วของรถไฟฟ้าร่างเบา (km/h)
s	คือ ระยะทางที่รถไฟฟ้าร่างเบาเคลื่อนที่ได้ (m)
t	คือ เวลารวมที่รถไฟฟ้าร่างเบาใช้เคลื่อนที่ทั้งหมด (s)
Δt	คือ เวลาที่รถไฟฟ้าร่างเบาใช้เคลื่อนที่ (s)
a	คือ ความเร่งของรถไฟฟ้าร่างเบา (m/s^2)
P_{train}	คือ พลังงานที่ใช้ในการเคลื่อนที่ของรถไฟฟ้าร่างเบา (kW)
F_T	คือ แรงฉุดหัวรถจักร (N)
η_g	ค่าสัมประสิทธิ์ของเกียร์
η_m	ค่าสัมประสิทธิ์ของมอเตอร์
η_i	ค่าสัมประสิทธิ์ของอินเวเตอร์
P_{aux}	คือ กำลังไฟฟ้าอื่น ๆ (Auxiliary power) (kW)

$$F_T = M_{eff} a + F_R \quad (4.4)$$

จากสมการที่ (4.4)

M_{eff}	คือ น้ำหนักของรถไฟฟ้าร่างเบา (kg)
F_R	คือ แรงต้านการเคลื่อนที่ (N)

$$F_R = F_{RR} + F_{grad} + F_{drag} \quad (4.5)$$

จากสมการที่ (4.5)

F_{RR}	คือ แรงเสียดทานที่ต้านการเคลื่อนที่ (N)
----------	---

F_{grad} คือ แรงโน้มถ่วง (N)

F_{drag} คือ แรงต้านอากาศ (N)

$$F_{RR} = f_{RR}W \quad (4.6)$$

$$F_{grad} = \pm M_{eff} g \sin \theta \quad (4.7)$$

$$F_{drag} = \frac{1}{2} \rho_{air} c_d A_F v_{air}^2 \quad (4.8)$$

จากสมการที่ (4.6) ถึง (4.8)

f_{RR} คือ สัมประสิทธิ์ของแรงเสียดทาน

W คือ น้ำหนักโหลดของแกนขับเคลื่อน (kg)

g คือ ความเร่งแรงโน้มถ่วง (m/s^2)

θ คือ ค่ามุมของความชันของพื้น (degree)

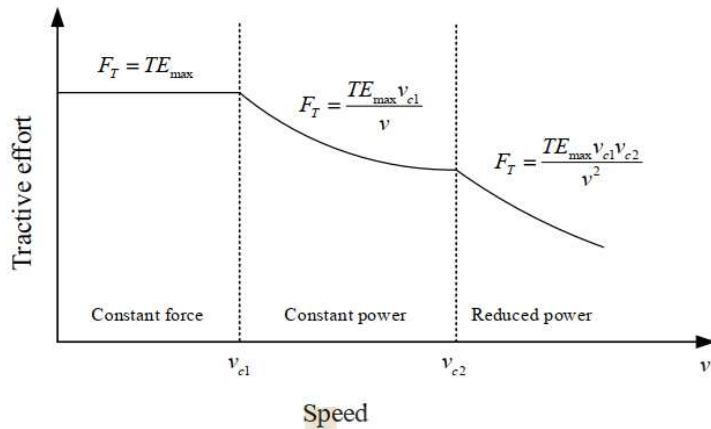
ρ_{air} คือ ความหนาแน่นของอากาศ (kg/m^3)

c_d คือ ค่าสัมประสิทธิ์แรงต้านอากาศ (N/m^3)

A_F คือ พื้นที่ด้านหน้าของรถไฟฟ้าร่างเบาที่ตั้งฉากกับทิศทางการให้力ของอากาศ (m^3)

v_{air} คือ ความเร็วสัมพัทธ์การให้力ของอากาศเทียบกับความเร็วรถไฟฟ้าร่างเบา (m/s)

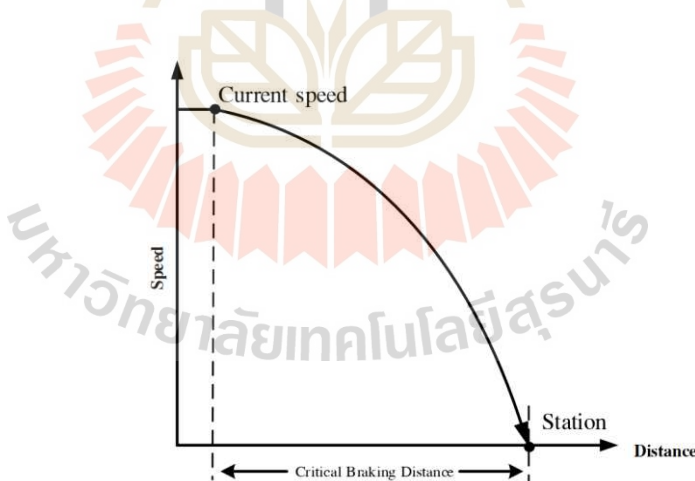
ลักษณะคุณสมบัติของหัวรถจักรไฟฟ้านิยมหรือแรงฉุดหัวรถจักรไฟฟ้า (Tractive force: F_T) เกิดจากแรงบิดของมอเตอร์ไฟฟ้าขับเคลื่อนที่ส่งผ่านเพื่องาน โดยแรงฉุดหัวรถจักรไฟฟ้าจะเป็นปันตามความเร็วเคลื่อนที่เชิงเส้น โดยสามารถแบ่งออกเป็น 3 ช่วงการทำงาน ได้แก่ ช่วงแรงฉุดคงที่ (Constant force) ช่วงกำลังงานคงที่ (Constant power) และช่วงกำลังงานลดทอน (Reduced power) ในช่วงกำลังงานคงที่ แรงบิดของมอเตอร์จะลดลงโดยยังสามารถจ่ายกำลังคงที่ให้โหลดได้ และช่วงกำลังงานลดทอน คือ ช่วงที่แรงบิดลดลงโดยผกผันกับความเร็วกำลังสอง สำหรับการเปลี่ยนโหมดการทำงานในช่วงต่าง ๆ จะขึ้นกับความเร็วในการเคลื่อนที่เมื่อรถไฟฟ้าร่างเบาไม่มีความเร็วมากกว่าความเร็วฐาน (v_{c1} หรือ v_{c2}) ดังรูปที่ 4.3 (กุลารวนิชพงษ์, 2561)



รูปที่ 4.3 ลักษณะคุณสมบติของแรงดึงดูดหัวรถจักรไฟฟ้ากับความเร็วเชิงเส้น

ที่มาภาพ: (Sutphrom, 2019)

รถไฟฟ้าจะเบรกเมื่อเริ่มเข้าสู่การทำงานในโหมดเบรกเมื่อระยะห่างตำแหน่งของรถรางน้อยกว่าหรือเท่ากับระยะวิกฤติการเบรก (Critical Braking Distance: CBD) เพื่อการเข้าจอดที่สถานีผู้โดยสารได้อย่างแม่นยำ โดยแผนภูมิระยะวิกฤติการเบรกแสดงดังรูปที่ 4.4 และสามารถคำนวณระยะเบรกได้จากสมการที่ (4.9) (สัมภัสสร, 2560)



รูปที่ 4.4 แผนภูมิระยะวิกฤติการเบรก

ที่มาภาพ: (สัมภัสสร, 2560)

$$CBD = -0.5 \times \frac{v^2}{a_{dec}} \quad (4.9)$$

จากสมการที่ (4.9)

v คือ ความเร็วของรถรางขณะนั้น (m/s)

a_{dec} คือ ความหน่วงมีค่าเป็นลบ (m/s^2)

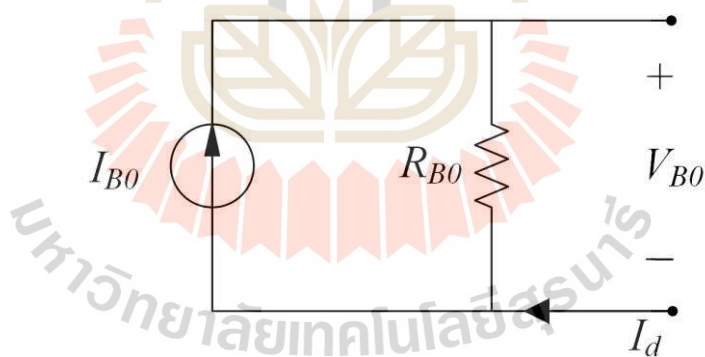
$$E = \int_0^t P_{train} dt \quad (4.10)$$

จากสมการที่ (4.10)

E คือ พลังงานที่รถใช้ในการเคลื่อนที่ (kWh)

4.3 แบบจำลองของแบตเตอรี่

ในการจำลองการเคลื่อนที่ของรถไฟฟ้าร่างเบาของวิทยานิพนธ์เล่มนี้ จะใช้แหล่งจ่ายที่เป็นแบตเตอรี่โดยมองเป็นแหล่งจ่ายกระแสที่เป็นแบบจำลองอย่างง่าย (กุลวรรณิชพงษ์, 2561) ดังรูปที่ 4.5 ซึ่งค่าพารามิเตอร์ต่าง ๆ ของแบตเตอรี่จะมีความสัมพันธ์ ดังสมการที่ (4.11) (4.12) และ (4.13) และสามารถหาค่ากระแสดับการเก็บประจุหรือชาร์จไฟของแบตเตอรี่ ดังสมการที่ (4.15)



รูปที่ 4.5 แบบจำลองของแบตเตอรี่

$$I_{B0} = \frac{kWh}{3600 \times V_{B0}} \quad (4.11)$$

$$R_{B0} = \frac{V_{B0}}{I_{B0}} \quad (4.12)$$

$$V_{B0} = R_{B0} \times (I_{B0} - I_d) \quad (4.13)$$

จากสมการที่ (4.11) ถึง (4.13)

I_{B0} คือ ความจุกระแสไฟฟ้าของแหล่งจ่ายแบตเตอรี่ (Ah)

kWh คือ ความจุของแบตเตอรี่ (kWh)

R_{B0} คือ ความต้านทานภายในของแบตเตอรี่ (Ω)

V_{B0} คือ แรงดันไฟฟ้าของแบตเตอรี่ (V)

I_d คือ กระแสไฟฟ้าโหลด (A) คำนวณได้จากสมการที่ (4.14)

$$I_d = \frac{P_{train}}{V_{B0}} \quad (4.14)$$

จากสมการที่ (4.14)

P_{train} คือ กำลังไฟฟ้าที่รถไฟฟาระบบใช้ในการเคลื่อนที่ (kW)

$$\%SOC(t + \Delta t) = \%SOC(t) + \int_t^{t + \Delta t} \frac{I_d}{C_{bat}} dt \times 100 \quad (4.15)$$

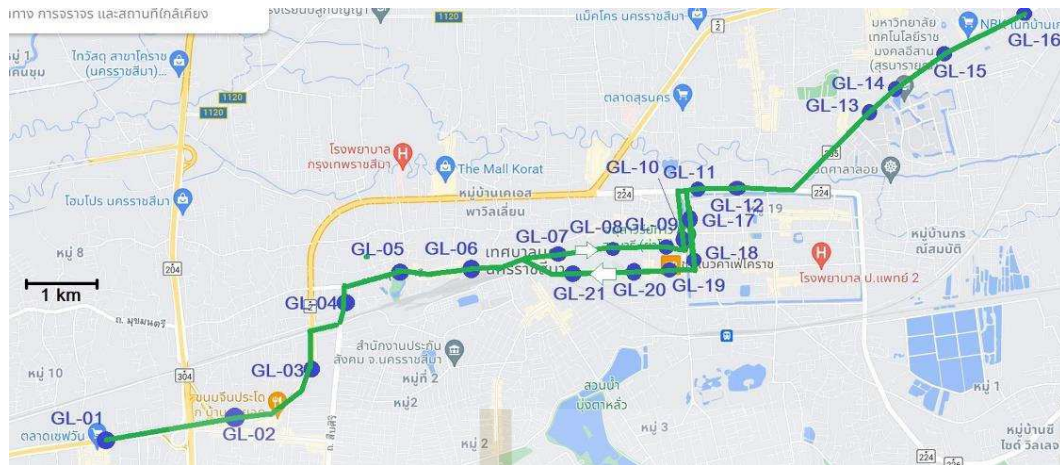
จากสมการที่ (4.15)

$\%SOC$ คือ ระดับการเก็บประจุหรือการชาร์จไฟของแบตเตอรี่ (%)

C_{bat} คือ ขนาดความจุของแบตเตอรี่ (Ah)

4.4 การจำลองการเคลื่อนที่ของรถไฟฟาระบบ

ศึกษาการจำลองการเคลื่อนที่ของรถไฟฟาระบบ โดยใช้เส้นทางของโครงการ Korat LRT สายสีเขียว เป็นข้อมูลในการจำลอง ซึ่งมีจำนวนสถานีทั้งหมด 21 สถานี โดยให้บริการตั้งแต่สถานีที่ 1 ตลาดเชฟวัน ถึงสถานีที่ 16 บ้านนาเรสวัสดี ในการจำลองนี้ได้จำลองการเดินทางทั้งขาไปและขาลับ ระยะทางรวมทั้งหมดประมาณ 22 km โดยจะมีช่วงที่รถไฟฟาระบบใช้ทางร่วมกับถนนสาธารณะ และใช้ทางเฉพาะ ซึ่งจะมีความเร็วเฉลี่ยในการเคลื่อนที่แต่ละสถานีแตกต่างกัน และเส้นทางที่ใช้ใน การเคลื่อนที่ แสดงดังรูปที่ 4.6



รูปที่ 4.6 เส้นทางการเดินรถของโครงการ Korat LRT สายสีเขียว

ที่มาภาพ: (Jobsoongnern et al., 2012)

ความเร็วในการเคลื่อนที่ของแต่ละสถานีนั้น จะมีความเร็วในการให้บริการแต่ละสถานี คือ 50 km/h 35 km/h และ 30 km/h โดยแต่ละสถานีมีความเร็วเฉลี่ยในการเคลื่อนที่ที่ต่างกันเนื่องจากบางเส้นทางระหว่างสถานีรถไฟฟ้ารางเบาใช้ทางร่วมกับถนนสาธารณะจึงไม่สามารถใช้ระบุความเร็วที่แน่นอนได้ โดยความเร็วในการเคลื่อนที่ในแต่ละสถานีแสดงดังตารางที่ 4.1 และ 4.2 ซึ่ง การเคลื่อนที่ข้าไปเคลื่อนที่จากสถานีตลาดเชฟวัน (GL-01) ไปยังสถานีบ้านนาเรีสวัสดิ์ (GL-16) และ การเคลื่อนที่ขากลับ จากสถานีบ้านนาเรีสวัสดิ์ (GL-16) ไปยังสถานีตลาดเชฟวัน (GL-01) และ ค่าพารามิเตอร์ของรถไฟฟ้ารางเบาที่ใช้ในการจำลองแสดงดังตารางที่ 4.3

ตารางที่ 4.1 ความเร็วสูงสุดในการเคลื่อนที่ข้าไปข้องแต่ละสถานี

สถานี	ชื่อสถานี	ความเร็ว (km/h)
GL-01	ตลาดเชฟวัน	-
GL-02	ตลาดมิตรภาพ	50
GL-03	อู่เชิดซัย	50
GL-04	สำนักงานคุมประพฤติ	30
GL-05	สวนญี่รักษา	30
GL-06	หัวรถไฟ	30
GL-07	เทศบาลนครราชสีมา	30
GL-08	ศาลเจ้าวัดแดง	-

ตารางที่ 4.1 ความเร็วสูงสุดในการเคลื่อนที่ข้าไปของแต่ละสถานี (ต่อ)

สถานี	ชื่อสถานี	ความเร็ว (km/h)
GL-09	ตลาดใหม่แม่กิมເຊີງ	-
GL-10	ສວນຮັກ	-
GL-11	ແຍກປະປາ	-
GL-12	ໂຮງເຮືອນສຸຣນາຣີ	35
GL-13	ຮາ່ຈກົງ	35
GL-14	ຮາ່ຈມົງຄລ	35
GL-15	ບ້ານເມຕຕາ	35
GL-16	ບ້ານນາຣີສວ້ສດີ	35

ตารางที่ 4.2 ความเร็วสูงสุดในการเคลื่อนที่จากลับของแต่ละสถานี

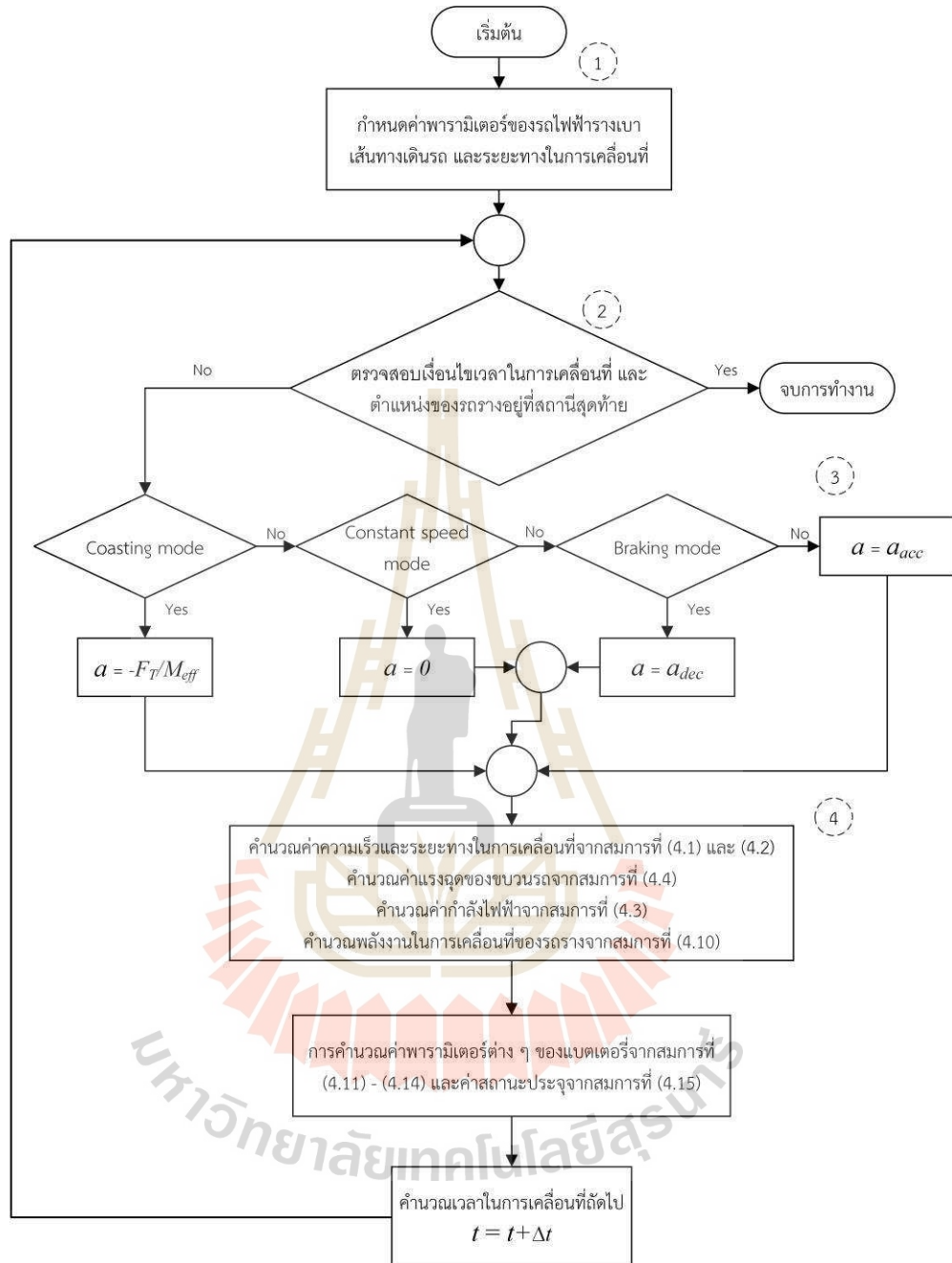
สถานี	ชื่อสถานี	ความเร็ว (km/h)
GL-16	ບ້ານນາຣີສວ້ສດີ	-
GL-15	ບ້ານເມຕຕາ	35
GL-14	ຮາ່ຈມົງຄລ	35
GL-13	ຮາ່ຈກົງ	35
GL-12	ໂຮງເຮືອນສຸຣນາຣີ	35
GL-17	ແຍກປະປາ	35
GL-18	ສວນຮັກ	-
GL-19	ສະລາກລາງຈ້າງຫວັດ	-
GL-20	ตลาดใหม่แม่ກิมເຊີງ	-
GL-21	ສະລາຈິ້ວັດແດງ	-
GL-07	ເທິສະບາລນົມຄຣາຊສຶມາ	30
GL-06	ຫ້ວຮຄໄພ	30
GL-05	ສວນກົມົງຮັກໜີ	30
GL-04	ສໍານັກງານຄຸມປະພັດຕີ	30
GL-03	ອູ່ເຊີດໜ້ຍ	50
GL-02	ตลาดມືຕຽກພາບ	50
GL-01	ตลาดເຊີ່ວນ	50

ตารางที่ 4.3 ค่าพารามิเตอร์ของรถไฟฟ้าร่างเบาที่ใช้ในการจำลอง

Parameters	Value
Acceleration (a_{acc})	0.7 km/s ²
Deceleration (a_{dec})	-0.7 km/s ²
Effective mass (M_{eff})	44000 kg
Rolling resistance coefficient (f_{RR})	0.006
Aerodynamic drag coefficient (c_d)	0.6
Air density (ρ_{air})	1.225 kg/m ³
Frontal area (A_F)	8.4 m ²
Gearbox efficiency (η_g)	0.93
Motors efficiency (η_m)	0.9
Inverter efficiency (η_i)	0.9
Auxiliary power (P_{aux})	20 kW
Maximum tractive effort (TE_{max})	50 kN
Maximum braking effort (BE_{max})	50 kN

การทำงานของแบบจำลองการเคลื่อนที่ของรถไฟฟ้าร่างเบาที่มีแหล่งจ่ายเป็นแบตเตอรี่บนขบวนรถแสดงดังรูปที่ 4.7 มีขั้นตอนการทำงานดังนี้

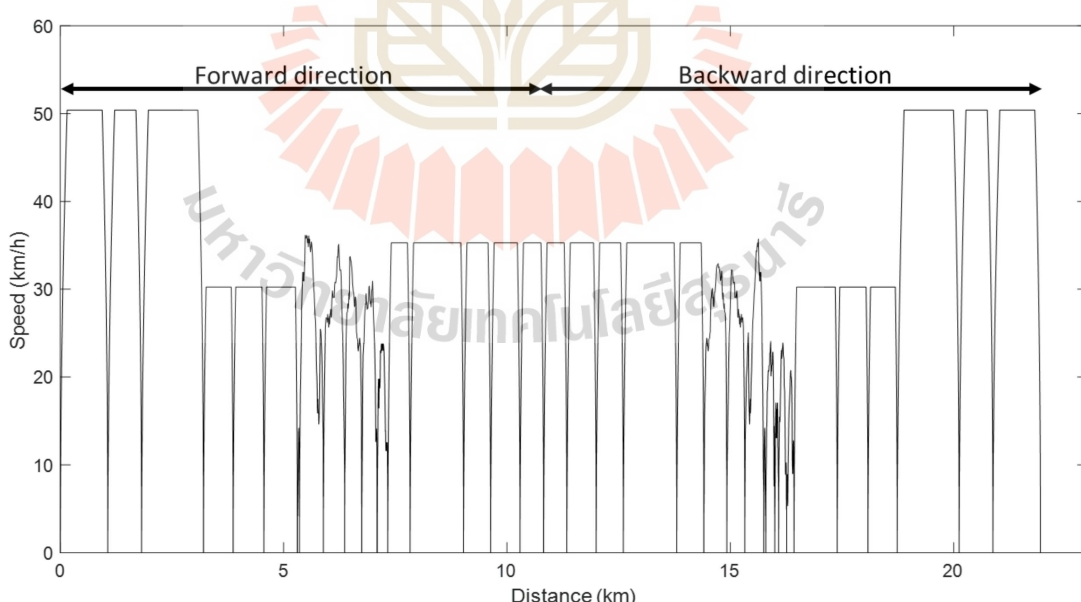
- (1) กำหนดค่าพารามิเตอร์เริ่มต้นของรถไฟฟ้าร่างเบา เส้นทางเดินรถและระยะทางในการเคลื่อนที่
- (2) ตรวจสอบเงื่อนไข หากเวลาในการคำนวณหรือตำแหน่งของรถไฟฟ้าร่างเบ้ายังไม่ใช่ค่าสุดท้าย ให้ดำเนินการคำนวณต่อไป หากไม่ใช่ให้จบการทำงาน
- (3) ตรวจสอบเงื่อนไข荷瘤ดการเคลื่อนที่ต่าง ๆ เพื่อกำหนดค่าความเร่ง โดยหากใช้荷瘤ดการเคลื่อนที่ด้วยความเฉียบหรือ Coasting ความเร่งจะมีค่าดังนี้ $a = -F_T/M_{eff}$ หากใช้荷瘤ดความเร็วคงที่ $a = 0$ หากใช้荷瘤ดเบรก $a = a_{dec}$ หากไม่ใช้荷瘤ดที่กล่าวมา คือ 荷瘤ดเร่งความเร็ว $a = a_{acc}$
- (4) เริ่มจากการคำนวณค่าพารามิเตอร์ต่าง ๆ ของรถไฟฟ้าร่างเบา โดยคำนวณแรงฉุดกำลังไฟฟ้า พลังงานที่ใช้ในการเคลื่อนที่ คำนวณความเร็ว ระยะทางในการเคลื่อนที่ และคำนวณค่าพารามิเตอร์ต่าง ๆ ของแบตเตอรี่ จากนั้นวนซ้ำการคำนวณในขั้นตอนที่ (2)



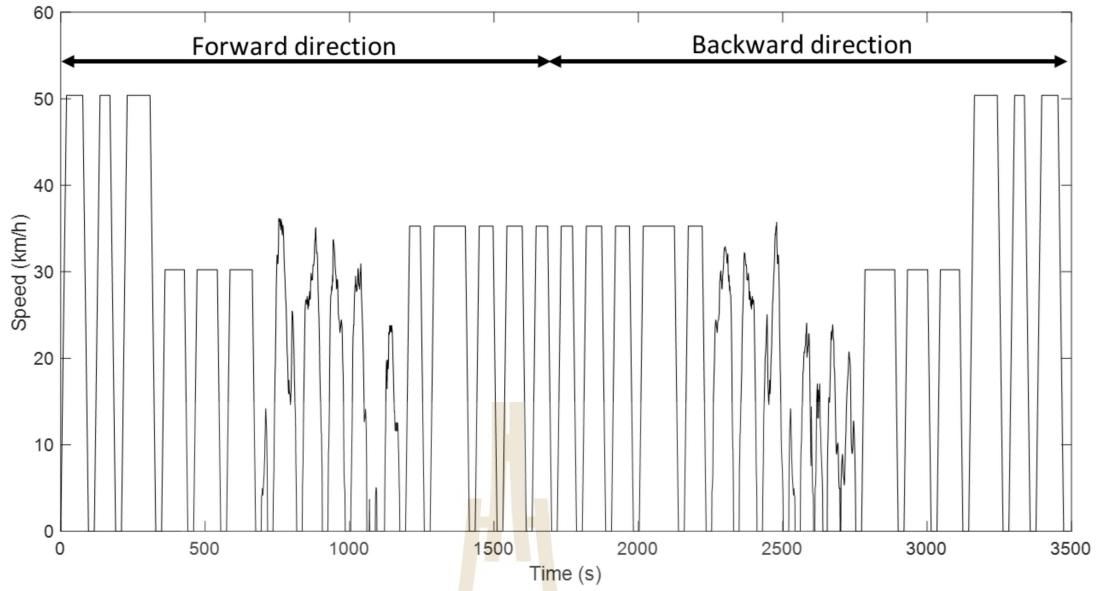
รูปที่ 4.7 หลักการทำงานของแบบจำลองการเคลื่อนที่ของรถไฟฟ้าร่างเบาที่มีแหล่งจ่ายเป็นแบตเตอรี่บนขบวนรถ

4.5 ผลการจำลองการเคลื่อนที่ของรถไฟฟ้าร่างเบา

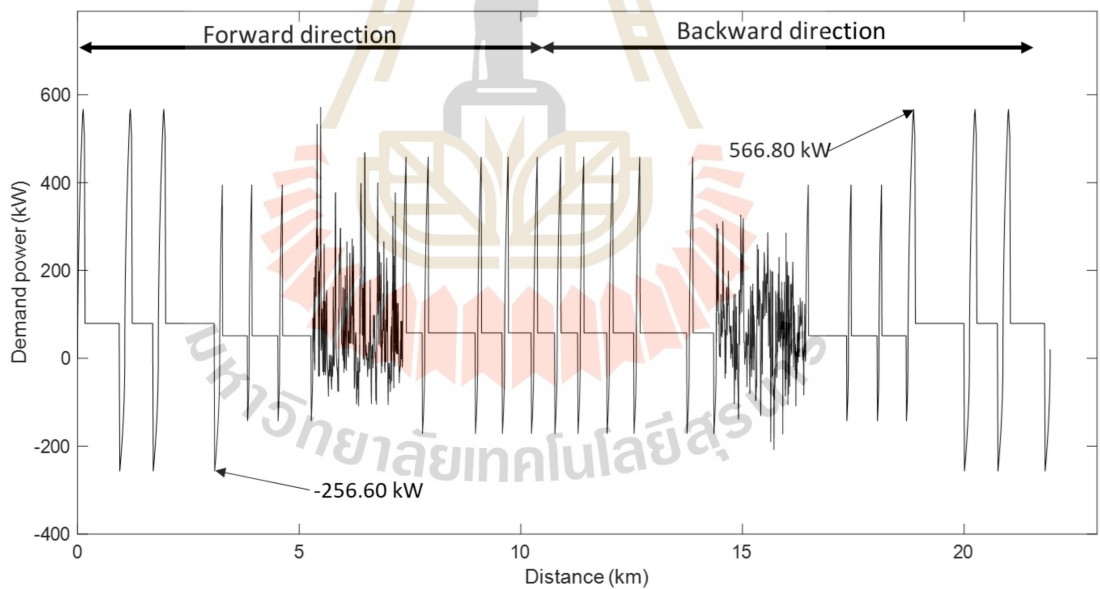
ผลการจำลองการเคลื่อนที่ของรถไฟฟ้าร่างเบา มีลักษณะของความเร็วในการเคลื่อนที่ข้าไป (Forward direction) และขากลับ (Backward direction) ในแต่ละสถานี ดังรูปที่ 4.8 เทียบกับระยะทางโดยมีความเร็วสูงสุด คือ 50 km/h และระยะทางรวมทั้งหมดประมาณ 22 km ลักษณะของความเร็วเมื่อเทียบกับเวลา แสดงตั้งรูปที่ 4.9 พบว่าเมื่อเทียบกับเวลารถจอดรับผู้โดยสารแต่ละสถานีเป็นเวลา 20 วินาที ทำให้ระยะเวลาในการเดินทางทั้งหมดเป็น 3494 วินาที และจากรูปที่ 4.10 กำลังไฟที่รถไฟฟ้าร่างเบาใช้ในการเคลื่อนที่เทียบกับเวลา จะเห็นว่าช่วงเวลาที่รถไฟฟ้าร่างเบาเร่งความเร็วจาก 0 km/h จนถึงความเร็วคงที่ ค่าของกำลังไฟฟ้าในช่วงเวลานั้นจะมีค่าเพิ่มขึ้นโดยมีค่าสูงสุด คือ 566.80 kW และในช่วงเวลาที่รถไฟฟ้าร่างเบาเคลื่อนที่ด้วยความเร็วคงที่ ค่ากำลังไฟฟ้าก็จะลดลงเหลือน้อยกว่าช่วงที่เร่งความเร็วมาก เมื่อถึงช่วงที่รถไฟฟ้าร่างเบาชะลอความเร็วค่ากำลังไฟฟ้าจะมีค่าติดลบโดยมีค่าน้อยที่สุด คือ -256.60 kW และจากรูปที่ 4.11 แสดงถึงแรงฉุดของขบวนรถโดยในการเคลื่อนที่ในช่วงที่รถไฟฟ้าร่างเบาใช้ทางเฉพาะ ค่าของแรงฉุดจะมีค่าไม่ถึงค่าแรงฉุดสูงสุดที่ 50 kN และในช่วงที่รถไฟฟ้าร่างเบาใช้แรงกับถนนสาธารณะจะมีค่าแรงฉุดสูงสุด เนื่องจากไม่สามารถควบคุมความเร่งให้มีค่าตามที่กำหนดได้ และจากรูปที่ 4.12 แสดงถึงพลังงานในการเคลื่อนที่สะสมของรถไฟฟ้าร่างเบาเมื่อเคลื่อนที่มาถึงสถานีสุดท้าย มีค่าเท่ากับ 70.60 kWh



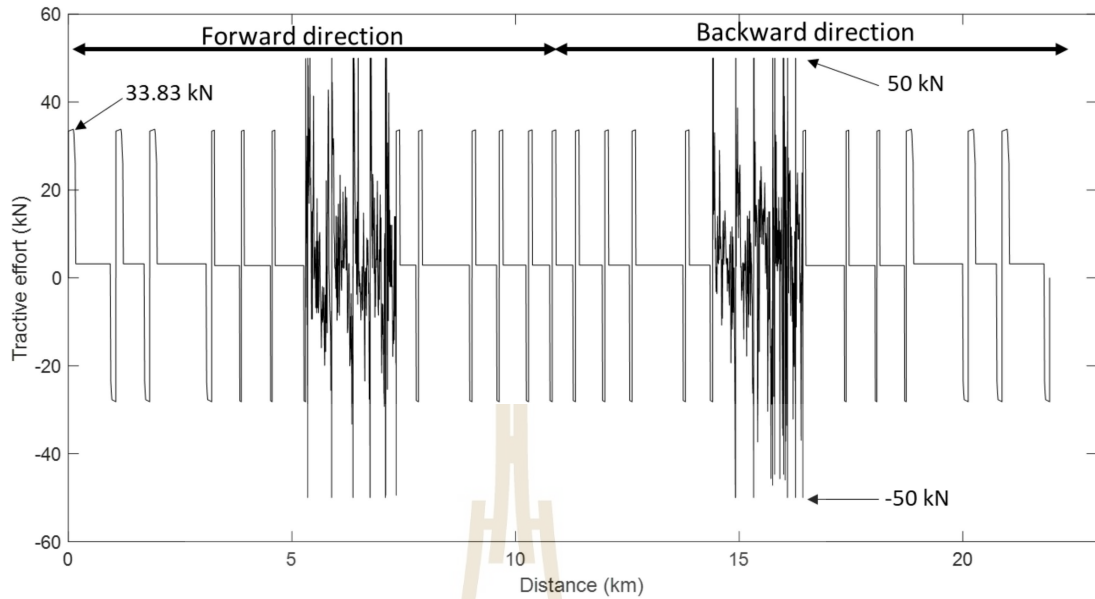
รูปที่ 4.8 ลักษณะการเคลื่อนที่ของรถไฟฟ้าร่างเบาเทียบกับระยะทาง



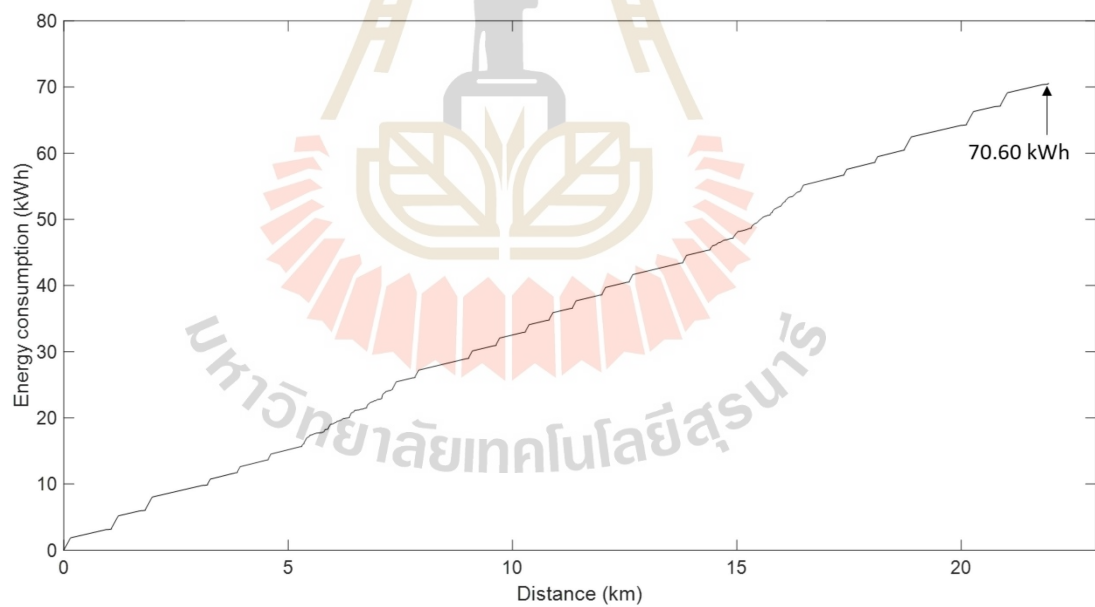
รูปที่ 4.9 ลักษณะการเคลื่อนที่ของรถไฟฟ้าร่างเบาเทียบกับเวลา



รูปที่ 4.10 กำลังไฟฟ้าของร่างเบาเทียบกับระยะทาง



รูปที่ 4.11 แรงดึงของรถไฟฟ้าร่างเบาเทียบกับระยะทาง



รูปที่ 4.12 พลังงานที่ใช้ในการเคลื่อนที่ของรถไฟฟ้าร่างเบาเทียบกับระยะทาง

4.5.1 ขนาดของแบตเตอรี่ในแต่ละกรณีและผลการจำลองการเคลื่อนที่โดยมีแหล่งจ่ายเป็นแบตเตอรี่

การจำลองนี้ได้แบ่งกรณีศึกษาออกเป็น 6 กรณี ได้แก่ กรณีที่ 1 ชาร์จทุก ๆ สถานี กรณีที่ 2 ชาร์จทุก ๆ 2 สถานี กรณีที่ 3 ชาร์จทุก ๆ 3 สถานี กรณีที่ 4 ชาร์จทุก ๆ 5 สถานี กรณีที่ 5 ชาร์จที่สถานีปลายทาง และกรณีที่ 6 ชาร์จทุก ๆ การเดินทางไป-กลับ ดังตารางที่ 4.4 ซึ่งแต่ละกรณี จะจำลองการเคลื่อนที่ของรถไฟฟ้าร่างเบาโดยการใช้แบตเตอรี่มูดูล 24 V, 70 Ah ที่ผลิตโดยบริษัท Altairnano ดังรูปที่ 4.13 โดยมีค่าพารามิเตอร์ของแบตเตอรี่มูดูล ดังตารางที่ 4.5 ใช้ในการจำลอง เพื่อเป็นแหล่งพลังงานให้กับรถไฟฟ้าร่างเบา ซึ่งขนาดของแบตเตอรี่แพคที่ใช้ในการจำลองจะแตกต่าง กัน ขนาดของแบตเตอรี่แพคจะปรับผันตามระยะห่างของจุดชาร์จในแต่ละกรณี



รูปที่ 4.13 แบตเตอรี่มูดูลที่ใช้ในการจำลอง ผลิตโดย Altairnano
ที่มาภาพ: <https://altairnano.com/products/battery-module/>
[เข้าถึงเมื่อ 25 สิงหาคม 2563]

ตารางที่ 4.4 กรณีศึกษาของตำแหน่งในการชาร์จ

กรณี	ตำแหน่งการชาร์จ
1	ชาร์จทุก ๆ สถานี
2	ชาร์จทุก ๆ 2 สถานี
3	ชาร์จทุก ๆ 3 สถานี
4	ชาร์จทุก ๆ 5 สถานี
5	ชาร์จที่สถานีปลายทาง
6	ชาร์จทุก ๆ การเดินทางไป - กลับ

ตารางที่ 4.5 ค่าพารามิเตอร์ของโมดูลแบตเตอรี่ที่ใช้ในการจำลอง

Parameter	Battery module value
Nominal Voltage	24 V
Nominal capacity	70 Ah
Nominal energy capacity	1.68 kWh
Maximum continuous charge/discharge	500 A
Maximum pulse charge/discharge (10 s)	900 A
Weight	28.4 kg

การคำนวณหาขนาดของแบตเตอรี่เพื่อให้เพียงพอต่อการใช้งานของรถไฟฟ้าร่างเบา ในงานวิจัยนี้พิจารณาจากกำลังไฟฟ้าสูงสุดในขณะที่รถไฟฟ้าร่างเบาใช้เร่งความเร็ว และพลังงานที่รถไฟฟ้าร่างเบาใช้ในการเคลื่อนที่จากสถานีแรกถึงสถานีที่มีจุดชาร์จถัดไปของแต่ละกรณี ซึ่งแต่ละกรณีจะใช้พลังงานไม่เท่ากันเนื่องจาก เมื่อจุดชาร์จอยู่ห่างออกไปมากขึ้น ก็จำเป็นต้องใช้พลังงานในการเดินทางจนกว่าจะถึงจุดชาร์จมากขึ้น เช่นกัน ในการจำลองนี้ต้องการให้ค่าระดับประจุของแบตเตอรี่เริ่มต้นที่ 100% เมื่อรถไฟฟ้าร่างเบาเคลื่อนที่ไปถึงสถานีสุดท้ายแล้วยังมีค่าสถานะของประจุเหลืออยู่ประมาณ 30% ค่าพารามิเตอร์ของแบตเตอรี่ได้ออกแบบโดยใช้ค่าจากตารางที่ 4.5 ด้วยการอนุกรมโมดูลแบตเตอรี่เพื่อเพิ่มค่าแรงดันไฟฟ้า และขนาดโมดูลแบตเตอรี่เพื่อเพิ่มค่ากระแสไฟฟ้า สามารถคำนวณค่าของแบตเตอรี่เบื้องต้นได้จากการที่ (4.16) (Jobsoongnern et al., 2022) ซึ่งขนาดของแบตเตอรี่accoที่ใช้ในการจำลองจะแตกต่างกัน ขนาดของแบตเตอรี่accoจะปรับแต่งตามระยะห่างของจุดชาร์จในแต่ละกรณี

$$E_{OB} = k_I \times \max_{i=1:n-1} E_{i,i+1} \quad (4.16)$$

จากสมการที่ (4.16)

- E_{OB} คือ ค่าความจุพลังงานของแบตเตอรี่ (kWh)
- $E_{i,i+1}$ คือ พลังงานในการเคลื่อนที่แต่ละสถานีที่มีจุดชาร์จ (kWh) โดยที่ $i = 1, 2, \dots, n$
- k_I คือ ค่าสัมประสิทธิ์การอوكแบบ
- n คือ จำนวนสถานีผู้โดยสารที่มีจุดชาร์จ

k_I จะได้จากการประมาณค่าความจุพลังงานของแบตเตอรี่จากสมการที่ (4.16) เริ่มต้นมีค่าเท่ากับ 1 โดยทำการปรับลดหรือเพิ่ม k_I เพื่อให้ค่าสถานะประจุของแบตเตอรี่เมื่อให้บริการทั้งขาไปและขากลับของแต่ละกรณีมีค่าใกล้เคียง 30% มากที่สุด แต่เนื่องจากค่าความจุพลังงานของแบตเตอรี่ที่คำนวณจากสมการที่ (4.16) ของกรณีที่ 1 ถึงกรณีที่ 4 เมื่อรถไฟฟ้าร่างเบาจอดชาร์จที่สถานีผู้โดยสารด้วยกำลังไฟฟ้าสูงสุดของแบตเตอรี่จากการคำนวณไม่สามารถประจุพลังงานให้เต็มได้ในแต่ละจุดชาร์จ จึงใช้ค่าความจุพลังงานของแบตเตอรี่เริ่มต้นเดียวกันกับกรณีที่ 6 คือ 70.60 kWh และมีการปรับด้วย k_I ให้มีความเหมาะสมในแต่ละกรณี ในส่วนของกรณีที่ 5 พลังงานในการเคลื่อนที่ระหว่างจุดชาร์จที่มากที่สุด คือ 35.80 kWh และปรับให้เหมาะสมด้วย k_I ทำให้ได้ค่าพารามิเตอร์ของแบตเตอรี่ในแต่ละกรณีต่างแสดงดังตารางที่ 4.6

ตารางที่ 4.6 ค่าพารามิเตอร์ของแบตเตอรี่แพคในกรณีศึกษาทั้ง 6 กรณี

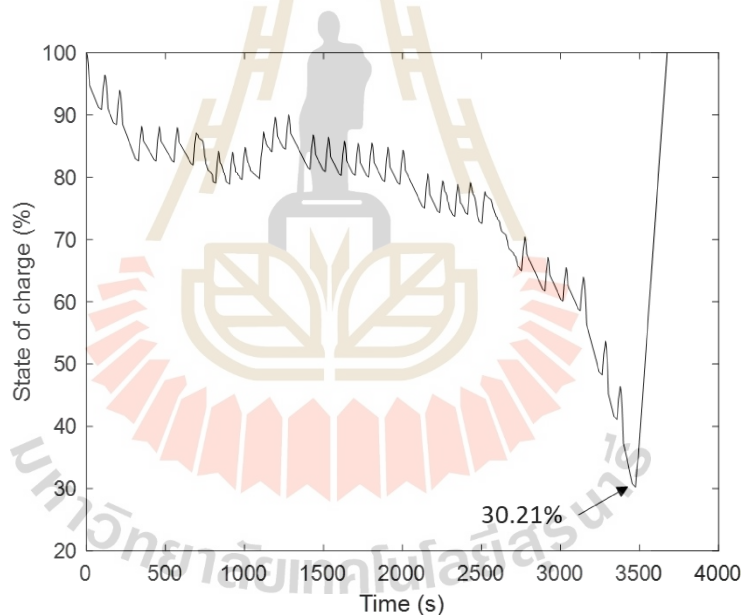
Parameter	Case 1	Case 2	Case 3	Case 4	Case 5	Case 6
k_I	0.5	0.9	1.1	1.4	3.8	2.1
Nominal Voltage (V)	528	456	552	696	648	696
Nominal capacity (Ah)	70	140	140	140	210	210
Nominal energy capacity (kWh)	36.96	63.84	77.28	97.44	136.08	146.16
Maximum continuous charge/discharge (A)	500	1000	1000	1000	1500	1500
Maximum pulse charge/discharge (10 s) (A)	900	1800	1800	1800	2700	2700
Weight (kg)	616	1064	1288	1624	2268	2436

4.5.2 ผลการจำลองการเคลื่อนที่โดยมีแหล่งจ่ายเป็นแบตเตอรี่

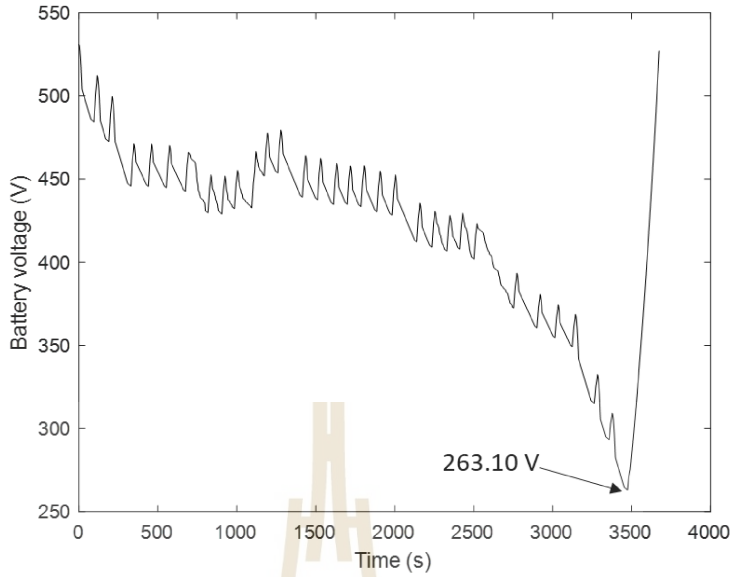
การจำลองนี้ได้พิจารณาเปรียบเทียบพลังงานที่ใช้จากแบตเตอรี่เมื่อไม่พิจารณา พลังงานจากการเบรก และเมื่อพิจารณาพลังงานจากการเบรก สำหรับการชาร์จแบตเตอรี่ที่สถานี ขณะจอดรับผู้โดยสารเป็นเวลา 20 วินาที งานวิจัยฉบับนี้ได้ใช้ค่ากระแสสูงสุดในการชาร์จ โดยค่ากระแสแต่ละกรณีจะแตกต่างกันตามขนาดพิกัดของแบตเตอรี่ในรถสิบห้า ๆ เมื่อสิ้นสุดการเดินทางไป-กลับ การชาร์จจะดำเนินการต่อไป จนกระทั่งแบตเตอรี่มีค่าระดับประจุเท่ากับ 100% และเมื่อมีการพิจารณาพลังงานจากการเบรก จะเกิดการชาร์จพลังงานกลับเข้าแบตเตอรี่ มีผลการจำลองดังนี้

- กรณีที่ 1 ชาร์จทุก ๆ สถานี เมื่อไม่พิจารณาพลังงานจากการเบรก

เมื่อรถไฟฟ้าร่างเบาเคลื่อนที่ถึงสถานีสุดท้าย จากรูปที่ 4.14 ระดับประจุของแบตเตอรี่มีค่าเท่ากับ 30.21% และจากรูปที่ 4.15 แรงดันของแบตเตอรี่มีค่าเท่ากับ 263.10 V

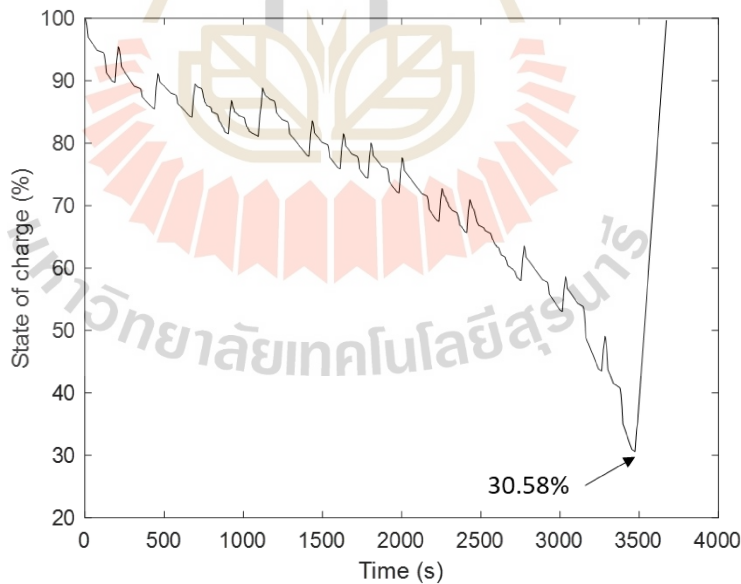


รูปที่ 4.14 ระดับประจุของแบตเตอรี่เทียบกับเวลา กรณีที่ 1 เมื่อไม่พิจารณาพลังงานจากการเบรก

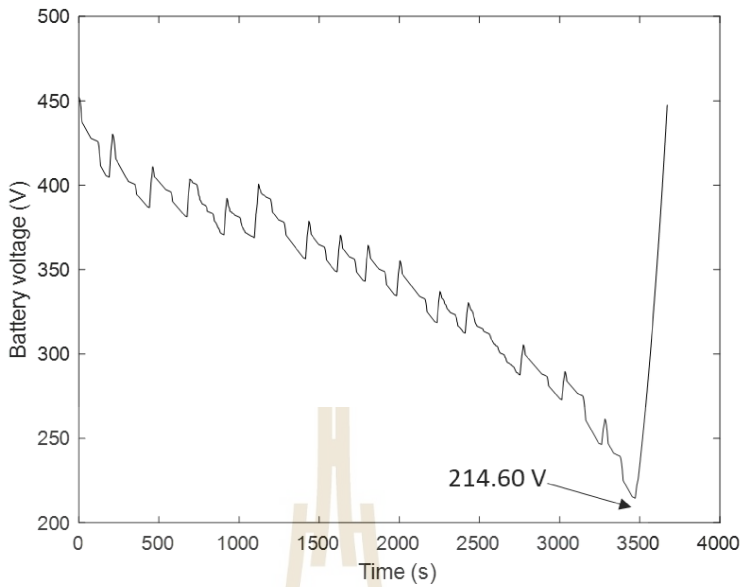


รูปที่ 4.15 แรงดันของแบตเตอรี่เทียบกับเวลา กรณีที่ 1 เมื่อไม่พิจารณาพลังงานจากการเบรก

- กรณีที่ 2 ชาร์จทุก ๆ 2 สถานี เมื่อไม่พิจารณาพลังงานจากการเบรก



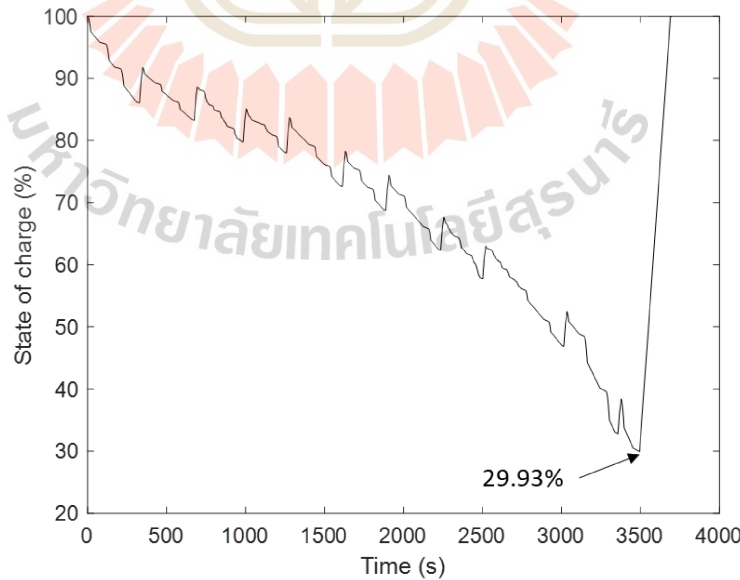
รูปที่ 4.16 ระดับประจุของแบตเตอรี่เทียบกับเวลา กรณีที่ 2 เมื่อไม่พิจารณาพลังงานจากการเบรก



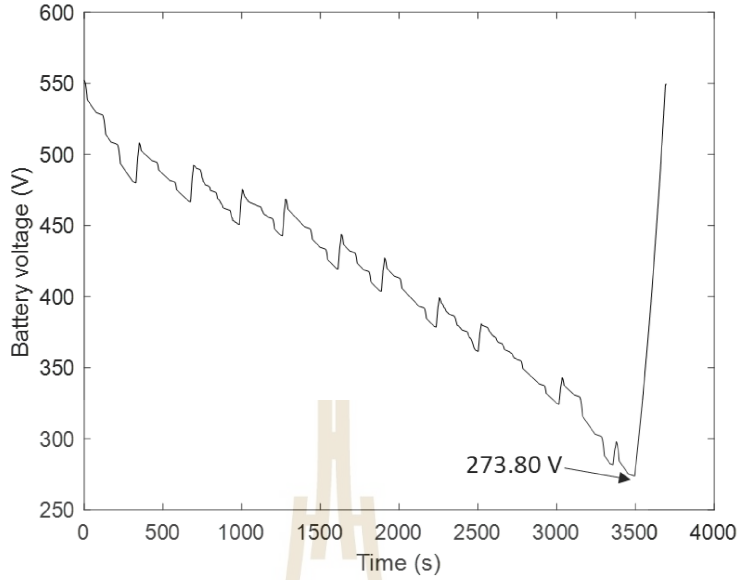
รูปที่ 4.17 แรงดันของแบตเตอรี่เทียบกับเวลา กรณีที่ 2 เมื่อไม่พิจารณาพลังงานจากการเบรก

เมื่อรถไฟฟ้ารังเบาเคลื่อนที่ถึงสถานีสุดท้าย จากรูปที่ 4.16 ระดับประจุของแบตเตอรี่มีค่าเท่ากับ 30.58% และจากรูปที่ 4.17 แรงดันของแบตเตอรี่มีค่าเท่ากับ 214.60 V

- กรณีที่ 3 ชาร์จทุก ๆ 3 สถานี เมื่อไม่พิจารณาพลังงานจากการเบรก



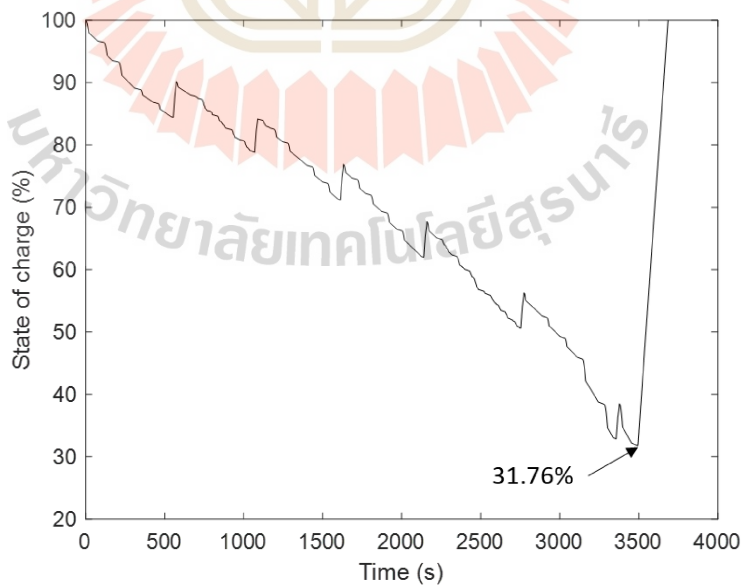
รูปที่ 4.18 ระดับประจุของแบตเตอรี่เทียบกับเวลา กรณีที่ 3 เมื่อไม่พิจารณาพลังงานจากการเบรก



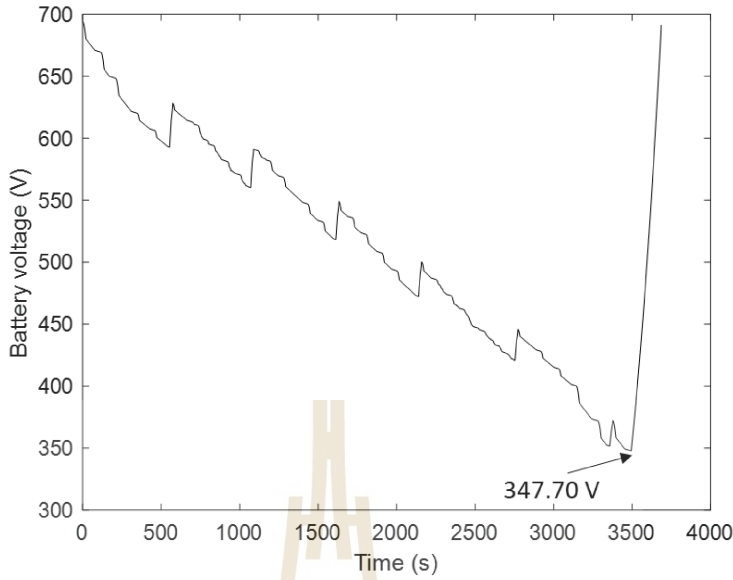
รูปที่ 4.19 แรงดันของแบตเตอรี่เทียบกับเวลา กรณีที่ 3 เมื่อไม่พิจารณาพลังงานจากการเบรก

เมื่อรถไฟฟ้าร่างเบาเคลื่อนที่ถึงสถานีสุดท้าย จากรูปที่ 4.18 ระดับประจุของแบตเตอรี่มีค่าเท่ากับ 29.93% และจากรูปที่ 4.19 แรงดันของแบตเตอรี่มีค่าเท่ากับ 273.80 V

- กรณีที่ 4 ชาร์จทุก ๆ 5 สถานี เมื่อไม่พิจารณาพลังงานจากการเบรก



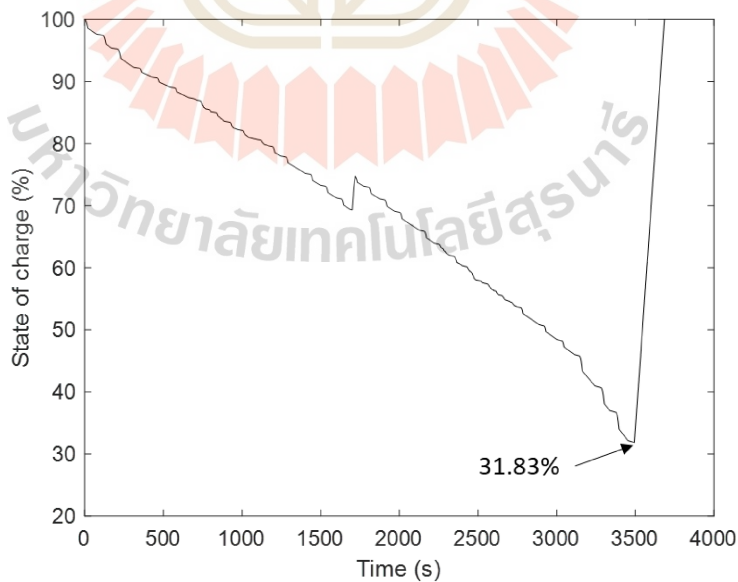
รูปที่ 4.20 ระดับประจุของแบตเตอรี่เทียบกับเวลา กรณีที่ 4 เมื่อไม่พิจารณาพลังงานจากการเบรก



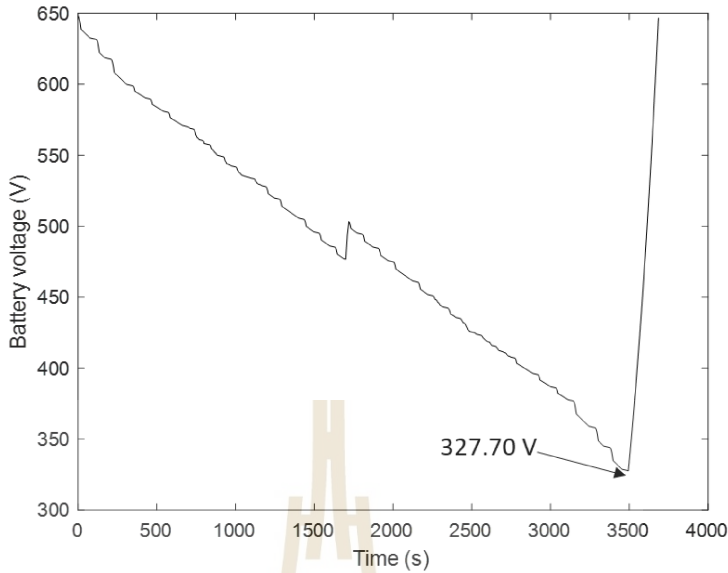
รูปที่ 4.21 แรงดันของแบตเตอรี่เทียบกับเวลา กรณีที่ 4 เมื่อไม่พิจารณาพลังงานจากการเบรก

เมื่อรถไฟฟ้าร้างเบาเคลื่อนที่ถึงสถานีสุดท้าย จากรูปที่ 4.20 ระดับประจุของแบตเตอรี่มีค่าเท่ากับ 31.76% และจากรูปที่ 4.21 แรงดันของแบตเตอรี่มีค่าเท่ากับ 347.70 V

- กรณีที่ 5 ชาร์จทุกที่สถานีปลายทาง เมื่อไม่พิจารณาพลังงานจากการเบรก



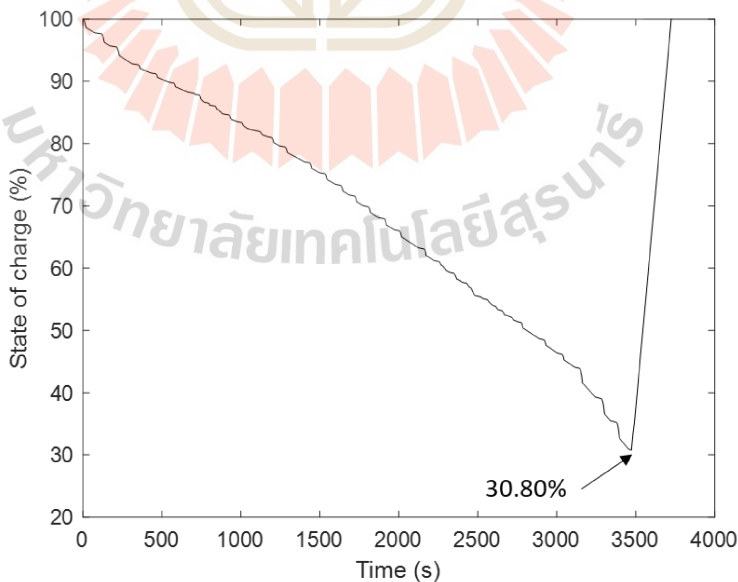
รูปที่ 4.22 ระดับประจุของแบตเตอรี่เทียบกับเวลา กรณีที่ 5 เมื่อไม่พิจารณาพลังงานจากการเบรก



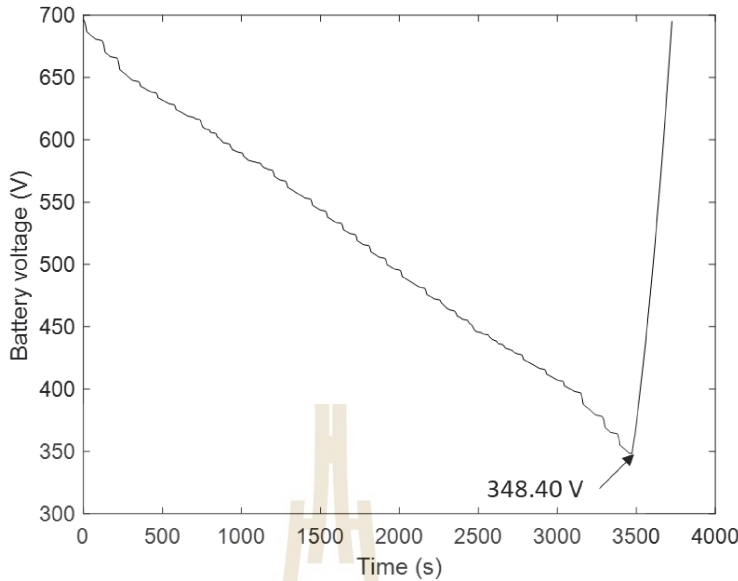
รูปที่ 4.23 แรงดันของแบตเตอรี่เทียบกับเวลา กรณีที่ 5 เมื่อไม่พิจารณาพลังงานจากการเบรก

เมื่อรถไฟฟ้าร่างเบาเคลื่อนที่ถึงสถานีสุดท้าย จากรูปที่ 4.22 ระดับประจุของแบตเตอรี่มีค่าเท่ากับ 31.83% และจากรูปที่ 4.23 แรงดันของแบตเตอรี่มีค่าเท่ากับ 327.70 V

- กรณีที่ 6 ชาร์จทุก ๆ การเดินทางไปกลับ เมื่อไม่พิจารณาพลังงานจากการเบรก



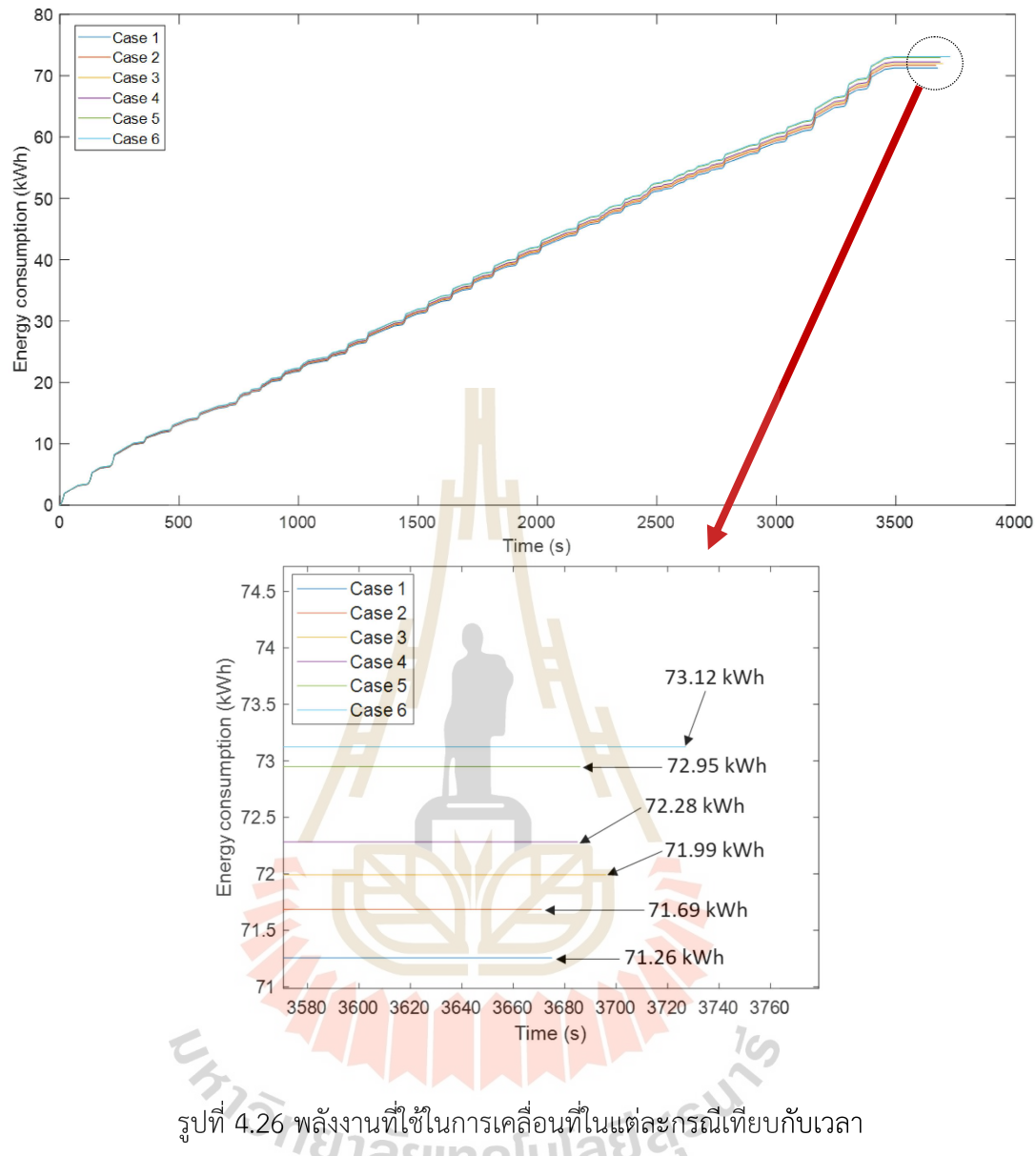
รูปที่ 4.24 ระดับประจุของแบตเตอรี่เทียบกับเวลา กรณีที่ 6 เมื่อไม่พิจารณาพลังงานจากการเบรก



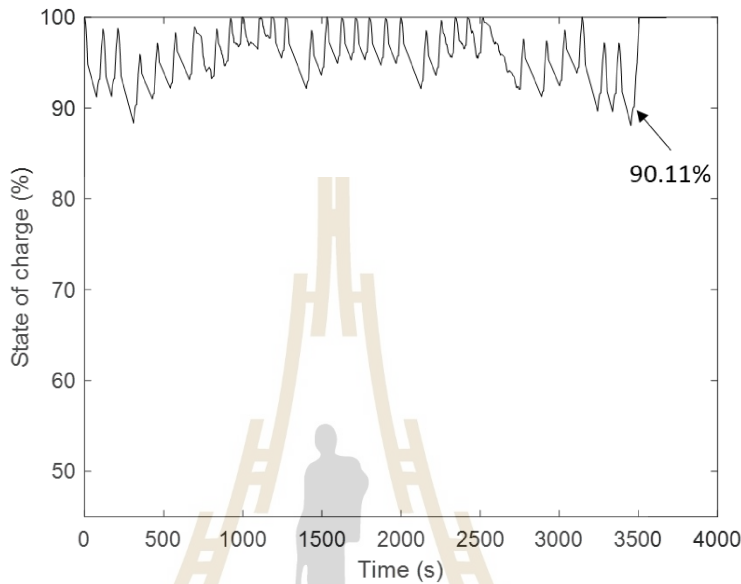
รูปที่ 4.25 แรงดันของแบตเตอรี่เทียบกับเวลา กรณีที่ 6 เมื่อไม่พิจารณาพลังงานจากการเบรก

เมื่อรถไฟฟ้าร่างเบาเคลื่อนที่ถึงสถานีสุดท้าย จากรูปที่ 4.24 ระดับประจุของแบตเตอรี่มีค่าเท่ากับ 30.80% และจากรูปที่ 4.25 แรงดันของแบตเตอรี่มีค่าเท่ากับ 348.40 V

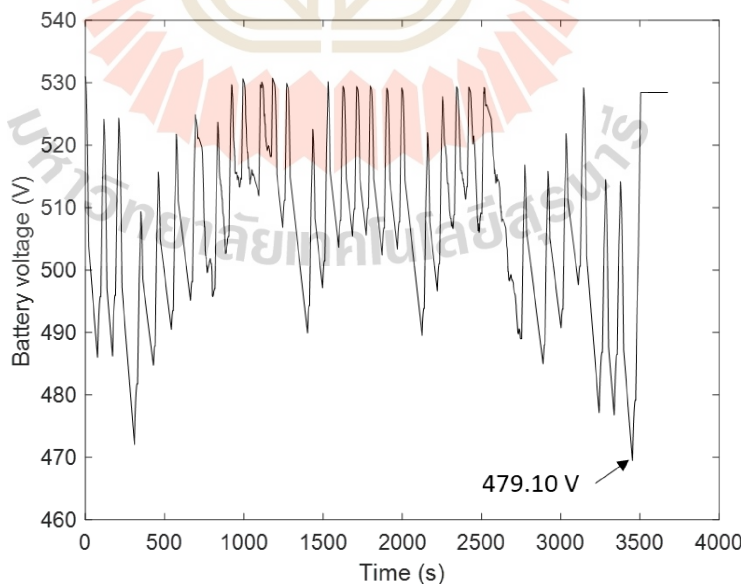
จากรูปที่ 4.26 แสดงพลังงานในการเคลื่อนที่ของรถไฟฟ้าร่างเบาในแต่ละกรณี พบว่า จากกรณีที่ 1 ถึงกรณีที่ 6 พลังงานในการเคลื่อนที่มีค่าเพิ่มขึ้นในทุก ๆ กรณี เนื่องจากเมื่อต่ำเหลี่ยมในการชาร์จมีระยะทางที่ใกล้ขึ้น ส่งผลให้รถไฟฟ้าร่างเบาต้องใช้แบตเตอรี่ขนาดพิกัดที่ใหญ่ขึ้น เพื่อให้ระดับประจุมีค่าใกล้เคียง 30% ในทุก ๆ กรณี เมื่อขนาดพิกัดของแบตเตอรี่ใหญ่ขึ้น ทำให้รถไฟฟ้าร่างเบาต้องบรรทุกแบตเตอรี่ที่มีน้ำหนักมากขึ้น จึงส่งผลให้พลังงานที่ใช้ในการเคลื่อนที่เพิ่มขึ้นด้วย โดยแต่ละกรณีมีค่าพลังงาน ดังนี้ กรณีที่ 1 พลังงานในการเคลื่อนที่เท่ากับ 71.26 kWh กรณีที่ 2 พลังงานในการเคลื่อนที่เท่ากับ 71.69 kWh กรณีที่ 3 พลังงานในการเคลื่อนที่เท่ากับ 71.99 kWh กรณีที่ 4 พลังงานในการเคลื่อนที่เท่ากับ 71.99 kWh กรณีที่ 5 พลังงานในการเคลื่อนที่เท่ากับ 72.95 kWh ใน การเคลื่อนที่สูงสุด คือ กรณีที่ 6 มีพลังงานในการเคลื่อนที่เท่ากับ 73.12 kWh และต่อไปจะแสดงผลการจำลอง เมื่อพิจารณาพลังงานจากการเบรก



- กรณีที่ 1 ชาร์จทุก ๆ สถานี เมื่อพิจารณาพลังงานจากการเบรก เมื่อรถไฟฟ้าร่างเบาเคลื่อนที่ถึงสถานีสุดท้าย จากรูปที่ 4.27 ระดับประจุของแบตเตอรี่มีค่าเท่ากับ 90.11% และจากรูปที่ 4.28 แรงดันของแบตเตอรี่มีค่าเท่ากับ 479.10 V

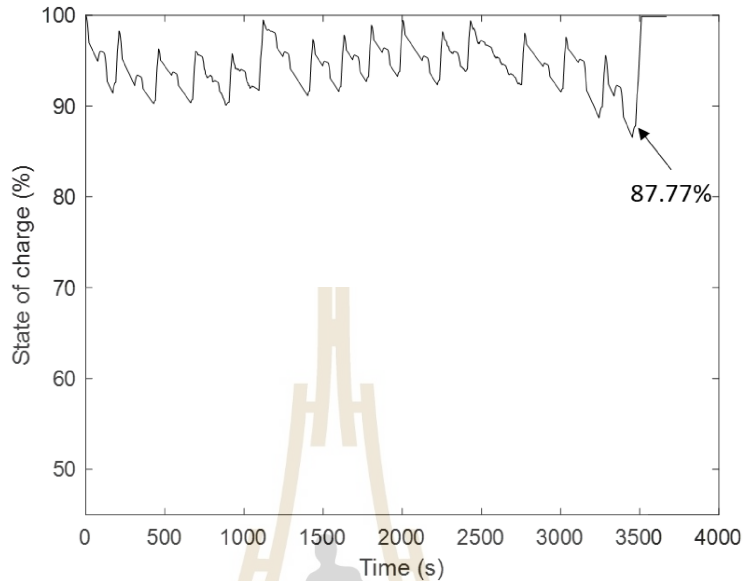


รูปที่ 4.27 ระดับประจุของแบตเตอรี่เทียบกับเวลาของกรณีที่ 1 เมื่อพิจารณาพลังงานจากการเบรก

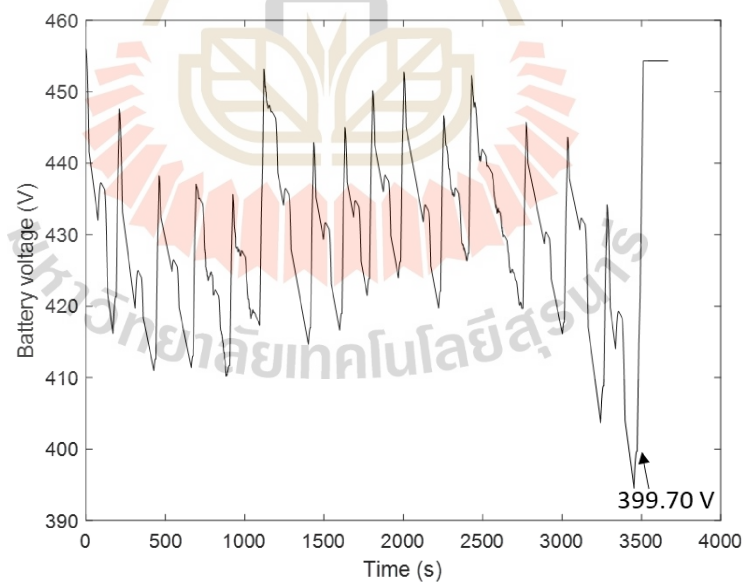


รูปที่ 4.28 แรงดันของแบตเตอรี่เทียบกับเวลาของกรณีที่ 1 เมื่อพิจารณาพลังงานจากการเบรก

- กรณีที่ 2 ชาร์จทุก ๆ 2 สถานี เมื่อพิจารณาพลังงานจากการเบรก



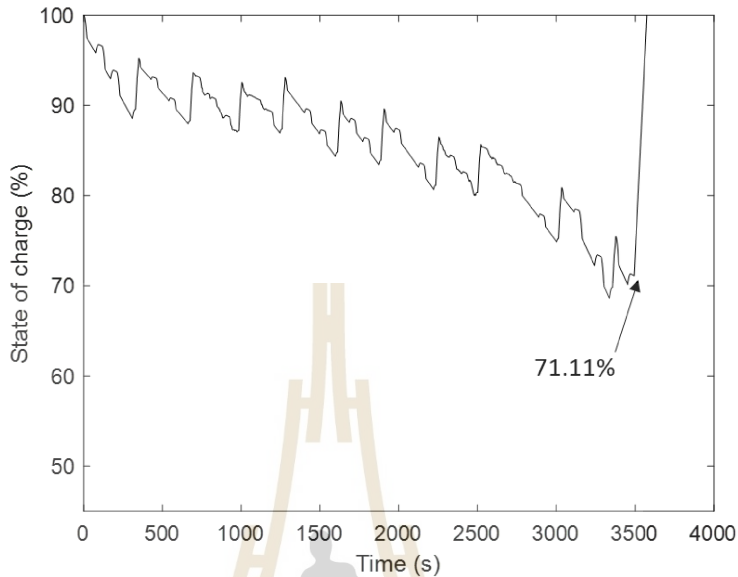
รูปที่ 4.29 ระดับประจุของแบตเตอรี่เทียบกับเวลา กรณีที่ 2 เมื่อพิจารณาพลังงานจากการเบรก



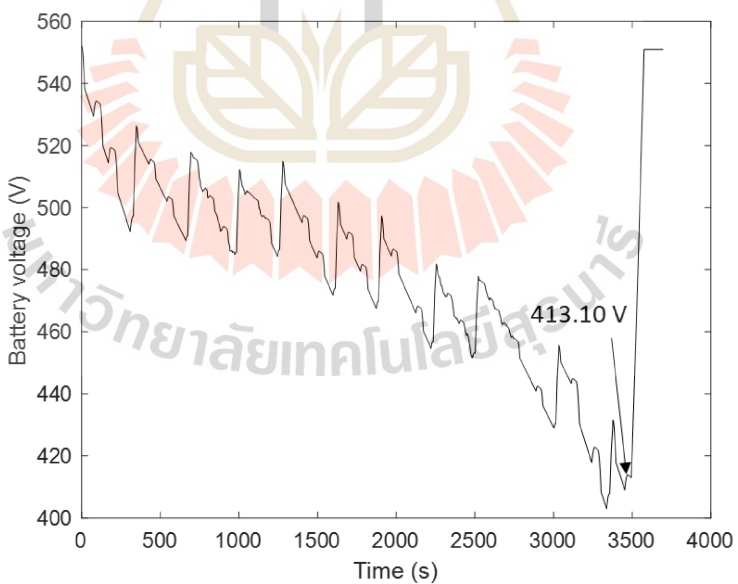
รูปที่ 4.30 แรงดันของแบตเตอรี่เทียบกับเวลา กรณีที่ 2 เมื่อพิจารณาพลังงานจากการเบรก

เมื่อรถไฟฟ้าร่างเบาเคลื่อนที่ถึงสถานีสุดท้าย จากรูปที่ 4.29 ระดับประจุของแบตเตอรี่มีค่าเท่ากับ 87.77% และจากรูปที่ 4.30 แรงดันของแบตเตอรี่มีค่าเท่ากับ 399.70 V

- กรณีที่ 3 ชาร์จทุก ๆ 3 สถานี เมื่อพิจารณาพลังงานจากการเบรก



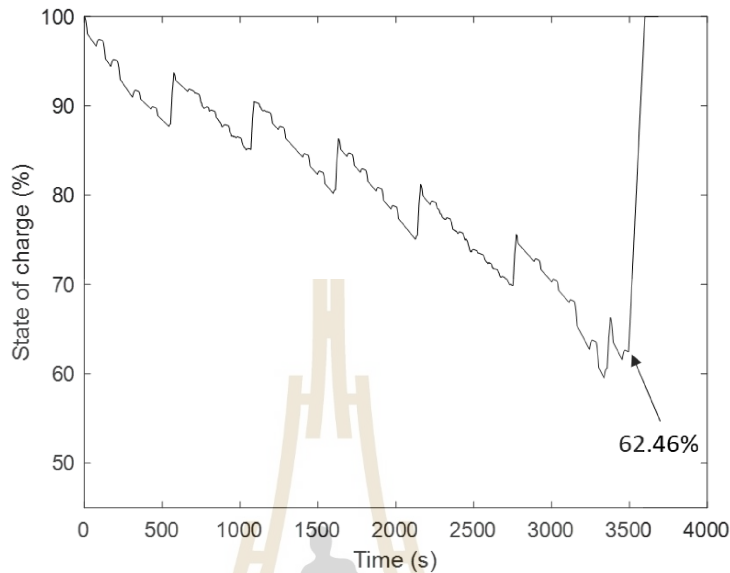
รูปที่ 4.31 ระดับประจุของแบตเตอรี่เทียบกับเวลา กรณีที่ 3 เมื่อพิจารณาพลังงานจากการเบรก



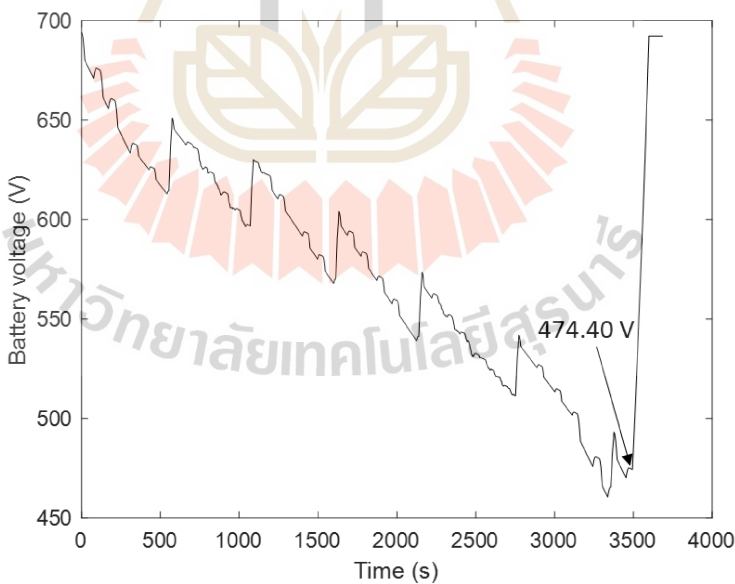
รูปที่ 4.32 แรงดันของแบตเตอรี่เทียบกับเวลา กรณีที่ 3 เมื่อพิจารณาพลังงานจากการเบรก

เมื่อรถไฟฟ้าร่างเบาเคลื่อนที่สักสถานีสุดท้าย จากรูปที่ 4.31 ระดับประจุของแบตเตอรี่มีค่าเท่ากับ 71.11% และจากรูปที่ 4.32 แรงดันของแบตเตอรี่มีค่าเท่ากับ 413.10 V

- กรณีที่ 4 ชาร์จทุก ๆ 5 สถานี เมื่อพิจารณาพลังงานจากการเบรก



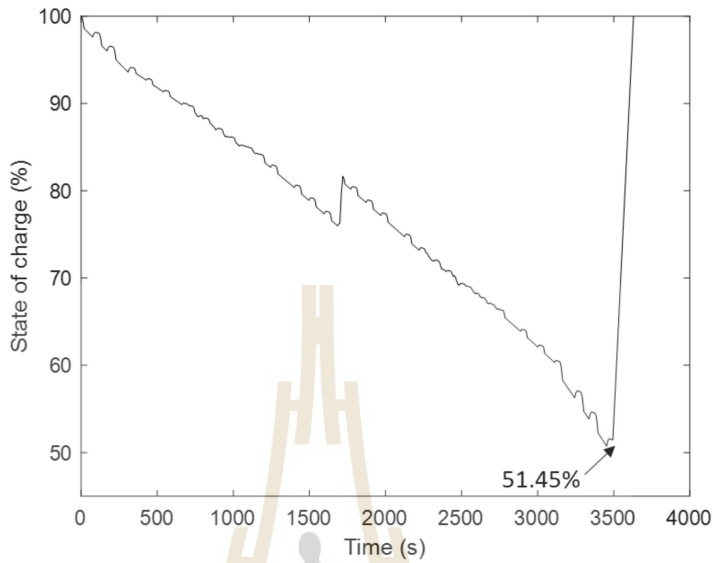
รูปที่ 4.33 ระดับประจุของแบตเตอรี่เทียบกับเวลา กรณีที่ 4 เมื่อพิจารณาพลังงานจากการเบรก



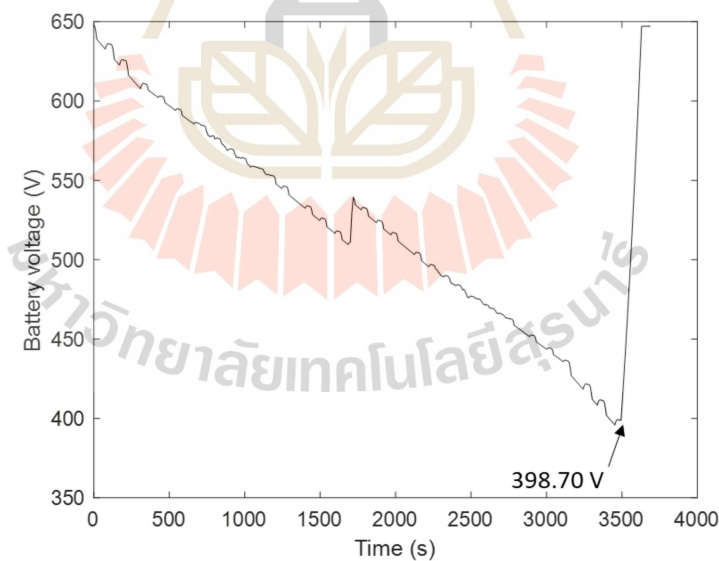
รูปที่ 4.34 แรงดันของแบตเตอรี่เทียบกับเวลา กรณีที่ 4 เมื่อพิจารณาพลังงานจากการเบรก

เมื่อรถไฟฟ้าร่างเบาเคลื่อนที่ถึงสถานีสุดท้าย จากรูปที่ 4.33 ระดับประจุของแบตเตอรี่มีค่าเท่ากับ 62.46% และจากรูปที่ 4.34 แรงดันของแบตเตอรี่มีค่าเท่ากับ 474.40 V

- กรณีที่ 5 ชาร์จทุกที่สถานีปลายทาง เมื่อพิจารณาพลังงานจากการเบรก



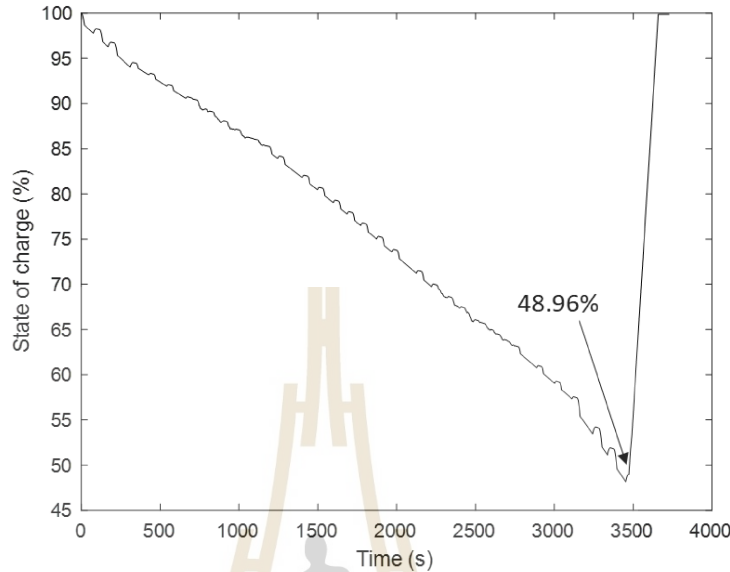
รูปที่ 4.35 ระดับประจุของแบตเตอรี่เทียบกับเวลา กรณีที่ 5 เมื่อพิจารณาพลังงานจากการเบรก



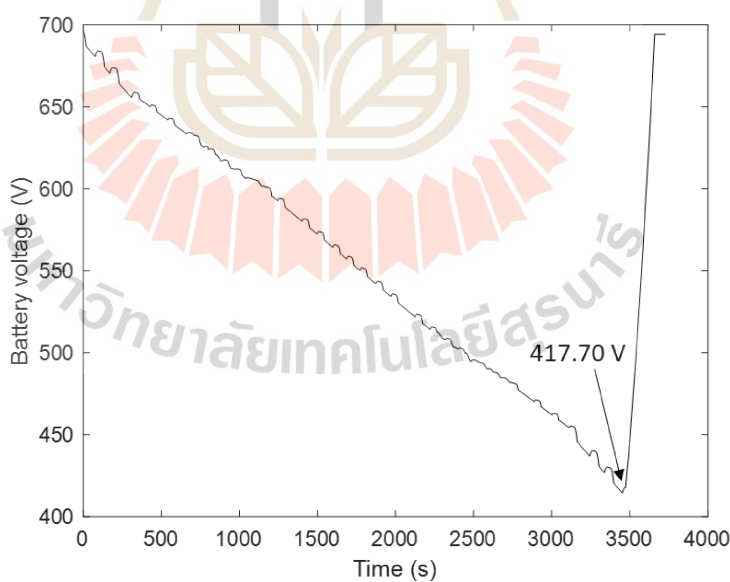
รูปที่ 4.36 แรงดันของแบตเตอรี่เทียบกับเวลา กรณีที่ 5 เมื่อพิจารณาพลังงานจากการเบรก

เมื่อรถไฟฟ้าร่างเบาเคลื่อนที่ถึงสถานีสุดท้าย จากรูปที่ 4.35 ระดับประจุของแบตเตอรี่มีค่าเท่ากับ 51.45% และจากรูปที่ 4.36 แรงดันของแบตเตอรี่มีค่าเท่ากับ 398.70 V

- กรณีที่ 6 ชาร์จทุก ๆ การเดินทางไปกลับ เมื่อพิจารณาพลังงานจากการเบรก



รูปที่ 4.37 ระดับประจุของแบตเตอรี่เทียบกับเวลา กรณีที่ 6 เมื่อพิจารณาพลังงานจากการเบรก



รูปที่ 4.38 แรงดันของแบตเตอรี่เทียบกับเวลา กรณีที่ 6 เมื่อพิจารณาพลังงานจากการเบรก

เมื่อรถไฟฟ้าร่างเบาเคลื่อนที่ถึงสถานีสุดท้าย จากรูปที่ 4.37 ระดับประจุของแบตเตอรี่มีค่าเท่ากับ 48.96% และจากรูปที่ 4.38 แรงดันของแบตเตอรี่มีค่าเท่ากับ 417.70 V

ตารางที่ 4.7 การเปรียบเทียบการประหยัดพลังงานจากการเบรกแบบจ่ายคืนพลังงาน

Case	Recharge energy (kWh)		Regenerative braking Energy (kWh)	Recharge energy saving (%)	State of charge (%)
	Without regenerative braking	With regenerative braking			
1	71.26	57.26	13.99	19.63	90.11
2	71.69	57.56	14.12	19.70	87.77
3	71.99	57.77	14.22	19.75	71.11
4	72.28	57.98	14.31	19.80	62.46
5	72.95	58.44	14.51	19.89	51.45
6	73.12	58.56	14.57	19.93	48.96

จากตารางที่ 4.7 การเปรียบเทียบพลังงานที่ประหยัดได้จากการเบรกแบบจ่ายคืนพลังงาน พบว่า แต่ละกรณีมีพลังงานจากการเบรกที่แตกต่างกัน โดยกรณีที่ 1 มีพลังงานในการชาร์จกลับเข้าแบบเตอร์ลิตลงจาก 71.26 kWh เหลือ 57.26 kWh เนื่องจากมีพลังงานจากการเบรก 13.99 kWh คิดเป็นการประหยัดพลังงานในการชาร์จแบบเตอร์ลิตได้ 19.63% และมีระดับประจุของแบตเตอรี่เพิ่มขึ้นเป็น 90.11% กรณีที่ 2 มีพลังงานในการชาร์จกลับเข้าแบบเตอร์ลิตลงจาก 71.69 kWh เหลือ 57.56 kWh โดยมีพลังงานจากการเบรก 14.12 kWh คิดเป็นการประหยัดพลังงานในการชาร์จแบบเตอร์ลิตได้ 19.70% และมีระดับประจุของแบตเตอรี่เพิ่มขึ้นเป็น 87.77% กรณีที่ 3 มีพลังงานในการชาร์จกลับเข้าแบบเตอร์ลิตลงจาก 71.99 kWh เหลือ 57.77 kWh โดยมีพลังงานจากการเบรก 14.22 kWh คิดเป็นการประหยัดพลังงานในการชาร์จแบบเตอร์ลิตได้ 19.75% และมีระดับประจุของแบตเตอร์รี่เพิ่มขึ้นเป็น 62.46% กรณีที่ 4 มีพลังงานในการชาร์จกลับเข้าแบบเตอร์ลิตลงจาก 72.28 kWh เหลือ 57.98 kWh โดยมีพลังงานจากการเบรก 14.31 kWh คิดเป็นการประหยัดพลังงานในการชาร์จแบบเตอร์ลิตได้ 19.80% และมีระดับประจุของแบตเตอร์รี่เพิ่มขึ้นเป็น 51.45% และกรณีที่ 5 มีพลังงานในการชาร์จกลับเข้าแบบเตอร์ลิตลงจาก 72.95 kWh เหลือ 58.44 kWh โดยมีพลังงานจากการเบรก 14.51 kWh คิดเป็นการประหยัดพลังงานในการชาร์จแบบเตอร์ลิตได้ 19.89% และมีระดับประจุของแบตเตอร์รี่เพิ่มขึ้นเป็น 48.96% กรณีที่ 6 มีพลังงานในการชาร์จกลับเข้าแบบเตอร์ลิตลงจาก 73.12 kWh เหลือ 58.56 kWh โดยมีพลังงานจากการเบรก 14.57 kWh คิดเป็นการประหยัด

พลังงานในการชาร์จแบตเตอรี่ได้ 19.93% ซึ่งประหยัดได้สูงสุดเมื่อเทียบกับทุกรถ และมีระดับประจุของแบตเตอรี่เพิ่มขึ้นเป็น 48.96%

ตารางที่ 4.8 การเปรียบเทียบพลังงานในการเคลื่อนที่และต้นทุนเบื้องต้นในแต่ละกรณี

Case	Energy consumption (kWh)	Battery capacity (kWh)	Battery price (\$)	Charger power (kW)	Chargers price (\$)
1	71.26	36.96	37,144	496.8 (*21)	4,530,556
2	71.69	63.84	64,159	820.8 (*11)	4,099,075
3	71.99	77.28	77,666	1036.8 (*7)	3,294,950
4	72.28	97.44	97,927	1252.8 (*4)	2,275,085
5	72.95	136.08	136,760	1749.6 (*2)	1,235,606
6	73.12	146.16	146,891	1879.2 (*1)	663,566

*จำนวนเครื่องชาร์จรวมทั้งเส้นทาง

การออกแบบแบบตำแหน่งในการชาร์จโดยการคำนึงถึงพลังงานที่ใช้ในการเคลื่อนที่และขนาดของแบตเตอรี่ที่เพียงพอต่อการใช้งานเป็นสิ่งสำคัญ สำหรับต้นทุนการก่อสร้างทั้งหมดเป็นปัจจัยสำคัญที่ต้องมีการพิจารณาในการออกแบบเลือกตำแหน่งที่เหมาะสมในการชาร์จ เช่น กัน วิทยานิพนธ์เล่มนี้ จึงได้นำเสนอการคำนวณต้นทุนเบื้องต้นของแบตเตอรี่และเครื่องชาร์จแบตเตอรี่ในแต่ละกรณี โดยราคาของแบตเตอรี่ประเภท LTO ที่ใช้ในการจำลอง ราคา 1005 \$/kWh และราคาเครื่องชาร์จ 454 \$/kW โดยคิดจากค่าพิกัดสูงสุดของแบตเตอรี่ที่สามารถรองรับกำลังชาร์จได้ (Battery university, 2021) โดยการเปรียบเทียบพลังงานที่ใช้ในการเคลื่อนที่ ราคาของแบตเตอรี่ และราคาเครื่องชาร์จแสดงดังตารางที่ 4.8

เมื่อเปรียบเทียบพลังงานที่ใช้ในการเคลื่อนที่ของรถไฟฟ้า ร่างเบา กับต้นทุนของราคาแบตเตอรี่และเครื่องชาร์จ จะเห็นชัดเจนว่า พลังงานในการเคลื่อนที่ของรถไฟฟ้า ร่างเบา ในแต่ละกรณี มีนัยสำคัญน้อยมาก โดยทุก ๆ กรณี มีค่าประมาณ 71-73 kWh เมื่อเปรียบเทียบกับต้นทุนของราคาแบตเตอรี่และเครื่องชาร์จของแต่ละกรณี จึงสรุปได้ว่า กรณีที่มีความเหมาะสมที่สุด เมื่อพิจารณาจาก

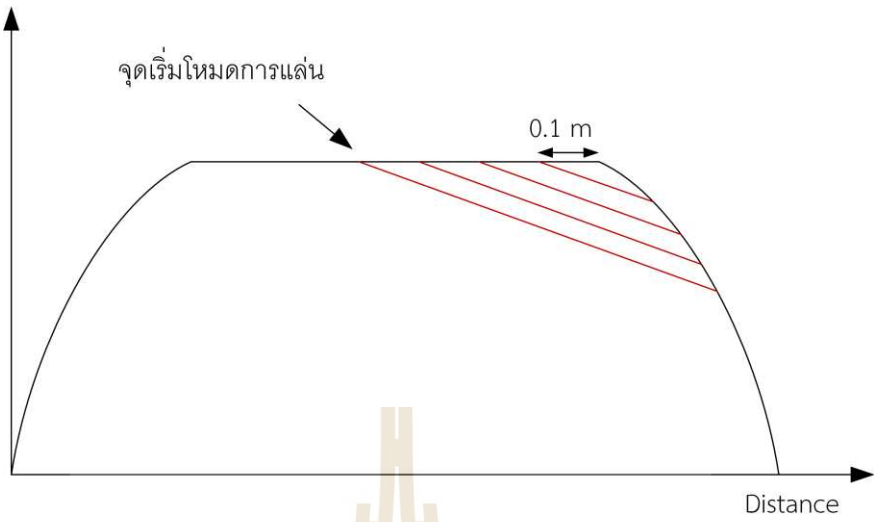
ผล้งงานในการเคลื่อนที่ของรถไฟฟ้าร่างเบา ราคาเบตเตอรี่ และราคาของเครื่องชาร์จ คือ กรณีที่ 6 ชาร์จทุก ๆ การเดินทางไป-กลับ

- **วิเคราะห์และสรุปผลการจำลอง**

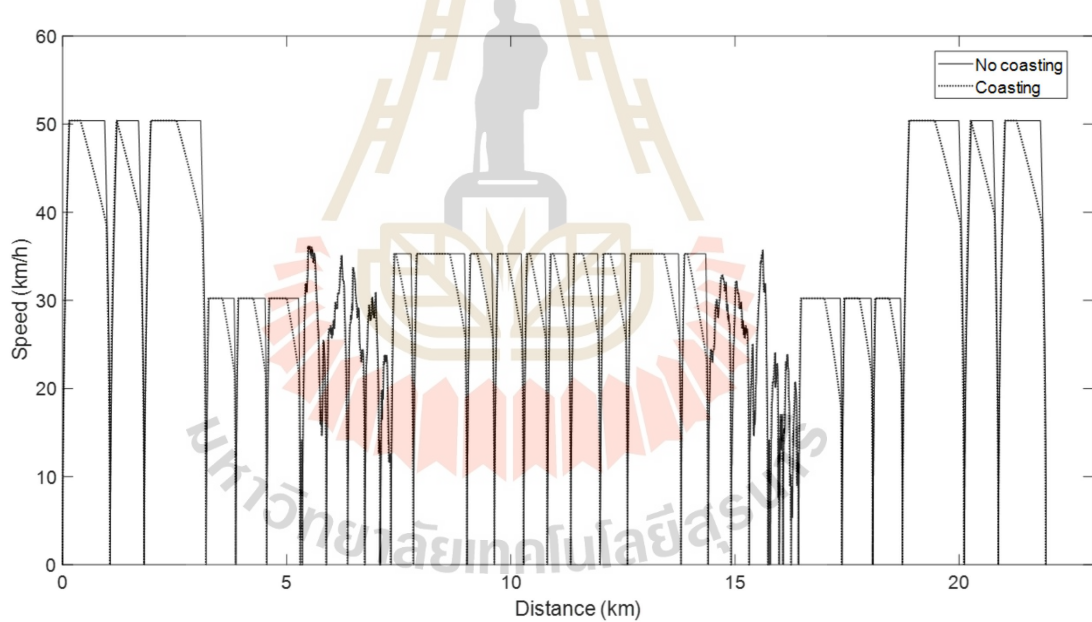
จากการจำลองการเคลื่อนที่ของรถไฟฟ้าร่างเบา โดยใช้เส้นทางจากโครงการ Korat LRT สายสีเขียวทั้ง 6 กรณี พบร่วมผล้งงานที่รถไฟฟ้าร่างเบาใช้ในการเคลื่อนที่ทั้ง 6 กรณีนั้น มีค่าที่ใกล้เคียงกันมากโดยมีค่าประมาณ 71-73 kWh และตำแหน่งในการชาร์จที่แตกต่างกัน ทำให้ต้องใช้เบตเตอรี่ที่มีขนาดต่างกัน โดยยิ่งตำแหน่งชาร์จมีระยะทางที่ไกลมากขึ้น ทำให้ต้องใช้เบตเตอรี่ที่มีขนาดใหญ่ขึ้น และราคาของเบตเตอรี่นั้นขนาดที่ใหญ่ขึ้น ราคาก็ยิ่งสูงมากขึ้น แต่ในทางกลับกันราคาของเครื่องชาร์จเบตเตอรี่มีราคาที่ถูกลง เนื่องจากความถี่ในการติดตั้งเครื่องชาร์จลดลง โดยจะเห็นว่าราคาของเครื่องชาร์จและราคาของเบตเตอรี่นั้นมีราคาที่แตกต่างกันมาก ทำให้เห็นได้อย่างชัดเจนว่า น้ำหนักของเบตเตอรี่ที่ต่างกันในแต่ละกรณีนั้น ส่วนน้อยมากต่อผล้งงานที่ใช้ในการเคลื่อนที่ แต่เมื่อพิจารณาราคาของเบตเตอรี่และเครื่องชาร์จจะเห็นว่ามีความแตกต่างกันอย่างชัดเจน ซึ่งเป็นปัจจัยสำคัญที่ส่งผลในเรื่องของการลงทุนสร้างระบบขนส่งร่างเบาที่มีแหล่งจ่ายเป็นเบตเตอรี่บนชานชาลา เมื่อพิจารณาผล้งงานจากการเบรก พบร่วมการเบรกช่วยให้ประหยัดพล้งงานได้ประมาณ 19-20% สรุปได้ว่า กรณีที่เหมาะสมที่สุด คือ กรณีที่ 6 ชาร์จ ทุก ๆ การเดินทางไป-กลับ ซึ่งจะใช้ในการจำลองผลลัพธ์ ในวิทยานิพนธ์เล่มนี้

4.5.3 การพิจารณาตำแหน่งของ荷重การเคลื่อนที่ด้วยความเฉื่อย

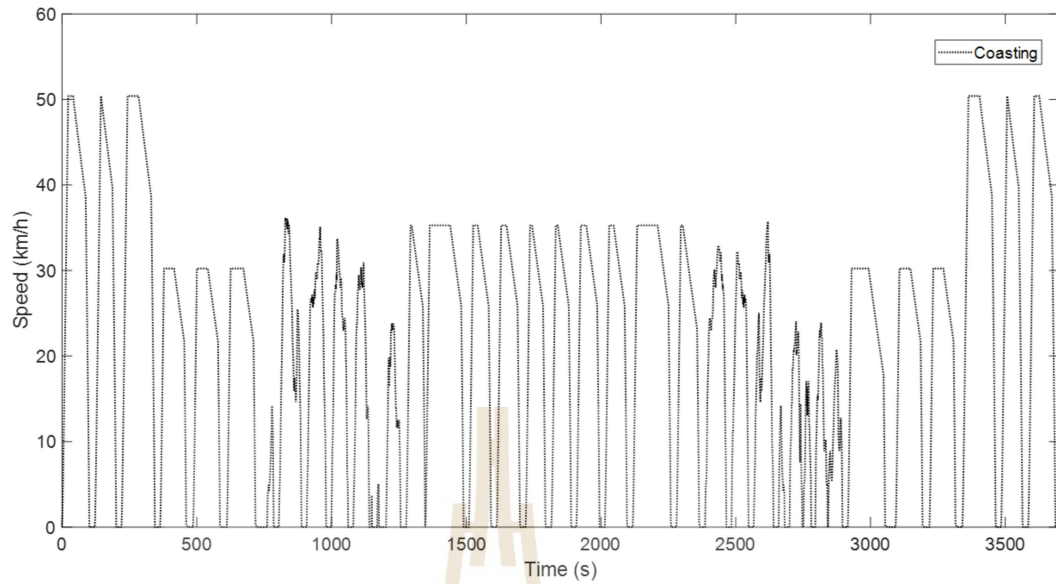
荷重การเคลื่อนที่ด้วยความเฉื่อยเป็นหนึ่งใน荷重การเคลื่อนที่ของรถไฟฟ้าร่างเบา ซึ่งการเพิ่ม荷重การเคลื่อนที่ด้วยความเฉื่อยสามารถช่วยลดพล้งงานในการเคลื่อนที่ได้ โดยสามารถพิจารณาเลือกจุดที่รถไฟฟ้าร่างเบาเริ่ม荷重การเคลื่อนที่ด้วยความเฉื่อยได้จากจุดที่เริ่ม荷重แล้วมีการใช้พล้งงานที่น้อยที่สุด โดยขอบเขต คือ ระยะเวลาในการเคลื่อนที่ของรถไฟฟ้าร่างเบาถูกจำกัดที่ 10% โดยเลื่อนระยะในการเริ่ม荷重การเคลื่อนที่ด้วยความเฉื่อยที่ละ 0.1 เมตร ดังรูปที่ 4.39 โดยผลการจำลอง荷重การเคลื่อนที่ด้วยความเฉื่อยเทียบกับเวลาแสดงดังรูปที่ 4.40 และผลการจำลอง荷重การเคลื่อนที่ด้วยความเฉื่อยเทียบกับเวลาแสดงดังรูปที่ 4.41 โดยมีระยะเวลาในการเคลื่อนที่ 3704 วินาที



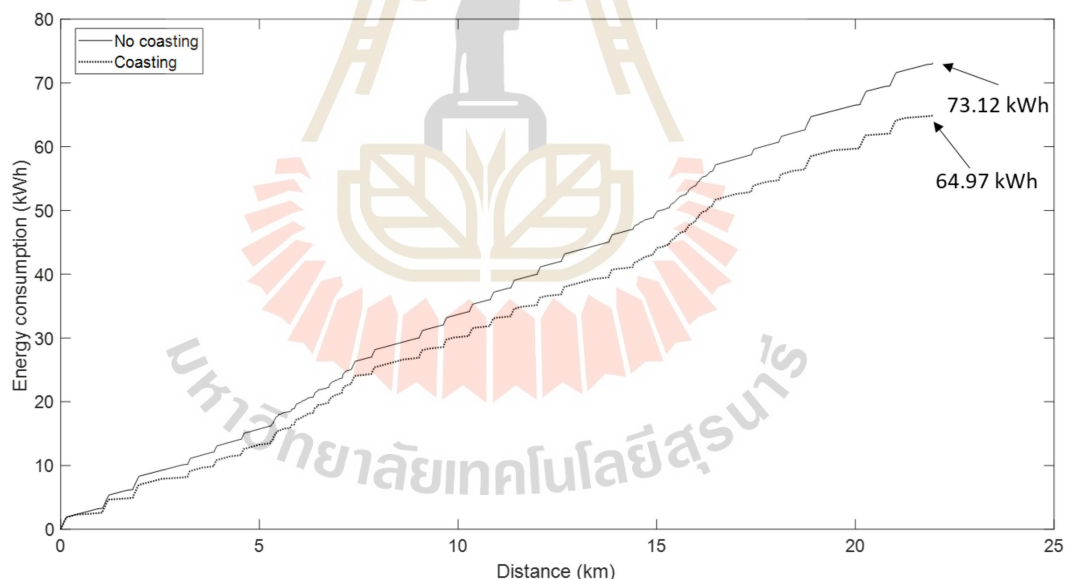
รูปที่ 4.39 ระยะในการเริ่มใหม่ของการเคลื่อนที่ด้วยความเร็วอย่างต่อเนื่อง



รูปที่ 4.40 ลักษณะความเร็วในการเคลื่อนที่เมื่อมีและไม่มีการเคลื่อนที่ด้วยความเร็วอย่างต่อเนื่อง



รูปที่ 4.41 ลักษณะความเร็วในการเคลื่อนที่เมื่อมีโหมดการเคลื่อนที่ด้วยความເเฉືອເຖິງກັບເວລາ



รูปที่ 4.42 พลังงานในการเคลื่อนที่เมื่อมีและไม่มีโหมดการเคลื่อนที่ด้วยความເเฉືອເຖິງກັບປະຍະທາງ

จากรูปที่ 4.42 พลังงานในการเคลื่อนที่เมื่อมีและไม่มีโหมดการเคลื่อนที่ด้วยความເเฉືອເຖິງກັບປະຍະທາງ ຈະเห็นໄດ້ສັດເຈນວ່າพลังงานในการเคลื่อนที่ຂອງรถໄຟຟ້າຮັງເບາມມີຄ່າລດລົງເມື່ອມີໂທມູດການ ການເລືອດລົງຈາກກຣນີ້ທີ່ໄມ່ມີໂທມູດການເລືອດລົງທີ່ດ້ວຍການເຊື່ອຍ ໂດຍລດລົງຈາກກຣນີ້ທີ່ໄມ່ມີໂທມູດການເລືອດລົງທີ່ດ້ວຍການເຊື່ອຍ 73.12 kWh ແລ້ວ 64.97 kWh

ตารางที่ 4.9 การเปรียบเทียบพลังงานในการเคลื่อนที่เมื่อมีและไม่มี荷ดการเคลื่อนที่ด้วยความเร็วอย่างต่อเนื่อง

Case	Energy consumption (kWh)	Saving energy (%)	running time (s)	Delay time (%)	State of charge (%)	Regenerative braking energy (kWh)
No coasting	73.12	-	3494	-	48.96	14.57
Coasting	64.97	11.15	3704	6.01	56.37	13.30

เมื่อเพิ่ม荷ดการแล่นโดยคำนึงถึงจุดเริ่มต้นของ荷ดการแล่นที่ทำให้ได้พลังงานในการเคลื่อนที่น้อยที่สุดของแต่ละสถานี จะได้ผลลัพธ์ดังตารางที่ 4.9 โดย荷ดการแล่นสามารถลดพลังงานในการเคลื่อนที่ได้จาก 73.12 kWh เหลือ 64.97 kWh ซึ่งคิดเป็นการประหยัดพลังงาน 11.34% ซึ่งมีเวลาการเคลื่อนที่เพิ่มขึ้นจาก 3494 วินาที เป็น 3704 วินาที โดยคิดเป็น 6.01% ซึ่งอยู่ในขอบเขตที่กำหนดไว้ และระดับประจุของแบตเตอรี่เมื่อรถไฟฟ้าร่างเบาเคลื่อนที่ถึงสถานีสุดท้ายเพิ่มขึ้นจาก 48.96% เป็น 56.37% แต่พลังงานจากการเบรกลดลงจาก 14.57 kWh เหลือ 13.30 kWh ลักษณะความเร็วในการเคลื่อนที่จะใช้เป็นความเร็วอ้างอิงในการทำการใช้พลังงานที่น้อยที่สุดโดยหาลักษณะความเร็วที่เหมาะสมที่สุดในบทดังไป

4.6 สรุป

ในบทนี้ได้กล่าวถึงการจำลองการเคลื่อนที่ของรถไฟฟ้าร่างเบาที่มีแหล่งจ่ายเป็นแบตเตอรี่ในช่วงรถจากแบบจำลองการเคลื่อนที่ของรถไฟฟ้าร่างเบาและแบบจำลองของแบตเตอรี่ และได้เปรียบเทียบพลังงานในการเคลื่อนที่เมื่อมีตัวแหน่งในการชาร์จที่แตกต่างกัน พบว่า เมื่อตัวแหน่งในการชาร์จใกล้ออกไปทำให้พลังงานในการเคลื่อนที่เพิ่มมากขึ้น เนื่องจากรถไฟฟ้าร่างเบาต้องการแบตเตอรี่ขนาดที่ใหญ่ขึ้นเพื่อให้ได้พลังงานที่เพียงพอต่อการเคลื่อนที่ไปยังตำแหน่งการชาร์จดังไป และนอกจากนี้ การพิจารณาพลังงานจากการเบรก ทำให้พลังงานที่ใช้ในการเคลื่อนที่โดยรวมลดลงอีกด้วย แต่เมื่อพิจารณาถึงต้นทุนของแบตเตอรี่ เครื่องชาร์จ และพลังงานงานในการเคลื่อนที่ของแต่ละกรณี สรุปได้ว่า กรณีที่เหมาะสมที่สุด คือ กรณีที่ 6 ชาร์จทุก ๆ การเคลื่อนที่ไฟ-กลับ และสุดท้าย荷ดการเคลื่อนที่ด้วยความเนื้ยสามารถช่วยลดพลังงานในการเคลื่อนที่ได้ที่เหมาะสมสำหรับลักษณะความเร็วในการเคลื่อนที่เพื่อใช้เป็นความเร็วอ้างอิง หรือกรณีฐาน เพื่อหาลักษณะความเร็วที่เหมาะสมที่ทำให้การใช้พลังงานในการเคลื่อนที่ของรถไฟฟ้าร่างเบาน้อยที่สุด โดยจะกล่าวถึงในบทถัดไป

บทที่ 5

การใช้พลังงานในการเคลื่อนที่ที่น้อยที่สุดด้วยการหาลักษณะความเร็วในการเคลื่อนที่ที่เหมาะสมโดยใช้กำหนดการพลวัต

5.1 บทนำ

ในบทนี้จะกล่าวถึงทฤษฎีของกำหนดการพลวัตหรือ Dynamic programming ที่ใช้ในการหาลักษณะความเร็วในการเคลื่อนที่ของเส้นทาง Korat LRT สายสีเขียว ที่มีลักษณะความเร็วอ้างอิงที่ได้จำลองผลในบทที่ 4 มาหาลักษณะความเร็วในการเคลื่อนที่ที่เหมาะสม ที่ทำให้การใช้พลังงานในการเคลื่อนที่น้อยที่สุด โดยอยู่ภายใต้ขอบเขตความเร็วอ้างอิง และเวลาในการเคลื่อนที่ที่ไม่ส่งผลกระทบต่อประสิทธิภาพของระบบขนส่ง โดยจะเริ่มจากการกำหนดขอบเขตความเร็วสูงสุดและความเร็วต่ำสุดในการเคลื่อนที่ จากนั้นจะเป็นการสร้างตัวเลือกความเร็วเพื่อใช้ในการหาค่าความเร็วที่เหมาะสม และสุดท้ายเป็นวิธีการดำเนินการหาลักษณะความเร็วที่เหมาะสมโดยวิธีกำหนดการพลวัตโดยการคำนวณแบบไปข้างหน้าและแบบย้อนกลับ

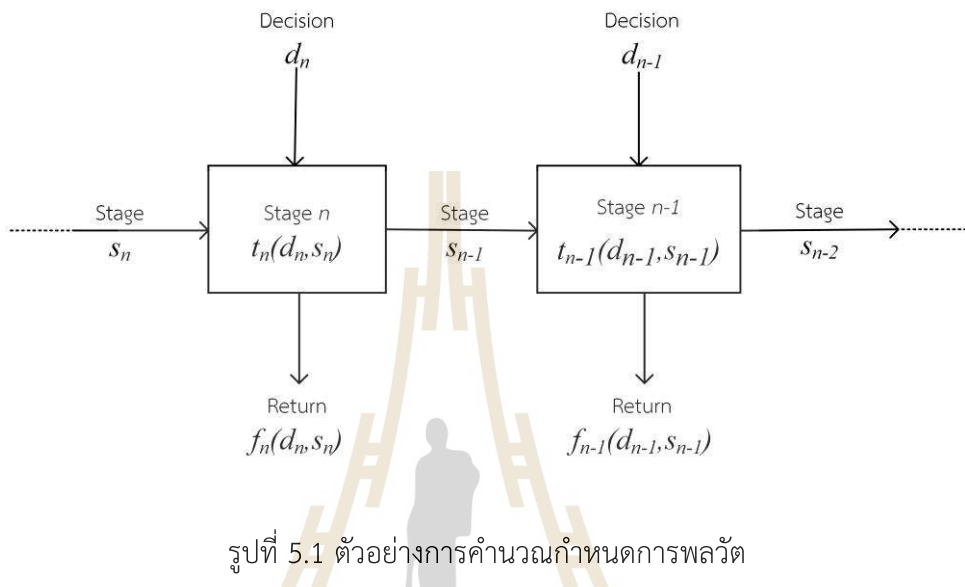
5.2 กำหนดการพลวัต (Dynamic programming)

กำหนดการพลวัตเป็นวิธีการเพิ่มประสิทธิภาพตามหลักการของความเหมาะสมที่สุดที่กำหนดโดย Bellman ในปี 1950 (Réveillac, 2015) โดยเป็นการแบ่งปัญหาที่มีความยุ่งยากและซับซ้อนโดยแยกเป็นปัญหาย่อย หรือเป็นขั้นตอน (stage) โดยแต่ละขั้นตอนมีจำนวนขั้นตอนอื่น ๆ ที่เกี่ยวข้องกัน และจำเป็นต้องมีการตัดสินใจเชิงนโยบายที่มีประสิทธิภาพเพื่อเชื่อมโยงกับขั้นตอนต่อไปขั้นตอนการแก้ปัญหาเป็นกระบวนการที่นำไปสู่การค้นหารายการที่เหมาะสมที่สุดสำหรับปัญหาโดยรวม (กุลวรรณิชพงษ์, 2562)

การเพิ่มประสิทธิภาพแบบเรียกซ้ำ (Recursive Optimization)

ลักษณะทั่วไปในขั้นตอนสุดท้ายของวิธีกำหนดการพลวัต คือ การพัฒนาระบวนการปรับให้เหมาะสมแบบเรียกซ้ำ ซึ่งสร้างขึ้นเพื่อแก้ไขปัญหาในทุก ๆ ขั้นตอน โดยรวมการแก้ปัญหาแบบที่ละขั้นตอนตามลำดับ และรวมแต่ละขั้นตอนนั้น จนพบความเหมาะสมโดยรวม ขั้นตอนนี้อาจขึ้นอยู่กับกระบวนการคำนวณแบบย้อนกลับ โดยขั้นตอนแรกที่จะวิเคราะห์ คือ ขั้นตอนสุดท้ายของปัญหา และปัญหาจะได้รับการแก้ไขทีละขั้นทีละขั้นจนกว่าจะรวมขั้นตอนทั้งหมด อีกวิธีหนึ่ง กระบวนการแบบเรียกซ้ำอาจใช้การคำนวณแบบไปข้างหน้า โดยขั้นตอนแรกที่จะแก้ไข คือ ขั้นตอนเริ่มต้นของปัญหา

และปัญหาจะได้รับการแก้ไขทีละขั้น จนกว่าจะรวมขั้นตอนทั้งหมด พื้นฐานของขั้นตอนการเพิ่มประสิทธิภาพแบบเรียกซ้ำ คือ หลักการที่เรียกว่าความเหมาะสมซึ่งได้รับการระบุไว้แล้ว การตัดสินใจที่เหมาะสมสมก่อนหน้าจะส่งผลต่อการตัดสินใจที่เหมาะสมในปัจจุบัน



รูปที่ 5.1 ตัวอย่างการคำนวณกำหนดการพลวัต

จากรูปที่ 5.1 สมมติว่ามีกระบวนการตัดสินใจแบบหลายขั้นตอนโดยมีฟังก์ชันวัตถุประสีค์ดังสมการที่ (5.1)

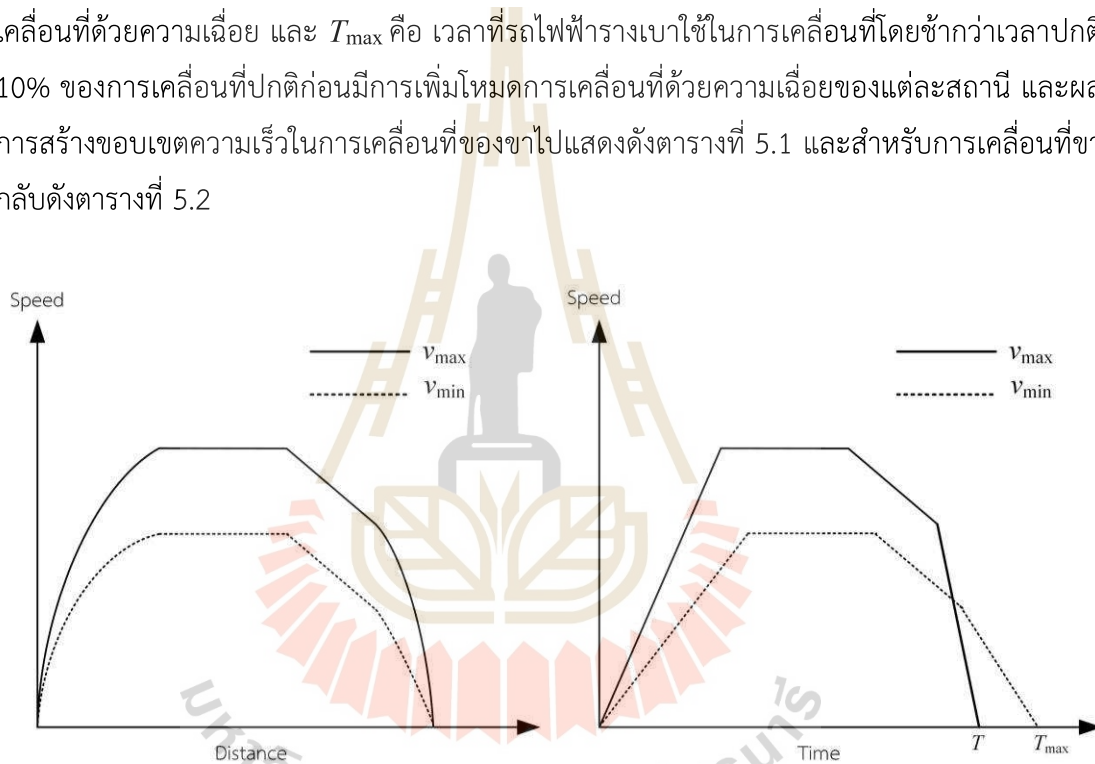
$$f_n(d_n, s_n) \quad (5.1)$$

เมื่อ d_n คือ การตัดสินใจที่ทำให้ฟังก์ชันวัตถุประสีค์มีค่าที่ดีที่สุด สามารถเลือกได้จากเซต D_n ที่เป็นไปได้ ณ ขั้นตอน s_n หรือสามารถเขียนได้ว่า $D_n(s_n)$ สมมติว่าจำนวนขั้นตอนมีทั้งหมด N ขั้นตอน โดยขั้นตอนของกระบวนการมีขั้นตอนที่ต้องดำเนินการอีก n ขั้นตอน ขั้นตอนที่จะตัดสินใจที่ทำให้ส่งผลกับค่าของฟังก์ชันวัตถุประสีค์ที่เหมาะสมถัดไปของกระบวนการขึ้นอยู่กับขั้นตอนการตัดสินใจในปัจจุบัน โดยกำหนดให้ s_n ขั้นตอนของกระบวนการที่มี n ขั้นตอนที่เป็นไปได้ และขั้นตอนถัดไปของกระบวนการ คือ ขั้นตอนที่ $(n - 1)$ ดังนั้น สถานะของขั้นตอนที่เป็นจุดเริ่มต้นในการตัดสินใจของขั้นตอนถัดไปสามารถเขียนแทนด้วยสมการที่ (5.2) (Bertsekas, 2015)

$$s_{n-1} = t_n(d_n, s_n) \quad (5.2)$$

5.3 การสร้างขอบเขตความเร็วในการเคลื่อนที่

เพื่อให้เวลาในการเคลื่อนที่ไม่เกินขอบเขตตามที่กำหนด จึงทำการลดความเร็วและความเร่ง ตามระดับให้อยู่ที่ค่าต่ำสุดที่เวลาในการเคลื่อนที่จะไม่เกินค่าที่กำหนด ในการจำลองนี้ได้ใช้ขอบเขต ความเร็วต่ำสุด โดยกำหนดเวลาในการเคลื่อนที่ไม่เกิน 10% ของเวลาสูงสุดในแต่ละสถานี จะได้ ลักษณะความเร็วในการเคลื่อนที่เมื่อเทียบกับเวลาและเทียบกับระยะทาง ดังรูปที่ 5.2 โดย v_{max} และ v_{min} คือ ความเร็วสูงสุดและความเร็วต่ำสุด ตามลำดับ โดยใช้ลักษณะความเร็วอ้างอิงจากรถนิยมที่มี 荷หนักการเคลื่อนที่ด้วยความเร็ว T คือ เวลาที่รถไฟฟ้าร่างเบาใช้ในการเคลื่อนที่เมื่อมี荷หนักการ เคลื่อนที่ด้วยความเร็ว และ T_{max} คือ เวลาที่รถไฟฟ้าร่างเบาใช้ในการเคลื่อนที่โดยช้ากว่าเวลาปกติ 10% ของการเคลื่อนที่ปกติก่อนมีการเพิ่ม荷หนักการเคลื่อนที่ด้วยความเร็วของแต่ละสถานี และผล การสร้างขอบเขตความเร็วในการเคลื่อนที่ของข้าไปแสดงดังตารางที่ 5.1 และสำหรับการเคลื่อนที่ข้า กลับดังตารางที่ 5.2



รูปที่ 5.2 การสร้างขอบเขตความเร็วในการเคลื่อนที่ข้าไป

ตารางที่ 5.1 ขอบเขตของความเร็วในการเคลื่อนที่ข้าไป

สถานี	v_{max} (km/h)	v_{min} (km/h)
GL-01	-	-
GL-02	50	47
GL-03	50	47
GL-04	30	28
GL-05	30	28

ตารางที่ 5.1 ขอบเขตของความเร็วในการเคลื่อนที่ข้าไป (ต่อ)

สถานี	v_{\max} (km/h)	v_{\min} (km/h)
GL-06	30	28
GL-07	30	28
GL-08	-	-
GL-09	-	-
GL-10	-	-
GL-11	-	-
GL-12	35	34
GL-13	35	34
GL-14	35	34
GL-15	35	34
GL-16	35	34

ตารางที่ 5.2 ขอบเขตของความเร็วในการเคลื่อนที่ขากลับ

สถานี	v_{\max} (km/h)	v_{\min} (km/h)
GL-16	-	-
GL-15	35	34
GL-14	35	34
GL-13	35	34
GL-12	35	34
GL-17	35	34
GL-18	-	-
GL-19	-	-
GL-20	-	-
GL-21	-	-
GL-07	30	28
GL-06	30	28
GL-05	30	28

ตารางที่ 5.2 ขอบเขตของความเร็วในการเคลื่อนที่ขากลับ (ต่อ)

สถานี	v_{\max} (km/h)	v_{\min} (km/h)
GL-04	30	28
GL-03	50	47
GL-02	50	47
GL-01	50	47

5.4 การสร้างระดับความเร็วในขอบเขตความเร็วที่กำหนด

การสร้างตัวเลือกความเร็ว (candidate speed) เพื่อเป็นตัวเลือกในการตัดสินใจในการคำนวณของกำหนดการพลวัต ในงานวิจัยนี้ได้พิจารณาแบ่งระดับความเร็วเริ่มต้นที่ 6, 10, 15, 20, 25 และ 30 ระดับ ตามลำดับ เพื่อใช้ในการเพิ่มประสิทธิภาพลักษณะของความเร็ว โดยมีการแบ่งเป็นการคำนวณ荷慕ดการเคลื่อนที่ต่าง ๆ คือ โหนดเร่งความเร็ว โหนดความเร็วคงที่ โหนดการเคลื่อนที่ด้วยความเฉื่อย และโหนดเบรก ดังนี้

โหนดเร่งความเร็วและโหนดความเร็วคงที่มีความเร็วมากกว่าศูนย์สามารถคำนวณได้ดังสมการต่อไปนี้

$$v^k = \max \{ v_{\max}(s_{i+1}) - \Delta v_d \times (k-1), 0 \} \quad (5.3)$$

โหนดการเคลื่อนที่ด้วยความเฉื่อยและโหนดเบรกที่มีความเร่งเป็นลบสามารถคำนวณได้ดังนี้

$$v^k = \max \{ v_{\min}(s_{i+1}) + \Delta v_d \times (K-k), 0 \} \quad (5.4)$$

โดยที่ $k = 1, 2, \dots, K$

v^k คือ ความเร็วที่ระดับ k (km/h)

ค่าช่วงระดับของความเร็วจาก v_{\max} ถึง v_{\min} จากรูปที่ 5.2 สามารถแบ่งช่วงความเร็วได้ดังสมการต่อไปนี้

$$\Delta v_d = \frac{v_{\max}(s_{i+1}) - v_{\min}(s_{i+1})}{K-1} \quad (5.5)$$

จากสมการที่ (5.3) ถึง (5.5)

Δv_d	คือ ค่าช่วงของระดับความเร็ว (km/h)
K	คือ จำนวนระดับของความเร็ว โดย $K = 6, 10, 15, 20, 25, 30$
s_{i+1}	คือ ตำแหน่งสุดท้ายในการเคลื่อนที่ (m) โดยที่ $i = 1, 2, \dots, n$
v_{\max}	คือ ความเร็วสูงสุด (km/h) จากรูปที่ 5.2
v_{\min}	คือ ความเร็วต่ำ (km/h) จากรูปที่ 5.2
n	คือ ตำแหน่งสุดท้ายในสถานีนั้น ๆ

การคำนวณเวลาในการจำลอง ความเร่ง และพลังงานที่ใช้ในการเคลื่อนที่ สำหรับการคำนวณแบบไปข้างหน้าโดยเริ่มจากการคำนวณในตำแหน่งแรกของสถานีสามารถคำนวณได้ ดังสมการต่อไปนี้

$$T[v^k(s_{i+1})] = T[v^k(s_i)] + dT[v^k(s_{i+1})] \quad (5.6)$$

$$dT[v^k(s_{i+1})] = \begin{cases} \frac{v^k(s_{i+1}) - v^k(s_i)}{a(s_{i+1})}, & 0 < a < 0 \\ \frac{(s_{i+1}) - (s_i)}{v^k(s_{i+1})}, & a = 0 \end{cases} \quad (5.7)$$

$$a(s_{i+1}) = \frac{(v^k(s_{i+1}))^2 - (v^k(s_i))^2}{2 \times ((s_{i+1}) - (s_i))} \quad (5.8)$$

$$E''[v^k(s_{i+1})] = E''[v^k(s_i)] + E''[v^k(s_{i+1})] \quad (5.9)$$

การคำนวณเวลาในการจำลอง ความเร่ง และพลังงานที่ใช้ในการเคลื่อนที่ สำหรับการคำนวณแบบย้อนกลับโดยเริ่มจากการคำนวณในตำแหน่งสุดท้ายของสถานีสามารถคำนวณได้ ดังสมการต่อไปนี้

$$T[v^k(s_{n-1})] = T[v^k(s_n)] + dT[v^k(s_{n-1})] \quad (5.10)$$

$$dT[v^k(s_{n-1})] = \begin{cases} \frac{v^k(s_{n-1}) - v^k(s_n)}{a(s_{n-1})}, & 0 < a < 0 \\ \frac{(s_{n-1}) - (s_i)}{v^k(s_{n-1})}, & a = 0 \end{cases} \quad (5.11)$$

$$a(s_{n-1}) = \frac{(v^k(s_{n-1}))^2 - (v^k(s_n))^2}{2 \times ((s_{n-1}) - (s_n))} \quad (5.12)$$

$$E^n[v^k(s_{n-1})] = E^n[v^k(s_n)] + E^n[v^k(s_{n-1})] \quad (5.13)$$

จากสมการที่ (5.6) ถึง (5.13)

T คือ เวลาที่ใช้ในการเคลื่อนที่สะสมทั้งหมด (s)

dT คือ เวลาที่ใช้ในการเคลื่อนที่ (s)

a คือ ความเร่ง (m/s^2)

E คือ พลังงานที่ใช้ในการเคลื่อนที่ (kWh) โดยคำนวณจากสมการที่ (4.10)

5.5 การหาลักษณะความเร็วที่เหมาะสมด้วยกำหนดการพลวต

การหาลักษณะความเร็วที่เหมาะสมสมด้วยกำหนดการพลวตมีฟังก์ชันวัตถุประสงค์และขอบเขตดังสมการที่ (5.4) และมีขอบเขตเงื่อนไขในการหาลักษณะความเร็วที่เหมาะสมสมด้วยกำหนดการพลวต ดังสมการที่ (5.15), (5.16) และ (5.17) โดยลักษณะความเร็วที่เหมาะสมที่ได้จากการคำนวณจะต้องอยู่ในขอบเขตความเร่งและความหน่วงไม่เกิน $1 m/s^2$ และมีเวลาในการเคลื่อนที่แต่ละสถานีไม่เกิน 10% ของเวลาการเคลื่อนที่ปกติ

$$\min J = \sum_{p=1}^M E_{total}^n \quad (5.14)$$

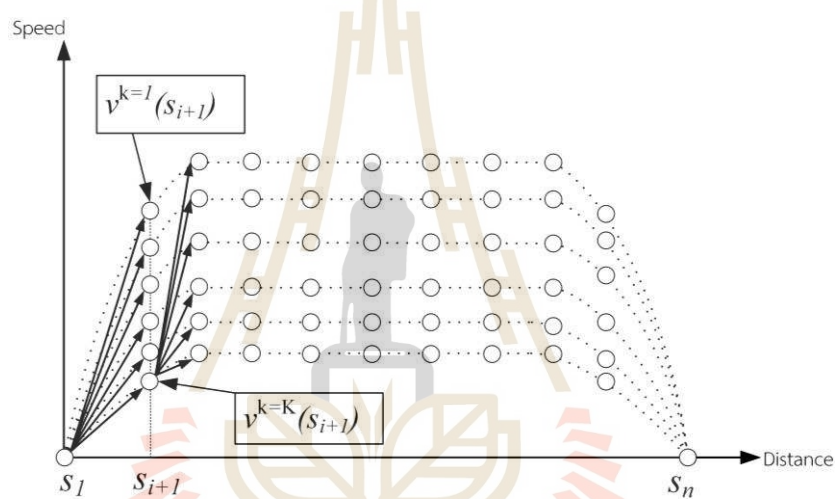
$$|a(s_i)| \leq a_{\max}, \forall i \quad (5.15)$$

$$s_i \in [S^p], p = 1, \dots, M, \forall i \quad (5.16)$$

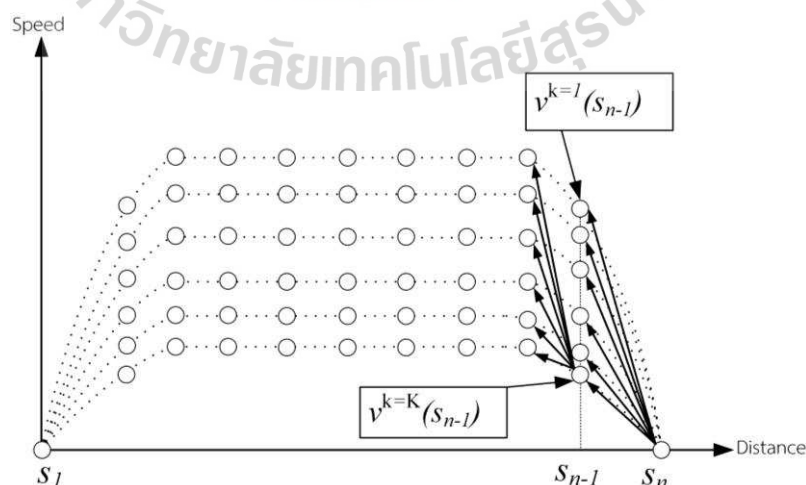
$$T \in T_{\max} \quad (5.17)$$

จากสมการที่ (5.10) ถึง (5.13)

J	คือ พังค์ชันวัตถุประสงค์
a_{\max}	คือ ความเร่งสูงสุด (m/s^2) $1 m/s^2$
T_{\max}	คือ เวลาในการเคลื่อนที่สูงสุด (s)
s	คือ ตำแหน่งในสถานีนั้น ๆ
S	คือ ตำแหน่งในสถานีผู้โดยสารที่ p
p	คือ ตำแหน่งสถานีผู้โดยสาร
M	คือ จำนวนสถานีผู้โดยสารทั้งหมดในการเคลื่อนที่

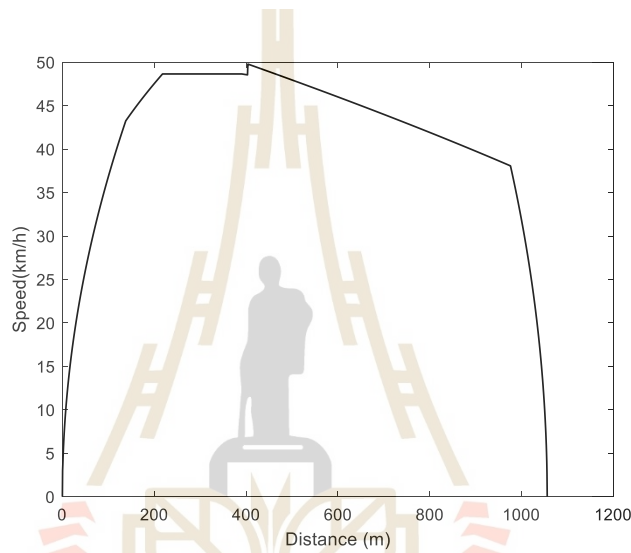


รูปที่ 5.3 การหาลักษณะความเร็วที่เหมาะสมด้วยกำหนดการพลวัต โดยการคำนวณแบบไปข้างหน้า

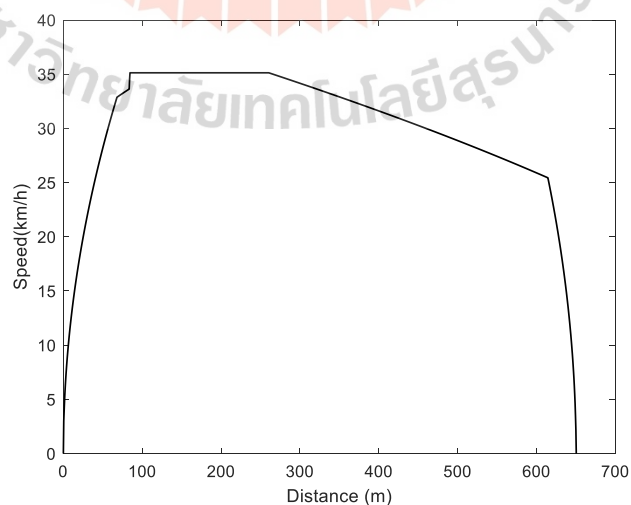


รูปที่ 5.4 การหาลักษณะความเร็วที่เหมาะสมด้วยกำหนดการพลวัต โดยการคำนวณแบบย้อนกลับ

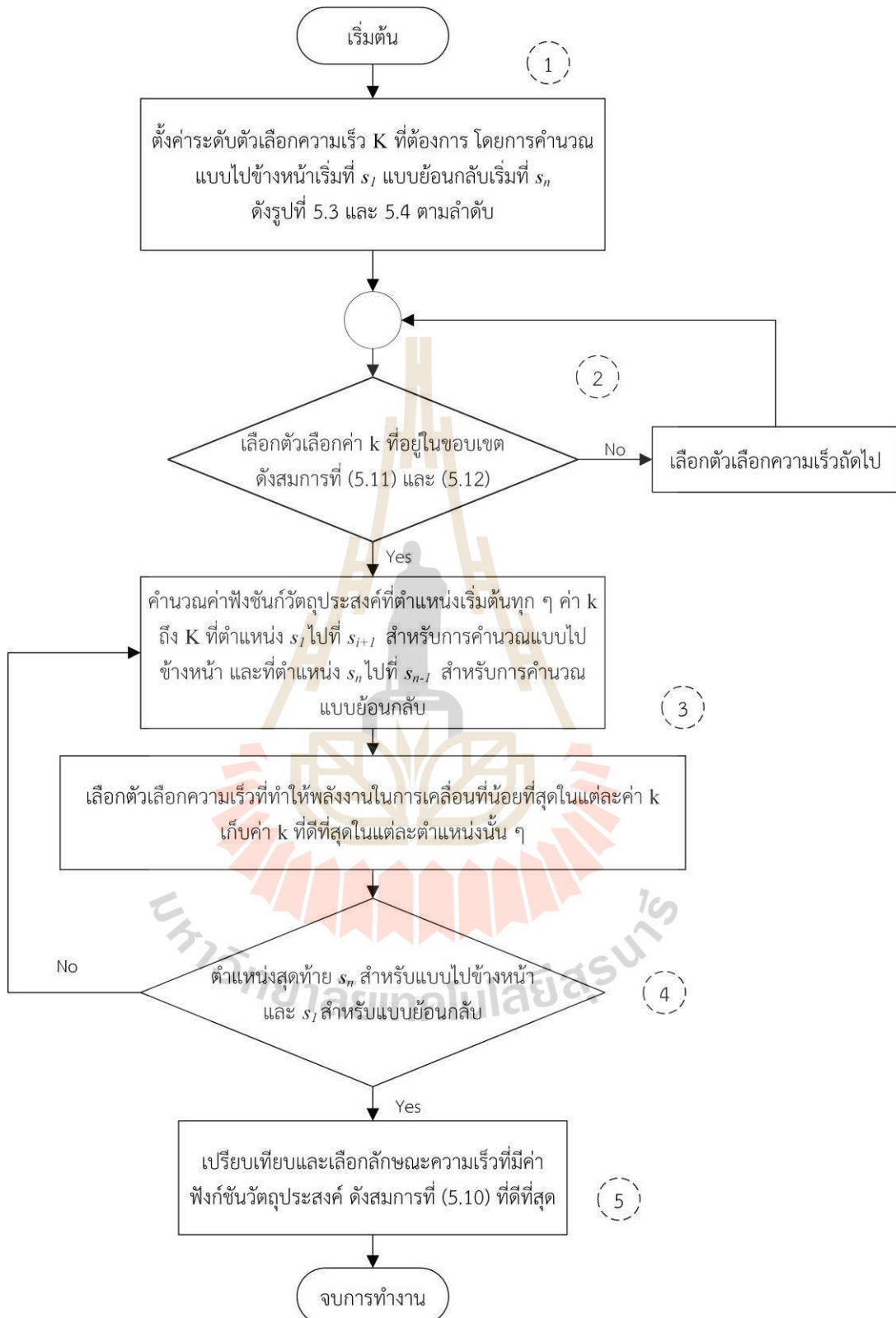
จากรูปที่ 5.3 และ 5.4 การหาลักษณะความเร็วที่เหมาะสมด้วยกำหนดการพลวัต โดยการคำนวณแบบไปข้างหน้าจะเริ่มคำนวณจากตำแหน่งของรถไฟฟารงเบาที่ r_i และถัดไปที่ r_{i+1} และการคำนวณแบบย้อนกลับโดยจะเริ่มคำนวณจากตำแหน่งปลายทางที่สถานีที่ r_n และถัดไปที่ r_{n-1} โดยระดับความเร็วจะขึ้นอยู่กับค่า k ตั้งแต่ 6 จนถึง K ซึ่งจะเลือกค่าความเร็วในแต่ละตำแหน่งที่ทำให้พลังงานในการเคลื่อนที่น้อยที่สุด โดยคำนวณจนกระทั่งถึงตำแหน่งสุดท้าย และเลือกลักษณะความเร็วที่เหมาะสมที่สุดที่ทำให้พลังงานในการเคลื่อนที่น้อยที่สุด โดยตัวอย่างลักษณะความเร็วที่สามารถเป็นไปได้จากการเลือกตัวเลือกความเร็วแสดงดังรูปที่ 5.5 และ 5.6



รูปที่ 5.5 ตัวอย่างลักษณะความเร็วที่สามารถเป็นไปได้ของสถานีที่ 1



รูปที่ 5.6 ตัวอย่างลักษณะความเร็วที่สามารถเป็นไปได้ของสถานีที่ 15



รูปที่ 5.7 แผนผังการหาลักษณะความเร็วที่เหมาะสมโดยกำหนดการพลวัต

จากแผนผังการหารากษณความเร็วที่เนมาระโดยกำหนดการพลวัต ดังรูปที่ 5.7 มีขั้นตอนในการทำงาน ดังนี้

- (1) เริ่มต้นด้วยการกำหนดระดับของตัวเลือกความเร็ว K ที่ต้องการ โดยการคำนวนแบบไปข้างหน้าเริ่มการคำนวนที่ r_1 และการคำนวนแบบย้อนกลับเริ่มที่ r_n ดังรูปที่ 5.3 และ 5.4 ตามลำดับ
- (2) ตรวจสอบเงื่อนไขขอบเขตในการคำนวน จากสมการที่ (5.11) และ (5.12) ถ้าใช้ไปขั้นตอนถัดไป ถ้าไม่ใช่ให้เลือกตัวเลือกความเร็วถัดไปและตรวจสอบเงื่อนไขอีกรั้ง
- (3) เริ่มการคำนวนค่าพังชัน k ที่ r_i ไปที่ r_{i+1} สำหรับการคำนวนแบบไปข้างหน้า และที่ r_n ไปที่ r_{n-1} สำหรับการคำนวนแบบย้อนกลับ และเลือกตัวเลือกความเร็วที่ทำให้พลังงานในการเคลื่อนที่น้อยที่สุดในแต่ละค่า k และเก็บค่า k ที่ดีที่สุด ในแต่ละตำแหน่งนั้น ๆ
- (4) ตรวจสอบเงื่อนไขการหยุดคำนวน เมื่อตำแหน่งสุดท้ายของรถไฟฟ้าร่างเบาะร่องอยู่ที่ r_n สำหรับแบบการคำนวนแบบไปข้างหน้า และ r_1 สำหรับการคำนวนแบบย้อนกลับ
- (5) เปรียบเทียบและเลือกเลักษณ์ความเร็วที่ทำให้มีพลังงานในการเคลื่อนที่น้อยที่สุด และจบการทำงาน

5.6 สรุป

ในบทนี้กล่าวถึงทฤษฎีของการกำหนดพลวัตเบื้องต้น การสร้างขอบเขตความเร็วในการเคลื่อนที่ และการสร้างตัวเลือกความเร็วเพื่อใช้ในการคำนวนกำหนดการพลวัต โดยมีรายละเอียดขั้นตอนในการคำนวน ซึ่งมีการคำนวนสองแบบ คือ การคำนวนแบบไปข้างหน้า และการคำนวนแบบย้อนกลับ โดยผลของการคำนวนแสดงในทั้งสองแบบ

บทที่ 6

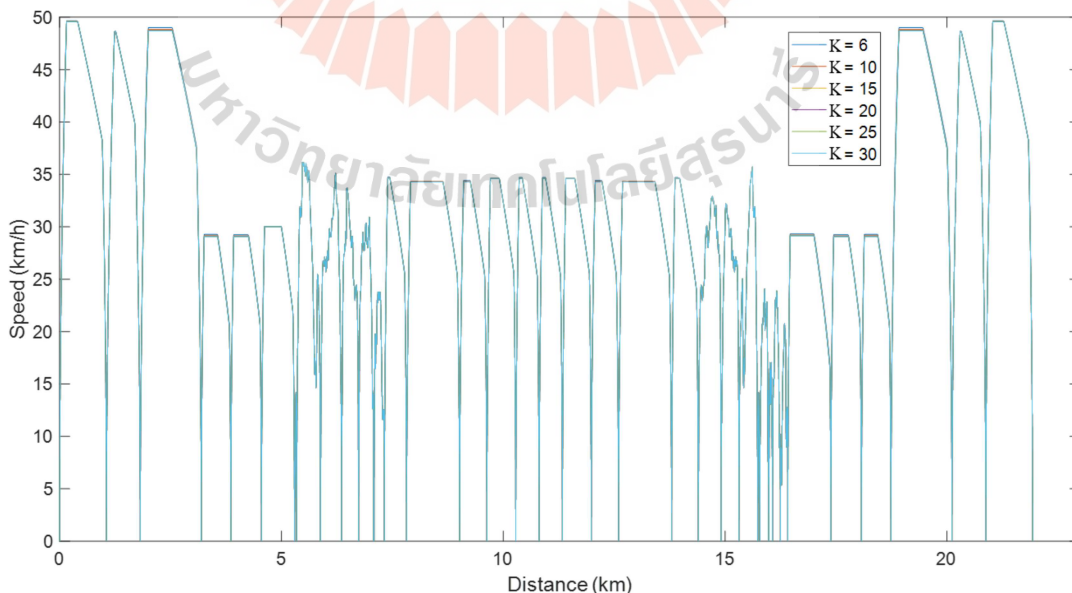
ผลการศึกษาและการวิเคราะห์ผล

6.1 บทนำ

ในบทนี้ได้กล่าวถึงผลการจำลองการหาลักษณะความเร็วที่เหมาะสม เพื่อให้รถไฟฟ้าร่างเบา มีการใช้พลังงานในการเคลื่อนที่น้อยที่สุดด้วยวิธีกำหนดการพlovatt โดยการคำนวณแบบไปข้างหน้า และการคำนวณแบบย้อนกลับ ซึ่งใช้ค่าพารามิเตอร์ของแบตเตอรี่รถที่ 6 ชาร์จทุก ๆ การเดินทางไปกลับ และมีการแบ่งระดับตัวเลือกความเร็วในการเคลื่อนที่ที่มีความละเอียดจาก 6 ระดับ 10 ระดับ 15 ระดับ 20 ระดับ 25 ระดับ และ 30 ระดับ และเปรียบเทียบผลการคำนวณ

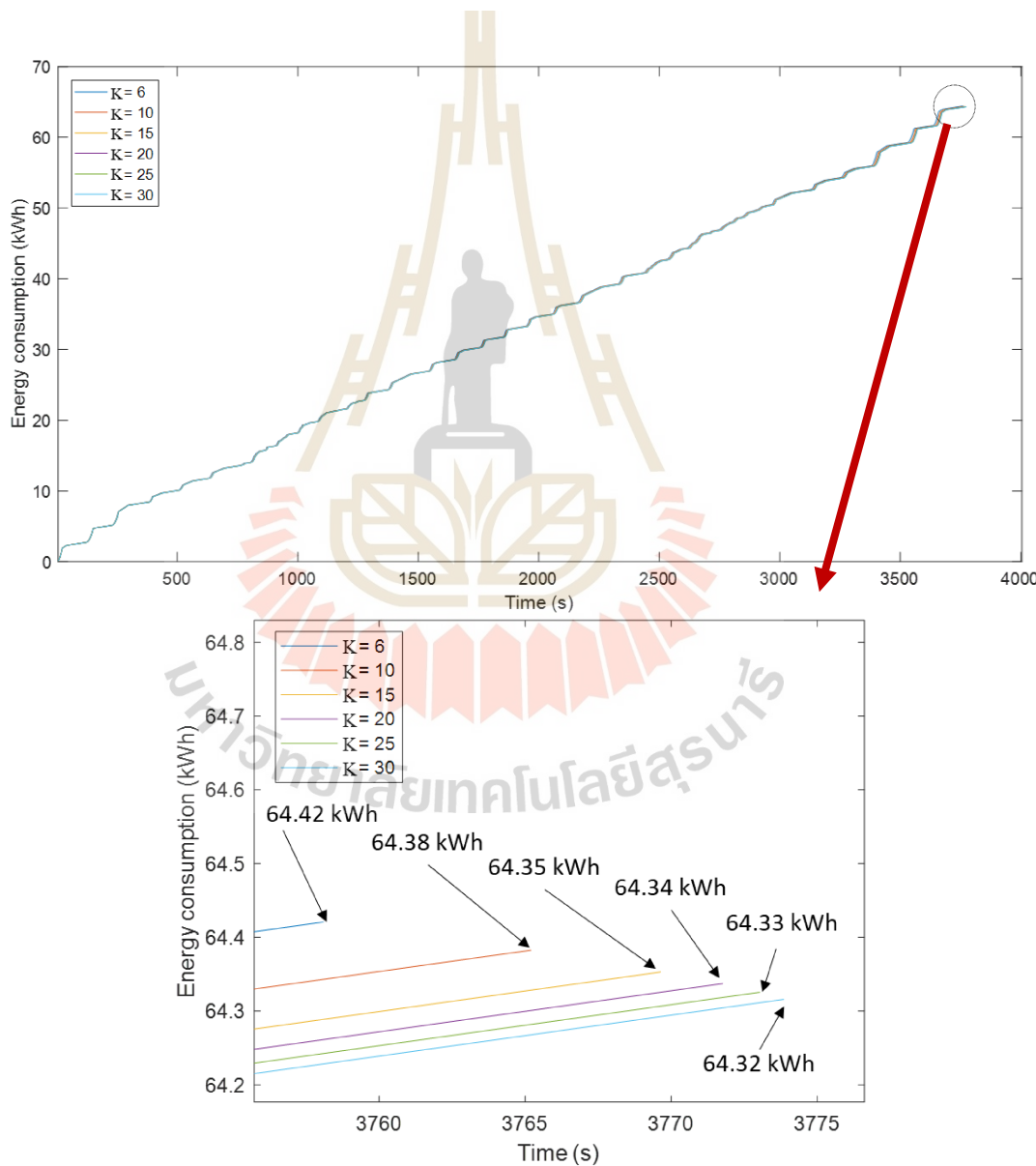
6.2 ผลการจำลองกำหนดการพловัตโดยการคำนวณแบบไปข้างหน้า

ผลการคำนวณแสดงดังรูปที่ 6.1 พบว่าลักษณะความเร็วในการเคลื่อนที่ โดยการคำนวณแบบไปข้างหน้า ลักษณะความเร็วที่เหมาะสมที่ได้จากการคำนวณแสดงความแตกต่างที่น้อยมาก ในแต่ละระดับตัวเลือกความเร็ว K ที่ต่างกัน โดยลักษณะความเร็วมีความเร็วสูงสุดอยู่ที่ประมาณ 47 km/h เมื่อเปรียบเทียบกับกรณีฐานที่มีความเร็วสูงสุด 50 km/h



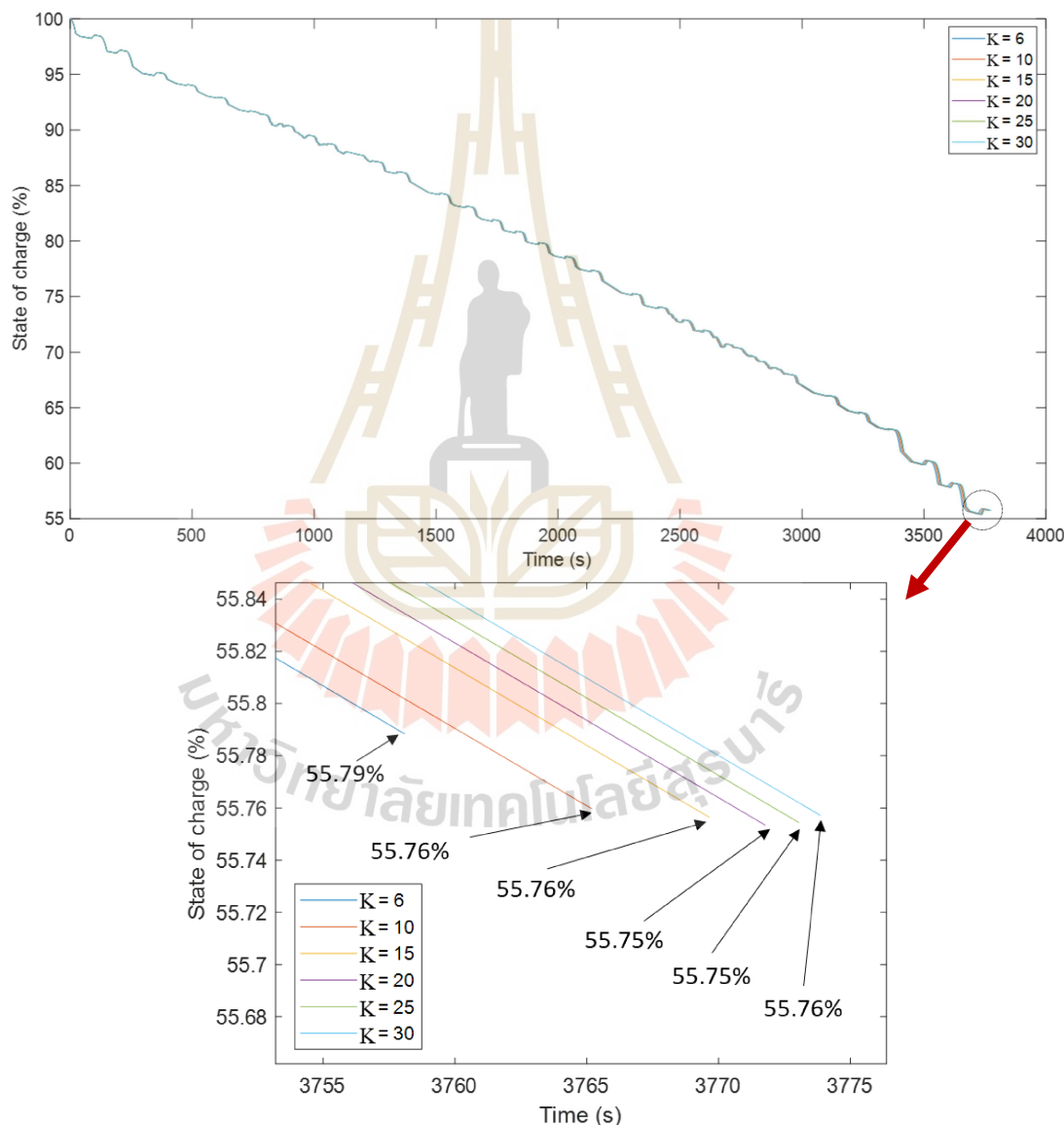
รูปที่ 6.1 ลักษณะความเร็วในการเคลื่อนที่ที่เหมาะสมโดยการคำนวณแบบไปข้างหน้า

จากรูปที่ 6.2 พลังงานในการเคลื่อนที่ของลักษณะความเร็วที่เหมาะสมโดยการคำนวณแบบไปข้างหน้าเทียบกับเวลาในการเคลื่อนที่ พบว่า เมื่อค่า K มีค่าเท่ากับ 6, 10, 15, 20, 25 และ 30 จะมีพลังงานในการเคลื่อนที่ 64.42 kWh , 64.38 kWh , 64.35 kWh , 64.34 kWh , 64.33 kWh และ 64.32 kWh ตามลำดับ โดยพลังงานที่ใช้ในการเคลื่อนที่จะมีค่าลดลงเมื่อค่า K ค่าเพิ่มมากขึ้น ซึ่งพลังงานที่ใช้ในการเคลื่อนที่น้อยที่สุดคือ 64.32 kWh ที่ค่า $K = 30$ และพลังงานที่ใช้ในการเคลื่อนที่มากที่สุด คือ 64.42 kWh ที่ค่า $K = 6$ โดยพลังงานที่เพิ่มมากขึ้นในแต่ละค่า K มีเวลาในการเคลื่อนที่เพิ่มมากขึ้นด้วยเช่นกัน



รูปที่ 6.2 พลังงานในการเคลื่อนที่ของลักษณะความเร็วที่เหมาะสมโดยการคำนวณแบบไปข้างหน้า

จากผลลัพธ์ที่ใช้ในการเคลื่อนที่ทำให้ ระดับประจุของแบตเตอรี่ลดลงจาก 100% ดังนี้ เมื่อ K มีค่าเท่ากับ 6, 10, 15, 20, 25 และ 30 จะมีระดับประจุของแบตเตอรี่เมื่อเคลื่อนที่ถึงสถานีสุดท้าย 55.79%, 55.76%, 55.76%, 55.75%, 55.75% และ 55.76% โดยจะเห็นว่า ที่ค่า K เท่ากับ 10, 15 และ 30 และที่ค่า K เท่ากับ 20 และ 25 มีค่าระดับประจุที่เท่ากันตามลำดับ ซึ่งความแตกต่างของ ระดับประจุไม่สามารถแสดงความแตกต่างในเทคนิคที่มีนัยสำคัญสองตำแหน่งได้ เนื่องจากมีความ แตกต่างกันน้อยมาก ดังรูปที่ 6.3



รูปที่ 6.3 ระดับประจุแบตเตอรี่ของลักษณะความเร็วที่เหมาะสมโดยการคำนวณแบบไปข้างหน้า

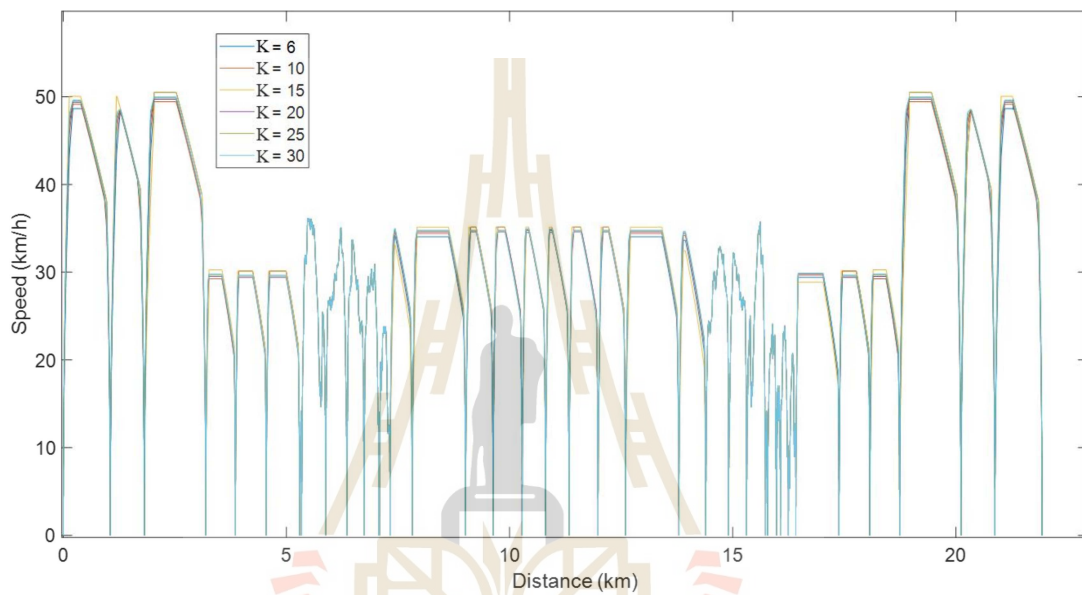
ตารางที่ 6.1 การเปรียบเทียบพลังงานในการเคลื่อนที่ที่น้อยที่สุดโดยการคำนวณแบบไปข้างหน้า

Case	Energy consumption (kWh)	Saving energy (%)	Time (s)	Delay time (%)	Regenerative braking energy (kWh)	State of charge (%)
No coasting	73.12	-	3494	-	14.57	48.96
Coasting	64.97	11.15	3685	6.01	13.30	56.37
K = 6	64.42	11.90	3758	7.56	12.29	55.79
K = 10	64.38	11.96	3765	7.76	12.22	55.76
K = 15	64.35	11.99	3770	7.90	12.19	55.76
K = 20	64.34	12.01	3772	7.96	12.17	55.75
K = 25	64.33	12.02	3773	7.99	12.16	55.75
K = 30	64.32	12.04	3774	8.01	12.15	55.76

จากตารางที่ 6.1 การเปรียบเทียบพลังงานในการเคลื่อนที่ที่น้อยที่สุดโดยการคำนวณแบบไปข้างหน้า เมื่อเปรียบเทียบผลลัพธ์ที่คำนวณได้กับกรณีฐานที่เป็นการเคลื่อนที่ปกติที่ไม่มี荷重การเคลื่อนที่ด้วยความเร็วอย่าง พบร่วมพลังงานในการเคลื่อนที่มีค่าลดลงหลังจากการหาลักษณะความเร็วที่เหมาะสมสมด้วยกำหนดการพลังงานโดยเมื่อค่า K เท่ากับ 6, 10, 15, 20, 25 และ 30 พลังงานจะลดลง 11.90%, 11.96%, 11.99%, 12.01%, 12.02% และ 12.04% ตามลำดับ เวลาในการเคลื่อนที่ของทุก ๆ ลักษณะความเร็วมีค่าไม่เกินที่กำหนด คือ 10% และในทางกลับกันพลังงานที่ได้จากการเบรกมีค่าลดลง เนื่องจากความเร็วในการเคลื่อนที่ลดลง และมีการเพิ่ม荷重การเคลื่อนที่ด้วยความเร็วทำให้แรงในการเบรกลดลง จึงส่งผลให้พลังงานที่เหลือเข้ากลับไปชาร์จแบตเตอรี่ลดลงเช่นกัน ระดับประจุของแบตเตอรี่จึงมีค่าลดลงเมื่อขบวนรถเคลื่อนที่ถึงสถานีสุดท้าย และค่า K ที่มีพลังงานในการเคลื่อนที่น้อยที่สุด คือ 64.32 kWh เมื่อ K เท่ากับ 30

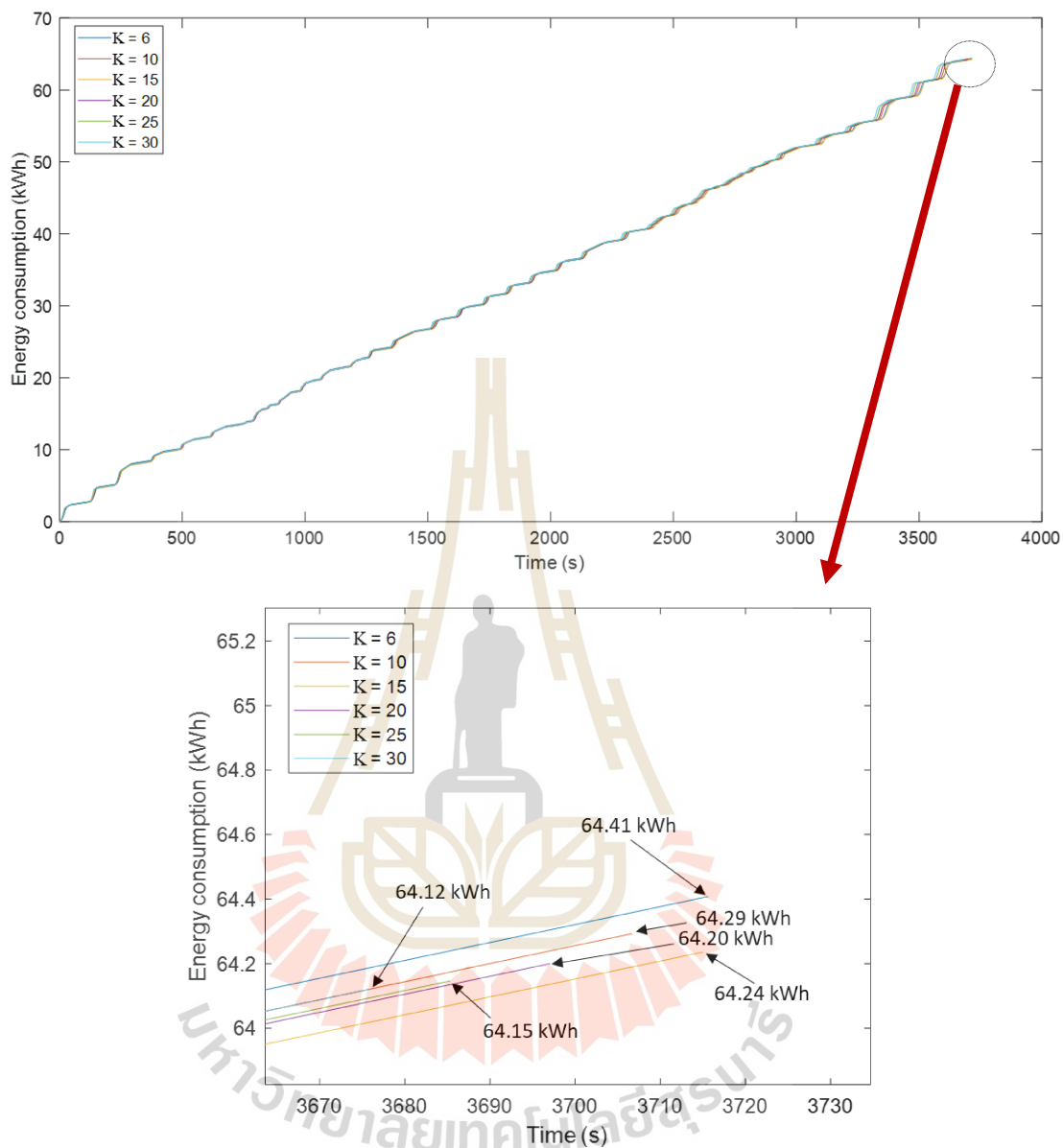
6.3 ผลการจำลองกำหนดการพลวตโดยการคำนวณแบบย้อนกลับ

ผลการคำนวณแสดงดังรูปที่ 6.4 ลักษณะความเร็วในการเคลื่อนที่ที่เหมาะสมเมื่อเทียบกับระยะทางโดยการคำนวณแบบย้อนกลับ พบร่วมกับลักษณะความเร็วที่เหมาะสมที่ได้จากการคำนวณแสดงความแตกต่างกันที่ชัดเจนมากกว่าการคำนวณแบบไปข้างหน้า ในแต่ละระดับตัวเลือกความเร็ว K ที่ต่างกัน โดยลักษณะความเร็วมีความเร็วสูงสุดอยู่ที่ประมาณ 50 km/h

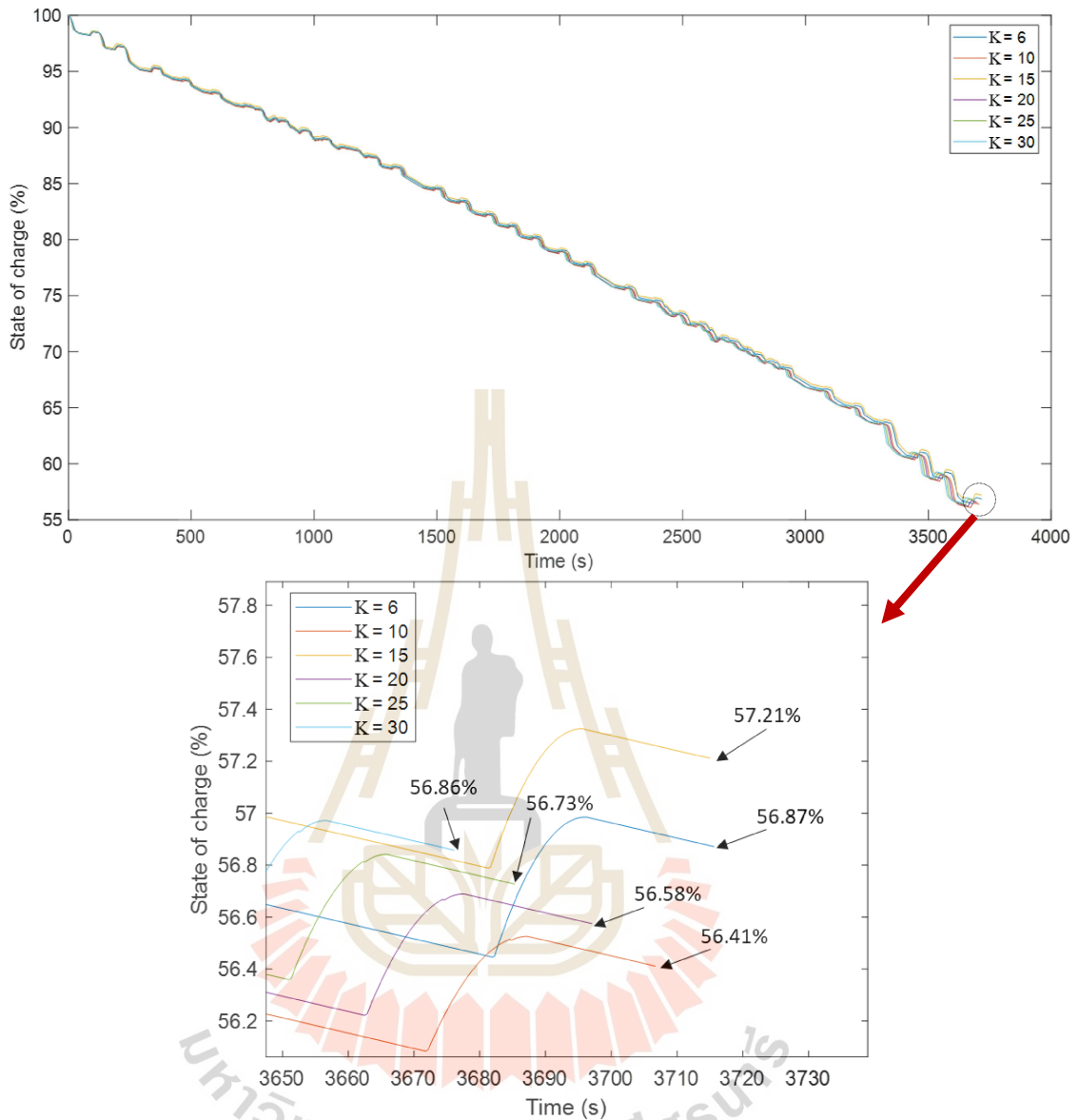


รูปที่ 6.4 ลักษณะความเร็วในการเคลื่อนที่ที่เหมาะสมโดยการคำนวณแบบย้อนกลับ

จากรูปที่ 6.5 พลังงานในการเคลื่อนที่ของลักษณะความเร็วที่เหมาะสมโดยการคำนวณแบบย้อนกลับเทียบกับเวลาในการเคลื่อนที่ พบร่วม เมื่อค่า K มีค่าเท่ากับ 6, 10, 15, 20, 25 และ 30 จะมีพลังงานในการเคลื่อนที่ 64.41 kWh, 64.29 kWh, 64.24 kWh, 64.20 kWh, 64.15 kWh และ 64.12 kWh ตามลำดับ โดยพลังงานที่ใช้ในการเคลื่อนที่จะมีค่าลดลงเมื่อค่า K มีค่าเท่ากับ 6, 10, 15, 20 และ 30 ตามลำดับ ซึ่งพลังงานที่ใช้ในการเคลื่อนที่น้อยที่สุดคือ 64.12 kWh ที่ค่า K = 30



รูปที่ 6.5 พลังงานในการเคลื่อนที่ของลักษณะความเร็วที่เหมาะสมโดยการคำนวณแบบย้อนกลับ



รูปที่ 6.6 ระดับประจุแบตเตอรี่ของลักษณะความเร็วที่เหมาะสมโดยการคำนวณแบบย้อนกลับ

จากรูปที่ 6.6 ซึ่งสอดคล้องกับพัฒนาที่ใช้ในการเคลื่อนที่ ระดับประจุของแบตเตอรี่ลดลงจาก 100% ดังนี้ เมื่อ K มีค่าเท่ากับ 6, 10, 15, 20, 25 และ 30 จะมีระดับประจุของแบตเตอรี่เมื่อเคลื่อนที่ถึงสถานีสุดท้าย 56.87%, 56.41%, 57.21%, 56.58%, 56.73% และ 56.86% โดยระดับประจุของแบตเตอรี่มีค่ามากที่สุด คือ 56.87% เมื่อ K เท่ากับ 6 และระดับประจุของแบตเตอรี่มีค่าน้อยที่สุด คือ 56.21% เมื่อ K เท่ากับ 15

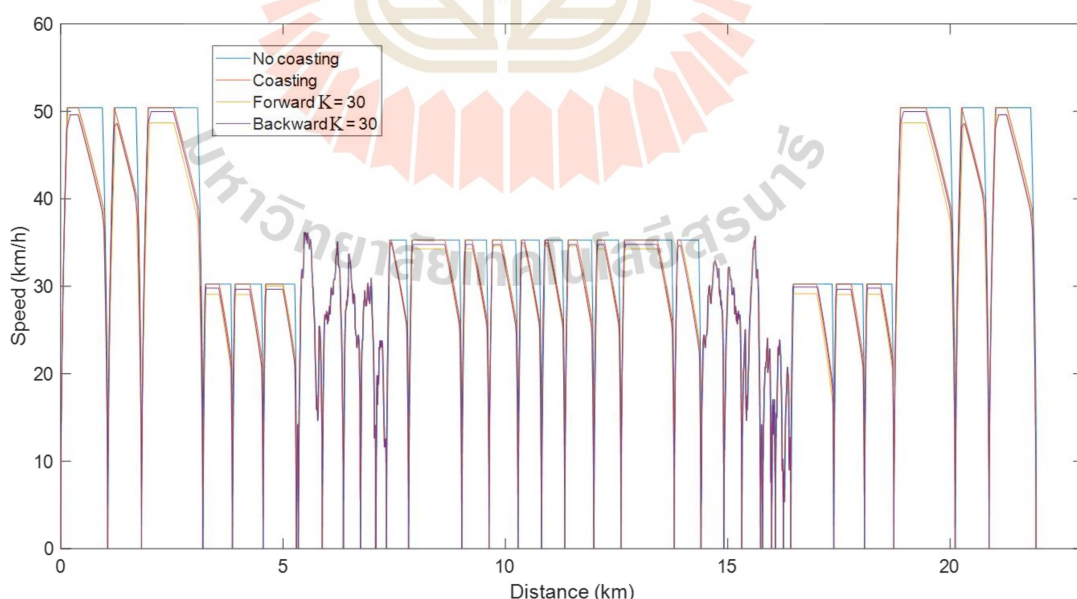
ตารางที่ 6.2 การเปรียบเทียบพลังงานในการเคลื่อนที่ที่น้อยที่สุดโดยการคำนวณแบบย้อนกลับ

Case	Energy consumption (kWh)	Saving energy (%)	Time (s)	Delay time (%)	Regenerative braking energy (kWh)	State of charge (%)
No coasting	73.12	-	3494	-	14.57	48.96
Coasting	64.97	11.15	3685	6.01	13.30	56.37
K = 6	64.41	11.91	3716	6.35	13.26	56.87
K = 10	64.29	12.08	3707	6.10	12.73	56.41
K = 15	64.24	12.14	3750	7.33	13.38	57.21
K = 20	64.20	12.20	3697	5.81	12.81	56.58
K = 25	64.15	12.27	3685	5.47	12.90	56.73
K = 30	64.12	12.31	3676	5.21	13.01	56.86

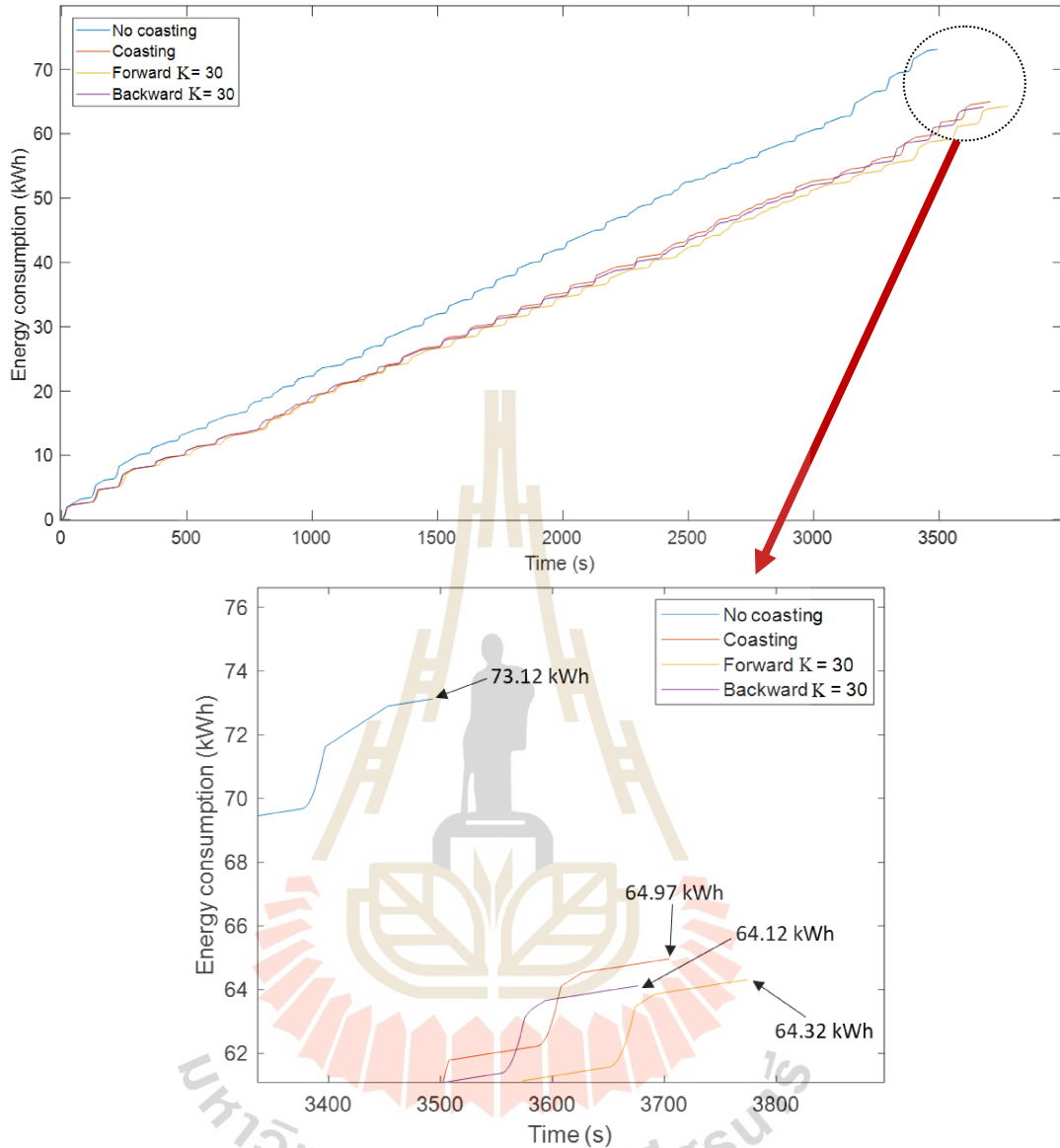
จากตารางที่ 6.2 การเปรียบเทียบพลังงานในการเคลื่อนที่ที่น้อยที่สุดโดยการคำนวณแบบย้อนกลับ เมื่อเปรียบเทียบผลลัพธ์ที่คำนวณได้กับกรณีฐานที่เป็นการเคลื่อนที่ปกติที่ไม่มี荷重การเคลื่อนที่ด้วยความเร็วอย่าง พบร่วมพลังงานในการเคลื่อนที่มีค่าลดลงหลังจากการหาลักษณะความเร็วที่เหมาะสมด้วยกำหนดการพลวตโดยเมื่อค่า K เท่ากับ 6, 10, 15, 20, 25 และ 30 พลังงานจะลดลง 11.91%, 12.08%, 12.14%, 12.20%, 12.27% และ 12.31% ตามลำดับ เวลาในการเคลื่อนที่ของทุก ๆ ลักษณะความเร็วมีค่าไม่เกินที่กำหนด คือ 10% และในทางกลับกันพลังงานที่ได้จากการเบรกมีค่าลดลงจากการณ์ที่มีลักษณะความเร็วแบบปกติ เนื่องจากความเร็วในการเคลื่อนที่ลดลง และมีการเพิ่ม荷重重การเคลื่อนที่ด้วยความเร็วอย่างทำให้แรงในการเบรกลดลง จึงส่งผลให้พลังงานที่เหลือกลับไปชาร์จแบตเตอรี่ลดลงเช่นกัน ระดับประจุของแบตเตอรี่จึงมีค่าลดลงเมื่อขบวนรถเคลื่อนที่ถึงสถานีสุดท้าย โดยค่า K ที่ทำให้มีการประหยัดพลังงานมากที่สุด คือ K เท่ากับ 30

6.4 การเปรียบเทียบผลการคำนวณแบบย้อนกลับและแบบไปข้างหน้า

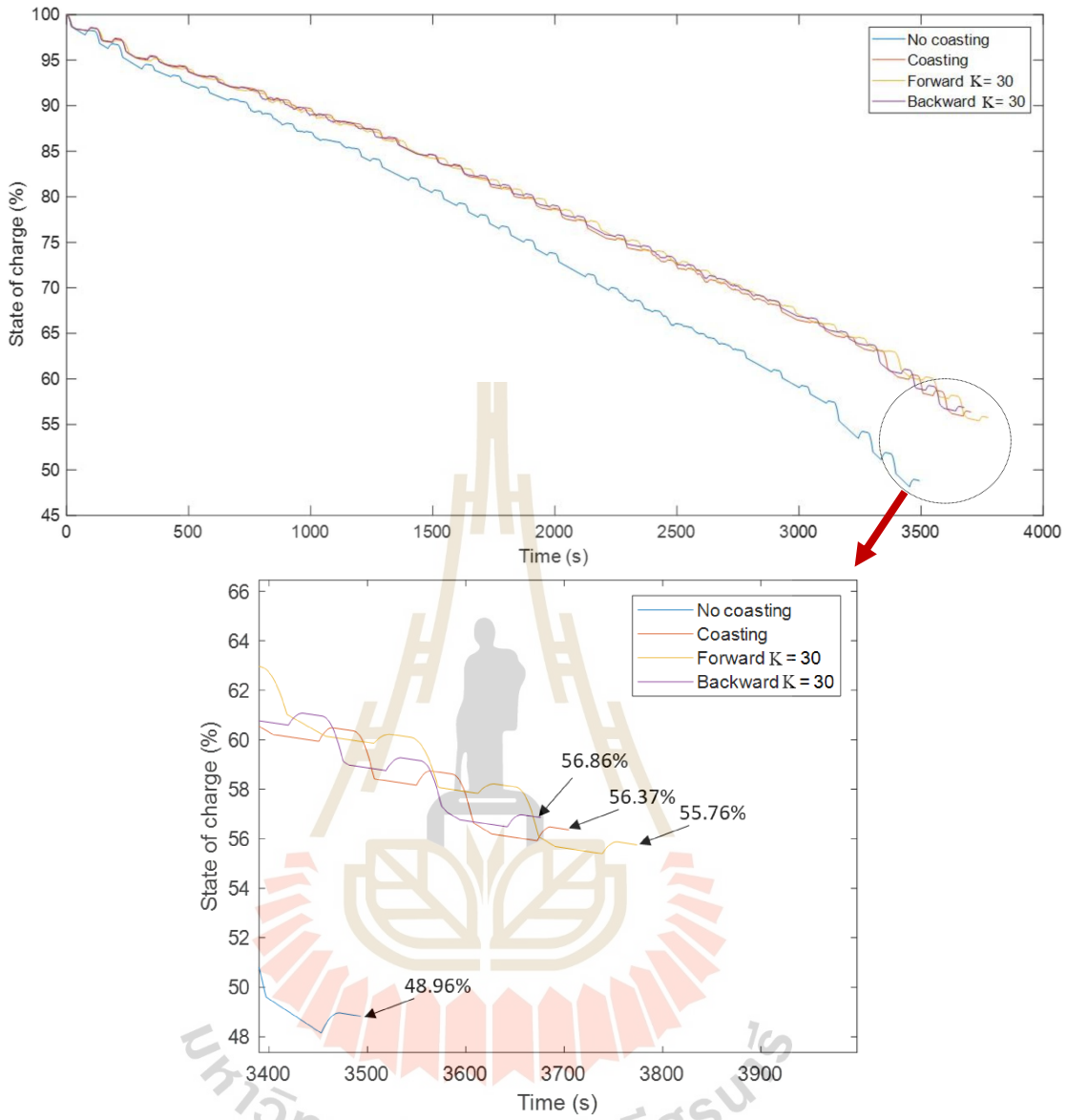
เมื่อเปรียบเทียบลักษณะความเร็วในการเคลื่อนที่ที่เหมาะสมจากการคำนวณกำหนดการพลวัตแบบไปข้างหน้าโดยลักษณะความเร็วที่ทำให้พลังงานในการเคลื่อนที่น้อยที่สุดเมื่อ $K = 30$ และแบบย้อนกลับ เมื่อ $K = 30$ โดยเปรียบเทียบกับลักษณะความเร็วที่มีและไม่มี荷ดการเคลื่อนที่ด้วยความเนื่อย แสดงดังรูปที่ 6.7 โดยจากการคำนวณแบบไปข้างหน้า และแบบย้อนกลับ พบร่วกการคำนวณทั้งสองแบบให้ผลลัพธ์ที่แตกต่างกัน ดังที่ได้กล่าวมาข้างต้น ซึ่งพลังงานหลังจากหักลักษณะความเร็วที่เหมาะสมลดลงจากลักษณะความเร็วที่ไม่มี荷ดการเคลื่อนที่ด้วยความเนื่อยที่มีพลังงานในการเคลื่อนที่ 73.12 kWh และที่มี荷ดการเคลื่อนที่ด้วยความเนื่อยมีพลังงานในการเคลื่อนที่ 64.97 kWh โดยการคำนวณแบบไปข้างหน้าที่มีการใช้พลังงานในการเคลื่อนที่น้อยที่สุด K เท่ากับ 30 คือ 64.32 kWh และการคำนวณแบบย้อนกลับ มีการใช้พลังงานในการเคลื่อนที่น้อยที่สุด ที่ค่า K เท่ากับ 30 โดยมีพลังงานในการเคลื่อนที่ 64.12 kWh ดังรูปที่ 6.8 และระดับประจุของแบตเตอรี่จากการหาค่าลักษณะความเร็วที่เหมาะสมทั้งการคำนวณแบบไปข้างหน้า แบบย้อนกลับ และลักษณะความเร็วที่มีการเพิ่ม荷ดการเคลื่อนที่ด้วยความเนื่อย มีค่าที่ใกล้เคียงกัน โดยมีระดับประจุของแบตเตอรี่อยู่ที่ 55.76% , 56.87% และ 56.37% ตามลำดับ โดยระดับประจุที่มีค่ามากที่สุด คือ ลักษณะความเร็วที่มีการคำนวณแบบย้อนกลับ คือ 56.87% มีค่าเพิ่มขึ้นจากลักษณะความเร็วที่ไม่มี荷ดการเคลื่อนที่ด้วยความเนื่อยจาก 48.96% เพิ่มขึ้น 7.91% ดังรูปที่ 6.9



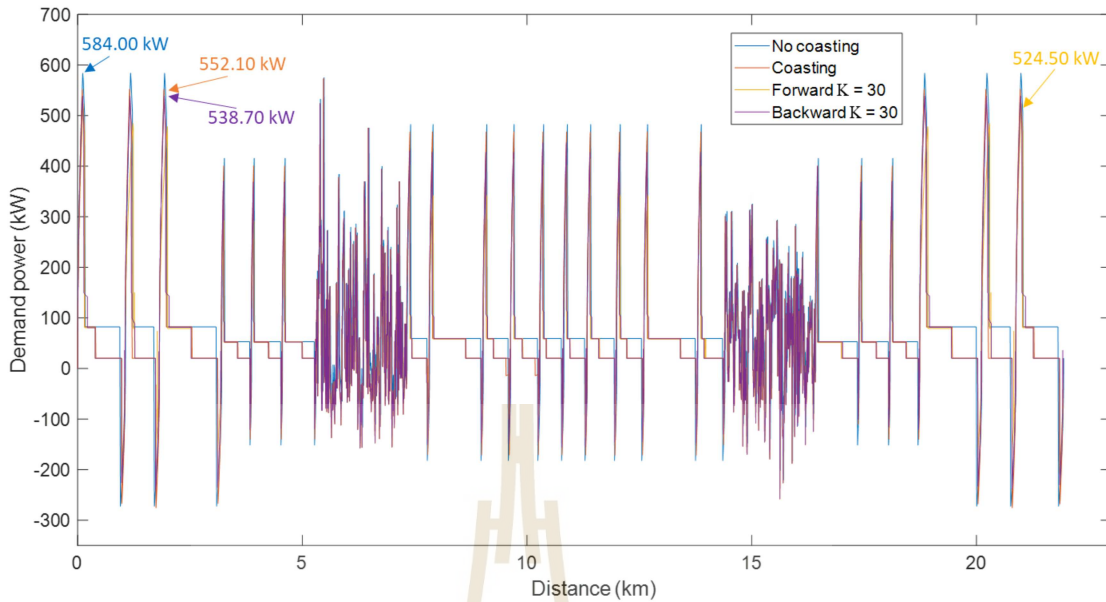
รูปที่ 6.7 ลักษณะความเร็วในการเคลื่อนที่กรณีต่าง ๆ เทียบระหว่าง



รูปที่ 6.8 พลังงานที่ใช้ในการเคลื่อนที่ของลักษณะความเร็วรถต่าง ๆ เทียบกับเวลา



รูปที่ 6.9 ระดับประจุที่ใช้ในการเคลื่อนที่ของลักษณะความเร็วกรณีต่าง ๆ เทียบกับเวลา



รูปที่ 6.10 กำลังไฟฟ้าที่ใช้ในการเคลื่อนที่ของลักษณะความเร็วกรณีต่าง ๆ เทียบกับระยะทาง

จากรูปที่ 6.10 กำลังไฟฟ้าที่ใช้ในการเคลื่อนที่ของลักษณะความเร็วกรณีต่าง ๆ เทียบกับระยะทาง พบร่วมกับลักษณะของกำลังไฟฟ้าที่ใกล้เคียงกัน แต่เมื่อค่ากำลังไฟฟ้าสูงสุดที่ไม่เท่ากัน โดยกำลังไฟฟ้าหลังจากการหาลักษณะความเร็วที่เหมาะสมทั้งการคำนวณแบบไปข้างหน้าและการคำนวณแบบย้อนกลับมีค่ากำลังไฟฟ้าสูงสุดที่น้อยกว่าลักษณะการเคลื่อนที่ที่มีและไม่มีโหมดการเคลื่อนที่ด้วยความเฉื่อย เนื่องจากมีความเร่งขณะอยู่ในโหมดเร่งความเร็วที่น้อยกว่า โดยการคำนวณแบบไปข้างหน้ามีค่ากำลังไฟฟ้าสูงสุด 524.50 kW และการคำนวณแบบย้อนกลับมากกว่าค่ากำลังไฟฟ้าสูงสุด 538.70 kW ซึ่งเป็นค่ากำลังไฟฟ้าที่เกิดขึ้นจากการเร่งความเร็ว ก่อนการเบรกในจากการเคลื่อนที่สถานีที่ 2 เป็นสถานีที่ 3 จากรูปที่ 6.7

6.5 สรุป

การลดการใช้พลังงานในการเคลื่อนที่ให้น้อยที่สุดของระบบขนส่งรถไฟฟ้าร่างเบา เส้นทาง Korat LRT สายสีเขียว ด้วยการหาลักษณะความเร็วในการเคลื่อนที่ที่เหมาะสม โดยใช้กำหนดการพlovatt โดยมีการคำนวณสองแบบเพื่อหาผลลัพธ์ที่ดีกว่า คือ การคำนวณแบบไปข้างหน้า และการคำนวณแบบย้อนกลับ โดยมีการแบ่งระดับตัวเลือกความเร็วให้มีระดับที่แตกต่างกัน คือ 6, 10, 15, 20, 25 และ 30 ระดับ จากผลการคำนวณพบว่า ผลลัพธ์ของการคำนวณที่ดีที่สุด คือ การคำนวณแบบย้อนกลับ โดยสามารถประหยัดได้ 12.31% และเวลาในการเคลื่อนที่ไม่เกิน 10% เมื่อเทียบกับกรณีของลักษณะการเคลื่อนที่ก่อนการเพิ่มโหมดการเคลื่อนที่ด้วยความเฉื่อย

บทที่ 7

สรุปผล และข้อเสนอแนะ

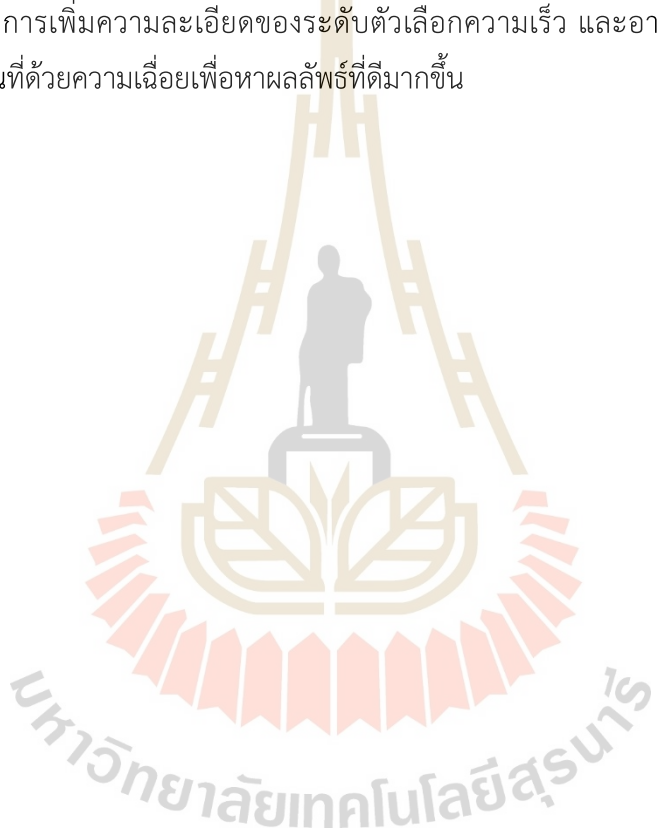
7.1 สรุปผลการดำเนินงาน

วิทยานิพนธ์เล่มนี้นำเสนอการใช้พัลส์งานในการเคลื่อนที่น้อยที่สุดของระบบรถไฟฟ้ารางเบาที่มีแหล่งพลังงานเป็นแบตเตอรี่บนขบวนรถ ด้วยการหาลักษณะความเร็วที่เหมาะสมที่สุด คำนวณโดยใช้วิธีกำหนดการพลวัต โดยใช้โปรแกรม MATLAB ในการจำลองผล ได้เริ่มต้นด้วยการหากรถไฟฟ้า ซึ่งใช้แบบจำลองการเคลื่อนที่ของรถไฟฟ้ารางเบา เส้นทาง Korat LRT สายสีเขียวในการจำลองซึ่งได้ศึกษาผลกระทบของตำแหน่งในการชาร์จที่มีผลต่อการใช้พลังงานที่รถไฟฟ้ารางเบาใช้ในการเคลื่อนที่โดยแบ่งเป็น 6 กรณี ได้แก่ การชาร์จทุก ๆ 1 สถานี การชาร์จทุก ๆ 2 สถานี การชาร์จทุก ๆ 3 สถานี การชาร์จทุก ๆ 5 สถานี การชาร์จที่สถานีปลายทาง และการชาร์จทุก ๆ การเคลื่อนที่ไปกลับ และได้เปรียบเทียบพลังงานที่ชาร์จแบตเตอรี่ด้วยพลังงานจากการเบรก โดยจากผลการจำลองพบว่า เมื่อตำแหน่งในการชาร์จใกล้อกไป ทำให้พลังงานที่ใช้ในการเคลื่อนที่เพิ่มมากขึ้น โดยการชาร์จกรณีที่ 6 หรือการชาร์จที่สถานีต้นทางเมื่อเคลื่อนที่เดินทางไป-กลับ มีพลังงานที่ใช้ในการเคลื่อนที่และพลังงานจากการเบรกมากที่สุด เนื่องจากการที่ตำแหน่งในการชาร์จห่างไกลออกไป ทำให้ต้องใช้แบตเตอรี่ที่มีขนาดใหญ่ จึงทำให้น้ำหนักโดยรวมของรถไฟฟ้ารางเบาเพิ่มขึ้น แต่ในทางกลับกัน เมื่อพิจารณาถึงต้นทุนของแบตเตอรี่และเครื่องชาร์จในแต่ละสถานีทั้งเส้นทางข้าไปและขากลับ กรณีที่ 6 มีต้นทุนที่ต่ำที่สุด และเมื่อพิจารณาถึงปัจจัยด้านต้นทุนและด้านพลังงานในการเคลื่อนที่ พบร้า กรณีที่ 6 เป็นกรณีที่มีความคุ้มค่ามากที่สุด เมื่อพิจารณาเพียงสองปัจจัยนี้ และได้เลือกกรณีที่ 6 เป็นกรณีฐานสำหรับการหากรถไฟฟ้าใช้พลังงานในการเคลื่อนที่น้อยที่สุด และได้มีการเพิ่ม荷载การเคลื่อนที่ด้วยความเร็วที่ทำให้พลังงานในการเคลื่อนที่ของขบวนรถลดลง

การหาลักษณะความเร็วในการเคลื่อนที่ที่เหมาะสม โดยใช้วิธีกำหนดการพลวัต โดยคำนวณทั้งสองกรณี คือ การคำนวณแบบไปข้างหน้า และการคำนวณแบบย้อนกลับ มีการสร้างตัวเลือกความเร็วที่ใช้ในการตัดสินใจในขั้นตอนของกำหนดการพลวัตที่สร้างจากขอบเขตความเร็วโดยใช้ลักษณะการเคลื่อนที่ไม่เหมือนการเคลื่อนที่ด้วยความเร็วที่เป็นลักษณะความเร็วข้างอิง และใช้ขอบเขตเวลาในการเคลื่อนที่ของลักษณะความเร็วที่ไม่มี荷载การเคลื่อนที่ด้วยความเร็ว จากผลการคำนวณพบว่า ลักษณะความเร็วในการเคลื่อนที่ที่เหมาะสมที่ทำให้การใช้พลังงานในการเคลื่อนที่น้อยที่สุด คือ การคำนวณแบบย้อนกลับ โดยสามารถประยุกต์พลังงานได้ 12.31%

7.2 ข้อเสนอแนะ

วิทยานิพนธ์เล่มนี้มีการจำลองการเคลื่อนที่ของรถไฟฟ้ารางเบาเพียง 1 ขบวน ซึ่งในความเป็นจริง ระบบขนส่งมวลชนมีการให้บริการของรถไฟฟ้ารางเบาที่มากกว่า 1 ขบวน และอาจมีช่วงเวลาที่ขบวนรถจอดที่สถานีเดียวกันเพื่อชาร์จแบตเตอรี่ จึงอาจต้องคำนึงถึงจำนวนของเครื่องชาร์จและแบตเตอรี่ในการคำนวนเรื่องต้นทุน และอาจต้องพิจารณาผลกระทบของเวลาในการให้บริการเมื่อทำลักษณะความเร็วที่เหมาะสม ดังนั้น การสร้างแบบจำลองการเคลื่อนที่ของรถไฟฟ้ารางเบาให้เหมือนกับระบบจริงต้องมีการจำลองของรถไฟฟ้ารางเบาหลายขบวน และการทำลักษณะความเร็วที่เหมาะสมอาจมีการเพิ่มความละเอียดของระดับตัวเลือกความเร็ว และอาจเพิ่มการปรับระยะของโหนดการเคลื่อนที่ด้วยความฉื่อยเพื่อหาผลลัพธ์ที่ดีมากขึ้น



รายการอ้างอิง

- ชัยยุทธ์ สัมภวงศุปต์. (2560). กลยุทธ์การตัดค่ายอดสำหรับการจัดการพลังงานคืนกลับร่วมกับตัวเก็บประจุ. *วิทยานิพนธ์ปริญญาวิศวกรรมศาสตรดุษฎีบัณฑิต. สาขาวิศวกรรมไฟฟ้า* มหาวิทยาลัยเทคโนโลยีสุรนารี. นครราชสีมา.
- ธนัตชัย กุลวรรณนิชพงษ์. (2561). ระบบจ่ายไฟฟ้าสำหรับรถไฟ (Railway Electrification). ตีพิมพ์ครั้งที่ 3. มหาวิทยาลัยเทคโนโลยีสุรนารี.
- ธนัตชัย กุลวรรณนิชพงษ์. (2562). Dynamic programming. เอกสารประกอบการสอนวิชา Power System Optimization สาขาวิศวกรรมไฟฟ้า มหาวิทยาลัยเทคโนโลยีสุรนารี.
- Alfieri, L., Iannuzzi, D., Mottola, F., Pagano, M., & Roscia, M. (2018). Battery-Based Energy Storage Systems for Catenary-Free Electric Trains. *2018 IEEE International Conference on Electrical Systems for Aircraft, Railway, Ship Propulsion and Road Vehicles & International Transportation Electrification Conference (ESARS-ITEC)*.
- Arikan, Y., & Cam, E. (2019). Optimizing of Speed Profile in Electrical Trains for Energy Saving with Dynamic Programming. *2019 3rd International Symposium on Multidisciplinary Studies and Innovative Technologies (ISMSIT)*.
- Becker, F., & Dammig, A. (2016). Catenary free operation of light rail vehicles — Topology and operational concept. *2016 18th European Conference on Power Electronics and Applications (EPE'16 ECCE Europe)*.
- Bertsekas, D. (2015). *Dynamic programming and stochastic control*. Massachusetts Institute of Technology.
- Colak, K., Czarkowski, D., & Leon, F. de. (2012) Energy minimization for catenary-free masstransit systems using Particle Swarm Optimization. *2012 Electrical Systems for Aircraft, Railway and Ship Propulsion*.
- Dutta, O., Khodaparastan, M., & Mohamed, A. (2018). Wayside Energy Storage System for Peak Demand Reduction in Electric Rail Systems. *2018 IEEE Industry Applications Society Annual Meeting (IAS)*.

- Einhorn, M., Conte, F. V., Kral, C., & Fleig, J. (2010). A method for online capacity estimation of lithium-ion battery cells using the state of charge and the transferred charge. *2010 IEEE International Conference on Sustainable Energy Technologies (ICSET)*.
- Ezee, H. A., Tennakoon, S. B., Taylor, I., & Scheidecker, D. (2015). Aspects of catenary free operation of DC traction systems. *2015 50th International Universities Power Engineering Conference (UPEC)*.
- Ghaviha, N., Bohlin M., Wallin, F., & Dahlquist, E. (2015). Optimal Control of an EMU Using Dynamic Programming. *Energy Procedia*.
- Ghaviha, N., Bohlin M., Holmberg, C., & Dahlquist, E. (2019). Speed profile optimization of catenary-free electric trains with lithium-ion batteries. *Journal of Modern Transportation*.
- Ghaviha, N., Campillo, J., Bohlin, M. & Dahlquist, E. (2017). Review of Application of Energy Storage Devices in Railway Transportation. *Energy Procedia*.
- Gil, G. A., Palacin, R., & Batty, P. (2013). Sustainable urban rail systems: Strategies and technologies for optimal management of regenerative braking energy. *Energy Conversion and Management*, 374-388.
- Haahr, J. T., Pisinger, D., & Sabbaghian, M. (2017). A dynamic programming approach for optimizing train speed profiles with speed restrictions and passage points. *Transportation Research Part B: Methodological*.
- Hirose, H., Yoshida, K., & Shibanuma, K. (2012) "Development of catenary and storage battery hybrid train system. *2012 Electrical Systems for Aircraft, Railway and Ship Propulsion*.
- Huang, Y., Yang, L., Tang, T., Gao, Z., Cao, F., & Li, K. (2018). Train speed profile optimization with on-board energy storage devices: A dynamic programming-based approach. *Computers & Industrial Engineering*, 149–164.
- Jin, S. (2021). Research on New Rail Transit Power Supply System Scheme. *Journal of Physics: Conference Series*.
- Jobsoongnern, C., Ratniyomchai, T., & Kulworawanichpong, T. (2022). Electrical power supply system planning for a modern catenary-free rapid charging. *Energy Reports*, 958-965.

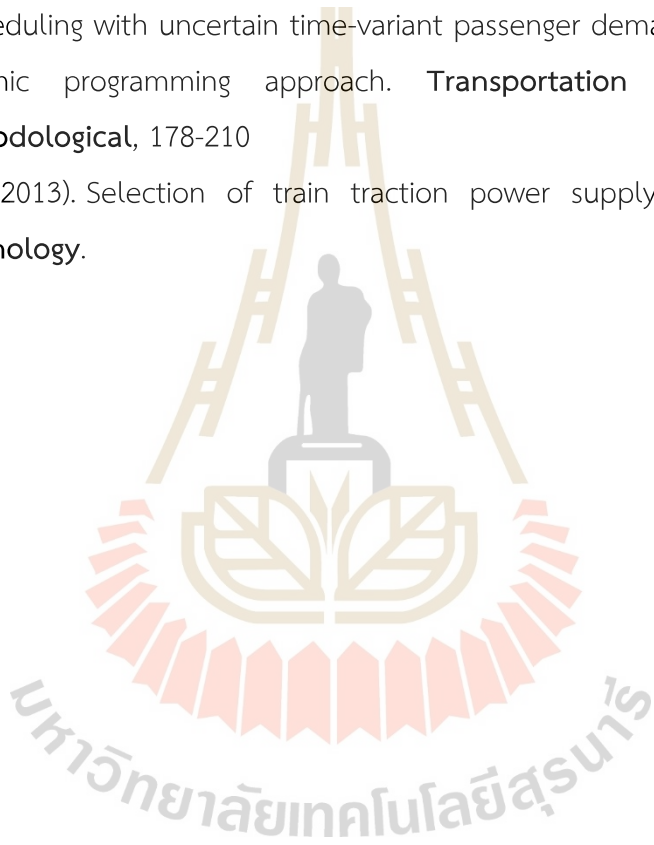
- Klohr, M., & Frohlich, M. (2008). Onboard Energy Storage System with UltraCaps of Railway Vehicles. **2008 American Public Transportation Association (APTA) Rail Conference**.
- Lu, S., Hillmansen, S., & Ho, T. K. (2013). Single-Train Trajectory Optimization. **IEEE Transactions on Intelligent Transportation Systems**.
- Luo, X., Wang, J., Dooner, M., & Clarke, J. (2015). Overview of current development in electrical energy storage technologies and the application potential in power system operation. **Applied Energy**, 511-536.
- Mwambeleko, J. J., & Kulworawanichpong, T. (2017). Battery and accelerating-catenary hybrid system for light rail vehicles and trams. **2017 International Electrical Engineering Congress (iEECON)**.
- Miyatake, M., & Ko, H. (2010). Optimization of Train Speed Profile for Minimum Energy Consumption. **IEEJ Transactions on Electrical and Electronic Engineering**, 263–269.
- Miyatake, M., Hiroto, H., & Satoshi, S. (2009). Optimal speed control of a train with On-board energy storage for minimum energy consumption in catenary free operation. **Power Electronics and Applications**.
- Noda, Y., & Miyatake, M. (2016). Methodology to apply dynamic programming to the energy-efficient driving technique of lithium-ion battery trains. **2016 International Conference on Electrical Systems for Aircraft, Railway, Ship Propulsion and Road Vehicles & International Transportation Electrification Conference (ESARS-ITEC)**.
- Okui, A., Hase, S., Shigeeda, H., Konishi, T., & Yoshi, T. (2010). Application of energy storage system for railway transportation in Japan. **The 2010 International Power Electronics Conference - ECCE ASIA** (pp. 3117-3123). Sapporo, Japan: Institute of Electrical and Electronics Engineers (IEEE).
- Ratniyomchai, T., Hillmansen, S., & Tricoli, P. (2013). Recent developments and applications of energy storage devices in electrified railways. **IET Electrical Systems in Transportation**, 9-20.

Sutphrom N. (2019) Optimal positions and capacities of wayside energy storage systems for mass rapid transit: Silomline. **Master Thesis Suranaree University of Technology.**

Wang, Y., Yang, Z., & Li, F. (2018). Optimization of Energy Management Strategy and Sizing in Hybrid Storage System for Tram. **Energies.**

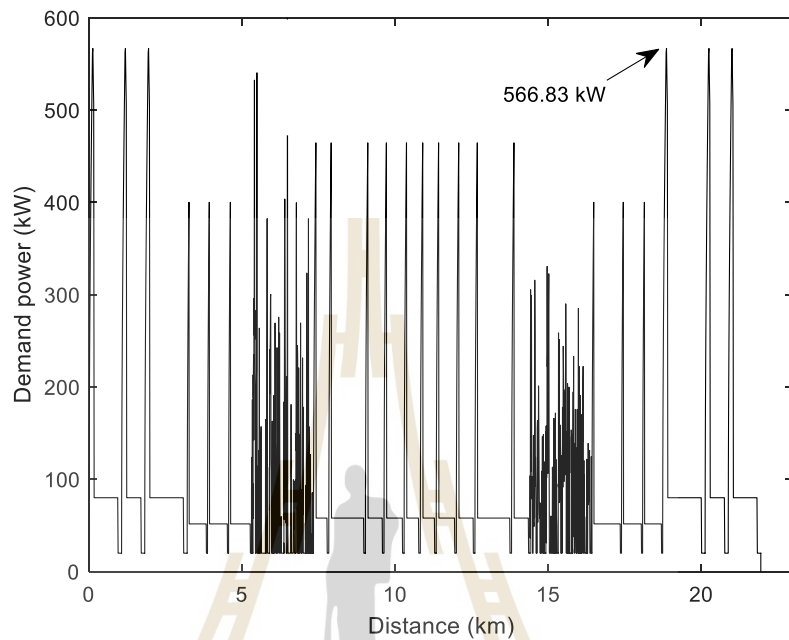
Selection of train traction power supply modes. **Journal of Technology**
Yin, J., Tao, T., Yang, L., Gaoa, Z., Ran, B. (2016). Energy-efficient metro train rescheduling with uncertain time-variant passenger demands: An approximate dynamic programming approach. **Transportation Research Part B: Methodological**, 178-210

Zhixin, He. (2013). Selection of train traction power supply modes. **Journal of Technology.**

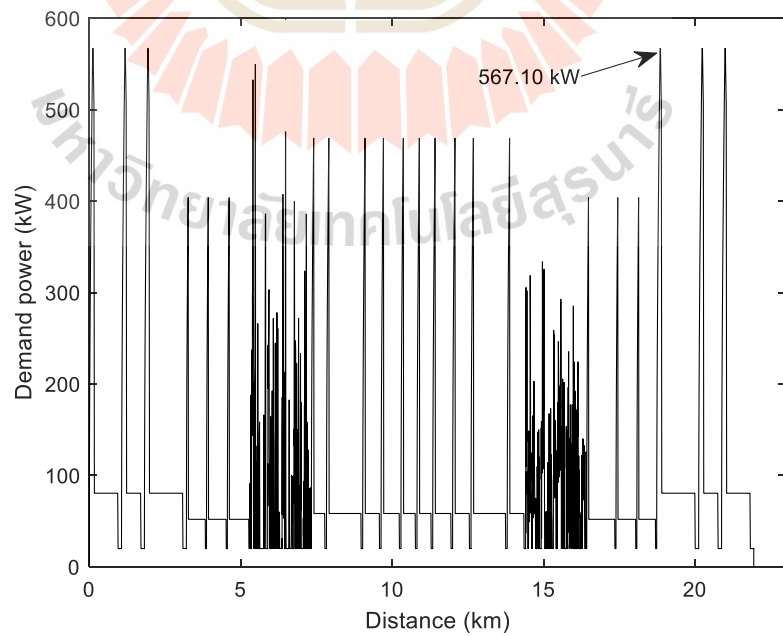




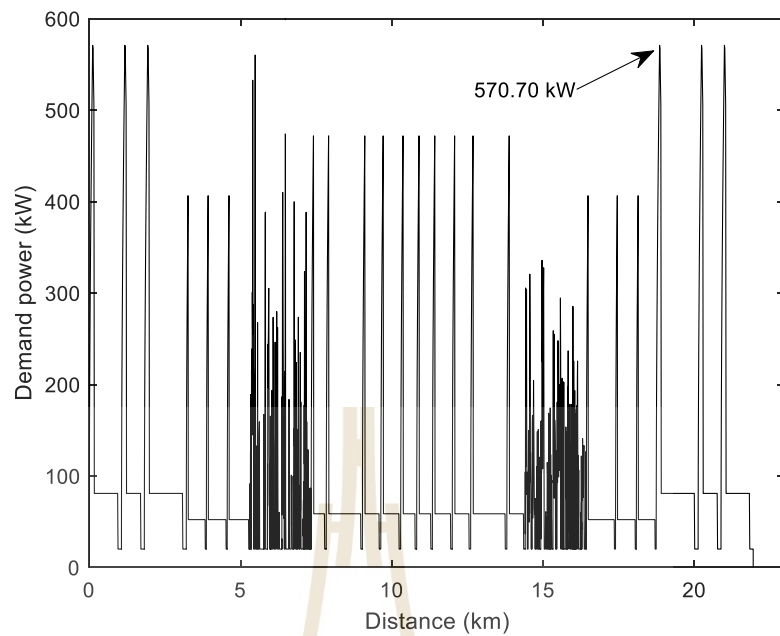
ก.1 ผลการจำลองกำลังไฟฟ้าของรถไฟฟาระบบกรณีไม่พิจารณาพลังงานจากการเบรก



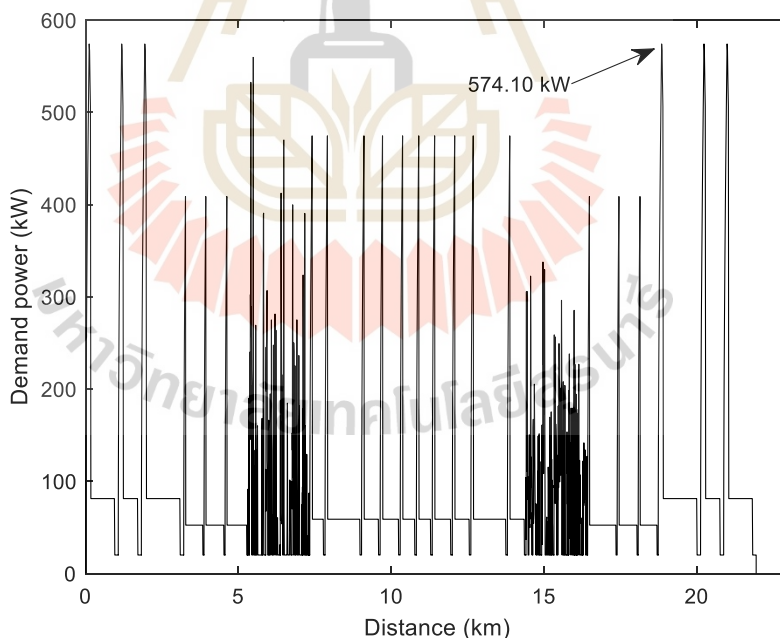
รูปที่ ก.1 กำลังไฟฟ้าเทียบกับระยะทาง กรณีที่ 1 เมื่อไม่พิจารณาพลังงานจากการเบรก



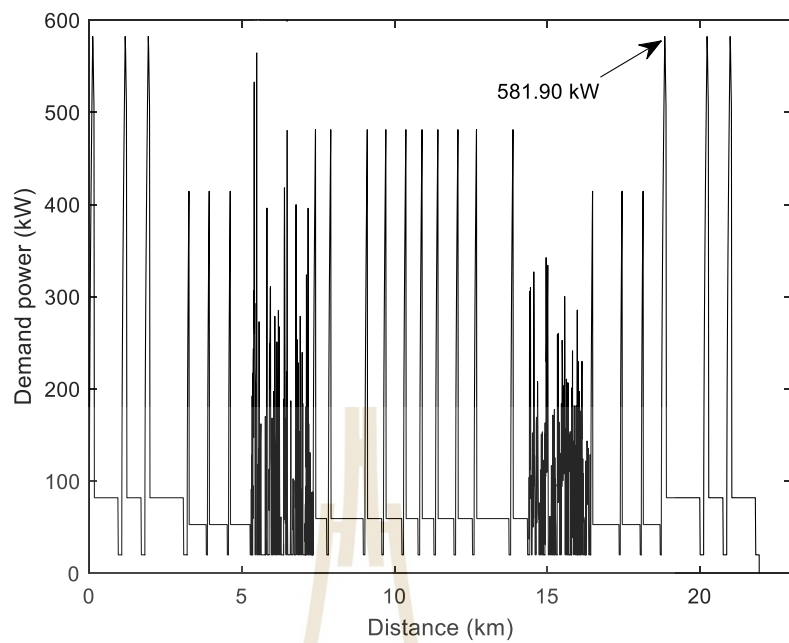
รูปที่ ก.2 กำลังไฟฟ้าเทียบกับระยะทาง กรณีที่ 2 เมื่อไม่พิจารณาพลังงานจากการเบรก



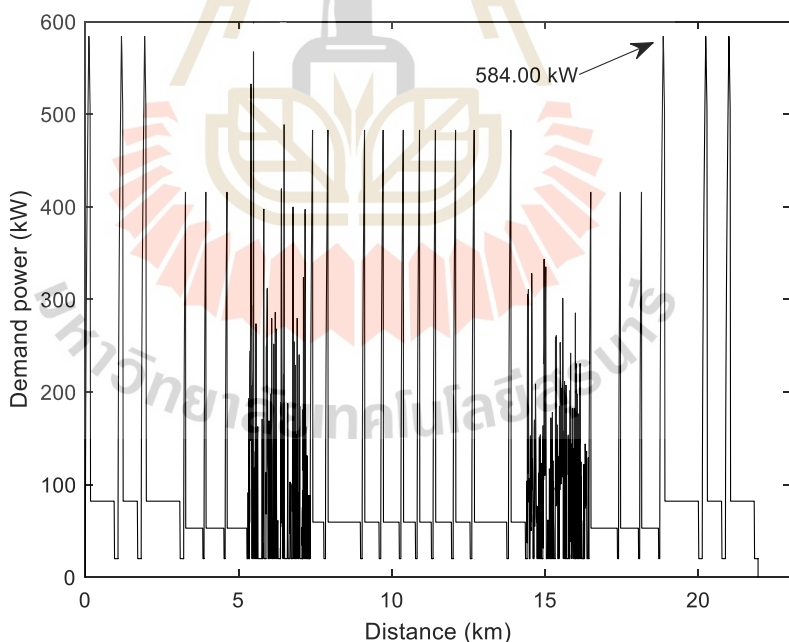
รูปที่ ก.3 กำลังไฟฟ้าเทียบกับระยะทาง กรณีที่ 3 เมื่อไม่พิจารณาพลังงานจากการเบรก



รูปที่ ก.4 กำลังไฟฟ้าเทียบกับระยะทาง กรณีที่ 4 เมื่อไม่พิจารณาพลังงานจากการเบรก

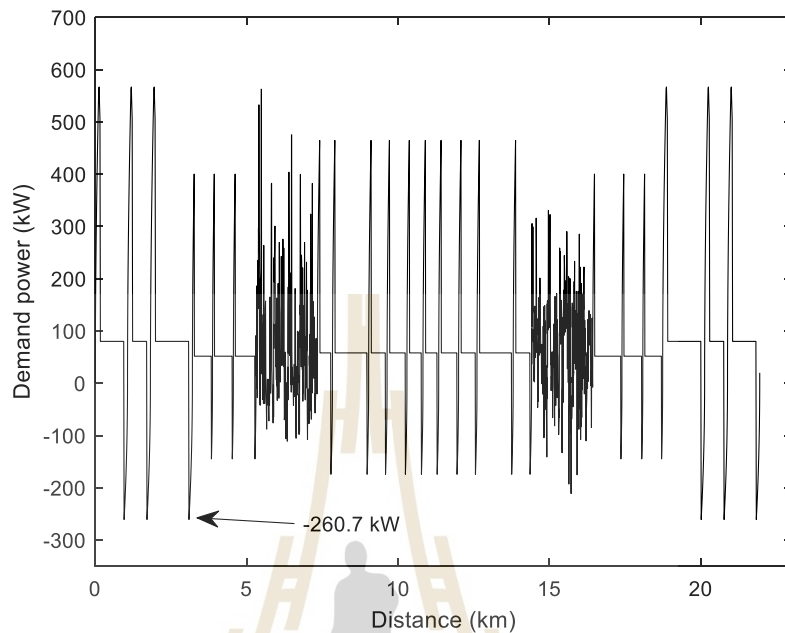


รูปที่ ก.5 กำลังไฟฟ้าเทียบกับระยะทาง กรณีที่ 5 เมื่อไม่พิจารณาพลังงานจากการเบรก

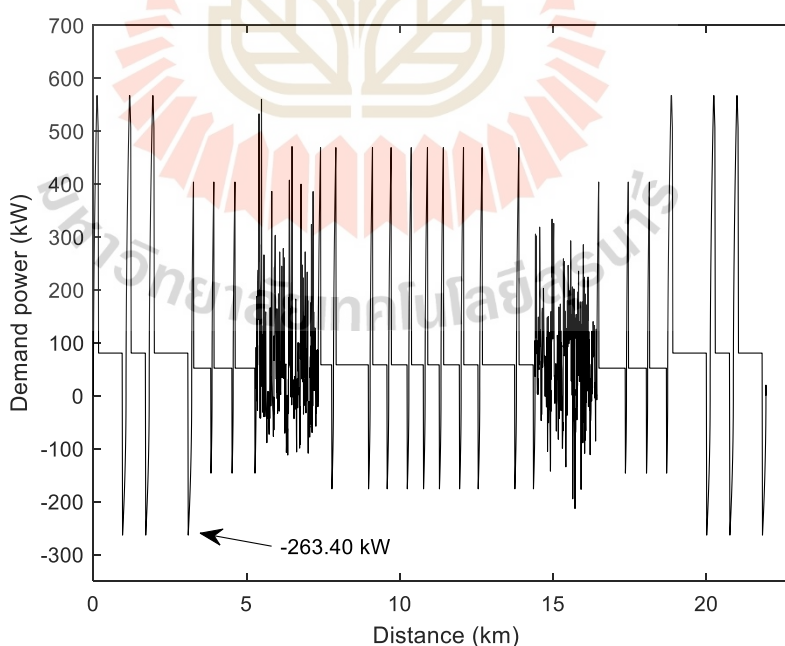


รูปที่ ก.6 กำลังไฟฟ้าเทียบกับระยะทาง กรณีที่ 6 เมื่อไม่พิจารณาพลังงานจากการเบรก

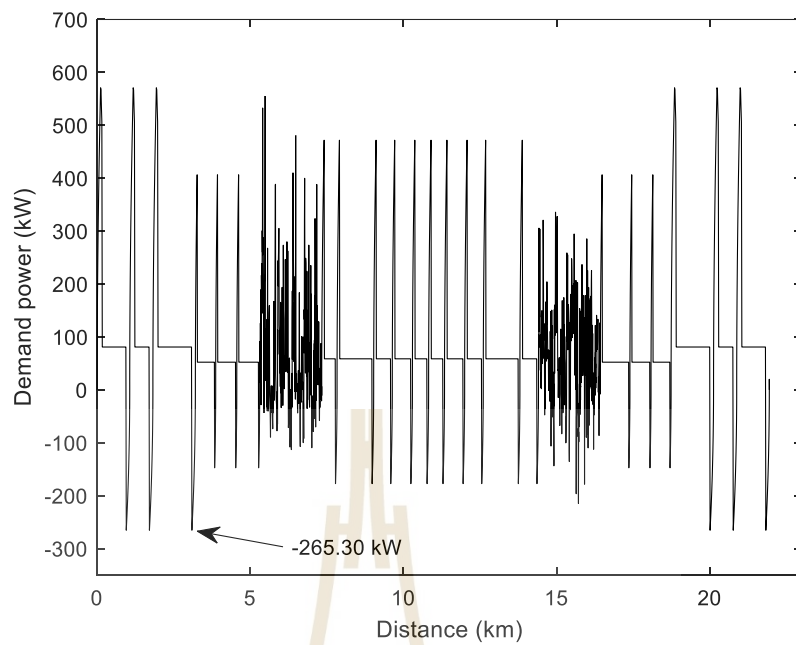
ก.2 ผลการจำลองกำลังไฟฟ้าของรถไฟฟาระเบารณีพิจารณาพลังงานจากการเบรก



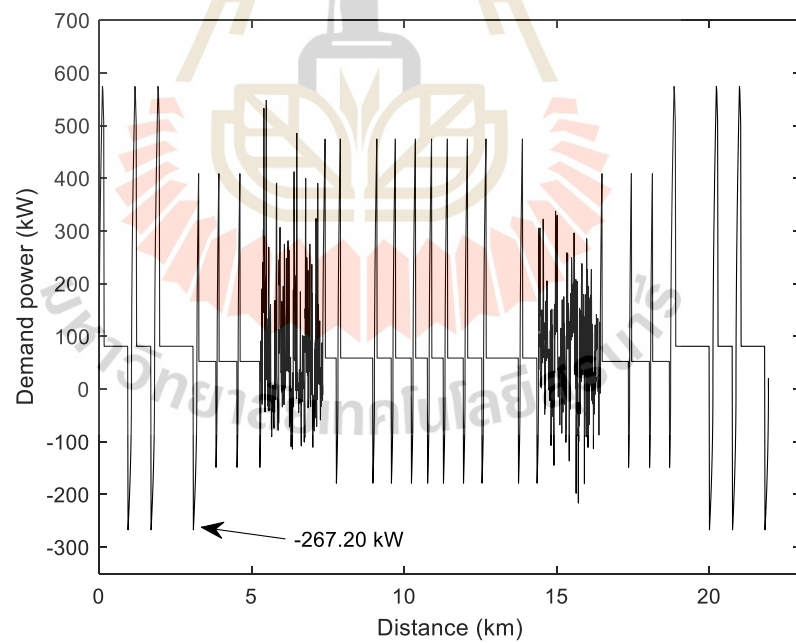
รูปที่ ก.7 กำลังไฟฟ้าเทียบกับระยะทาง กรณีที่ 1 เมื่อพิจารณาพลังงานจากการเบรก



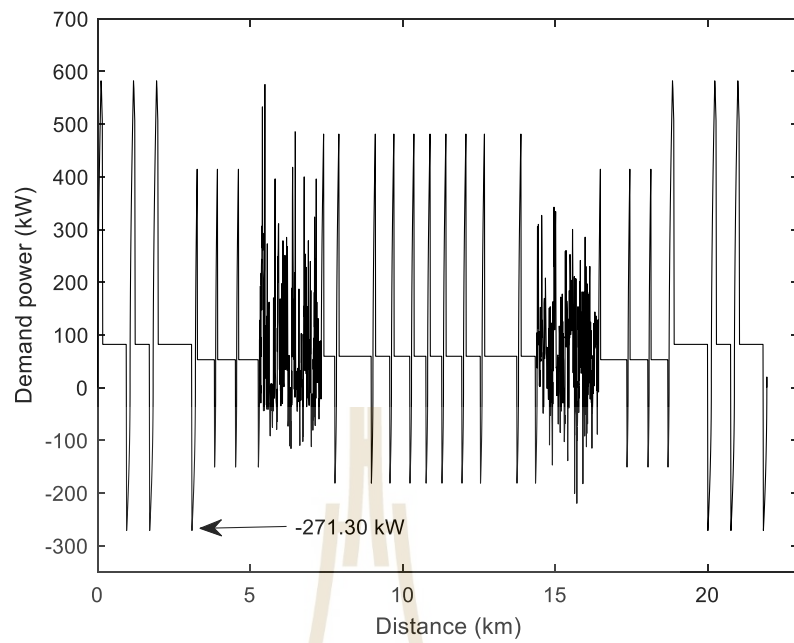
รูปที่ ก.8 กำลังไฟฟ้าเทียบกับระยะทาง กรณีที่ 2 เมื่อพิจารณาพลังงานจากการเบรก



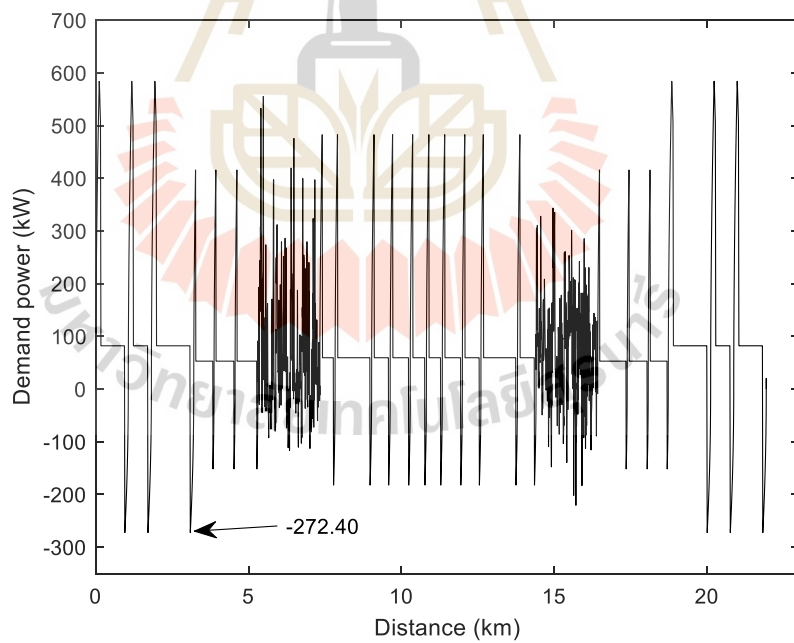
รูปที่ ก.9 กำลังไฟฟ้าเทียบกับระยะทาง กรณีที่ 3 เมื่อพิจารณาพลังงานจากการเบรก



รูปที่ ก.10 กำลังไฟฟ้าเทียบกับระยะทาง กรณีที่ 4 เมื่อพิจารณาพลังงานจากการเบรก

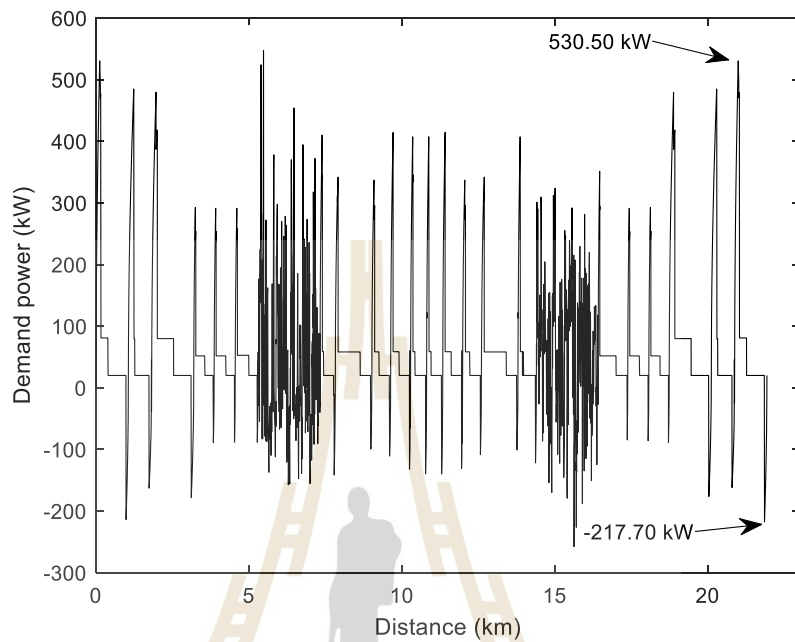


รูปที่ ก.11 กำลังไฟฟ้าเทียบกับระยะทาง กรณีที่ 5 เมื่อพิจารณาพลังงานจากการเบรก

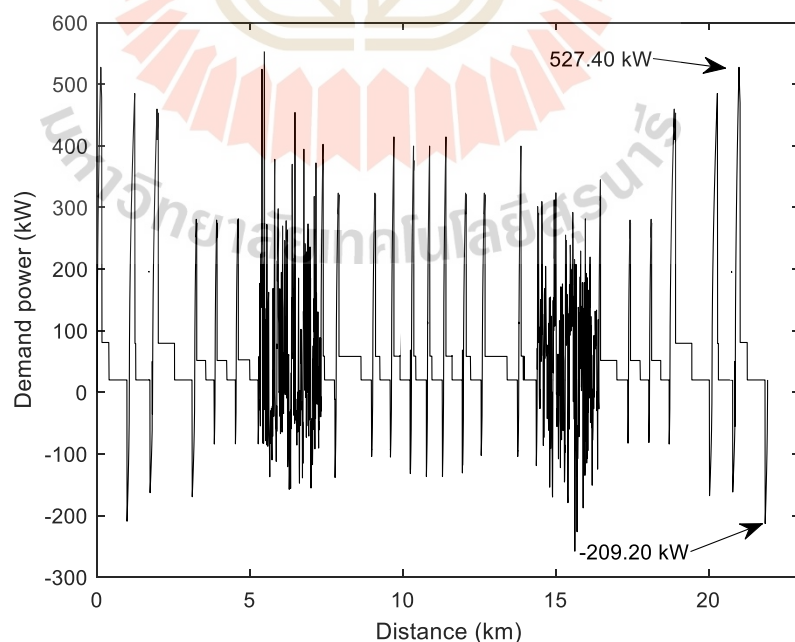


รูปที่ ก.12 กำลังไฟฟ้าเทียบกับระยะทาง กรณีที่ 6 เมื่อพิจารณาพลังงานจากการเบรก

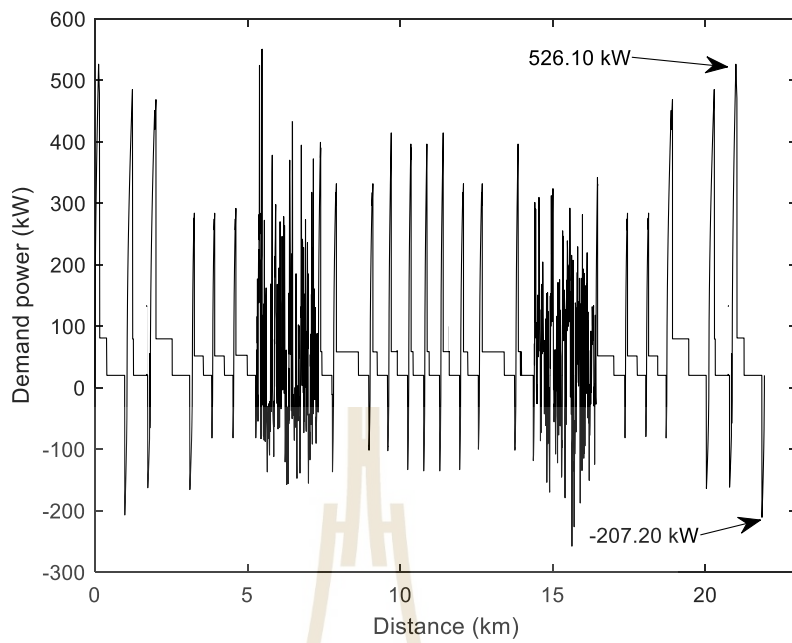
ก.3 ผลการจำลองกำลังไฟฟ้าของรถไฟฟ้าร่างเบากรนีลักษณะความเร็วที่เหมาะสมสมด้วยวิธี
กำหนดการพลวตคำนวณแบบไปข้างหน้า



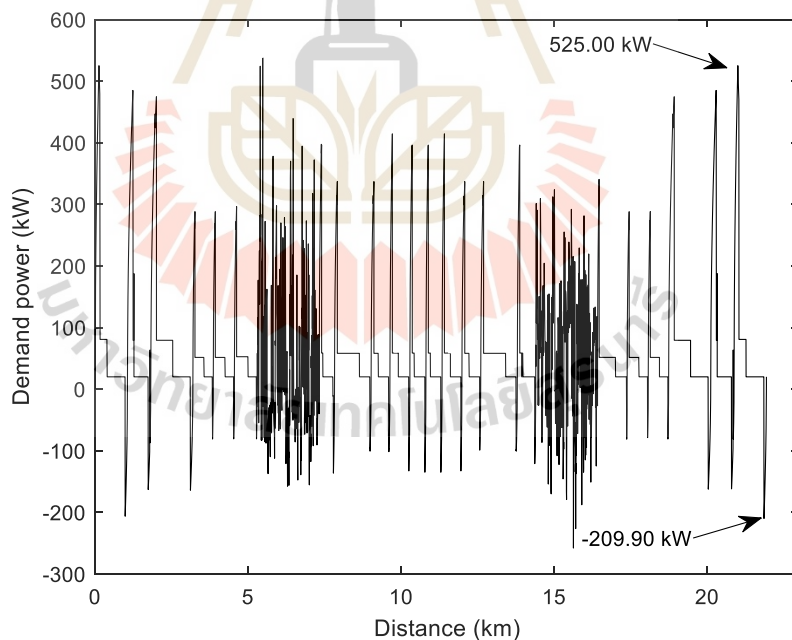
รูปที่ ก.13 กำลังไฟฟ้าเทียบกับระยะทาง กรณีคำนวณแบบไปข้างหน้าที่ $K = 6$



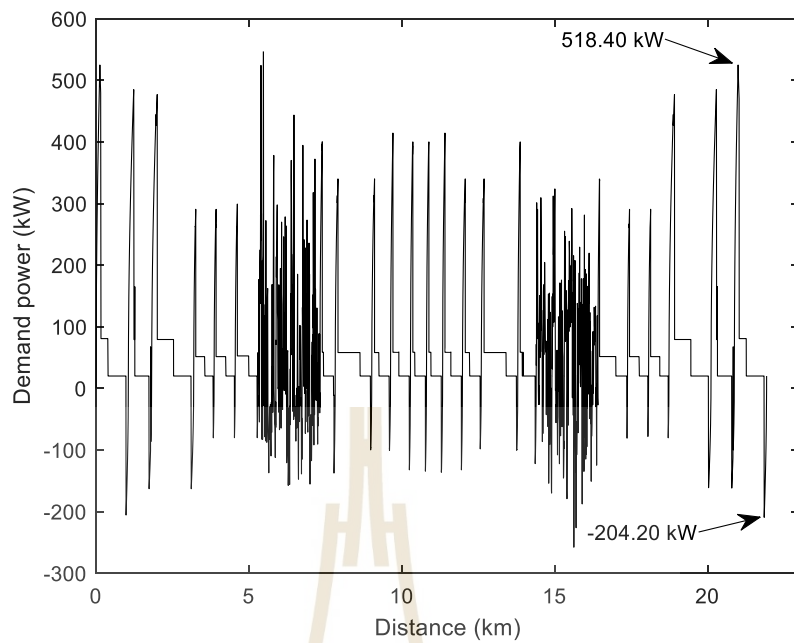
รูปที่ ก.14 กำลังไฟฟ้าเทียบกับระยะทาง กรณีคำนวณแบบไปข้างหน้าที่ $K = 10$



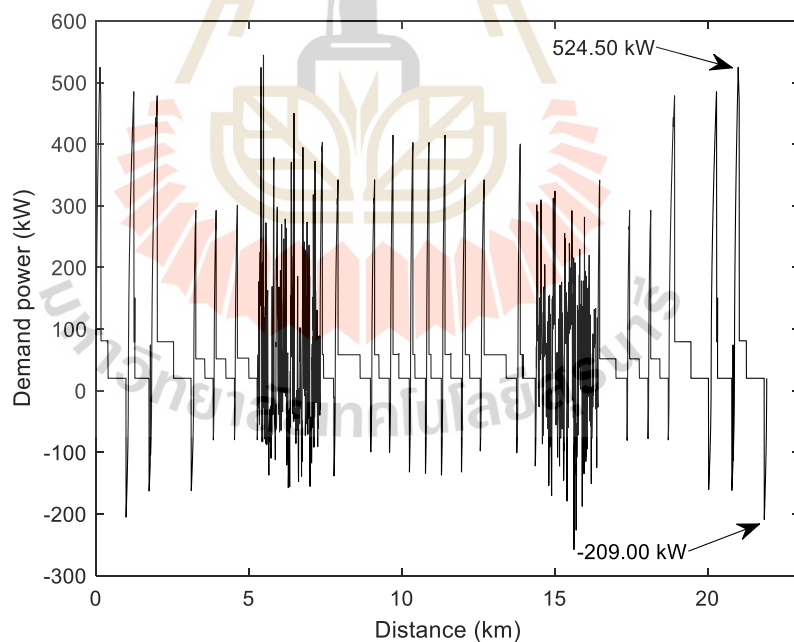
รูปที่ ก.15 กำลังไฟฟ้าเทียบกับระยะทาง กรณีคำนวณแบบไปข้างหน้าที่ $K = 15$



รูปที่ ก.16 กำลังไฟฟ้าแรงเบาเทียบกับระยะทาง กรณีคำนวณแบบไปข้างหน้าที่ $K = 20$

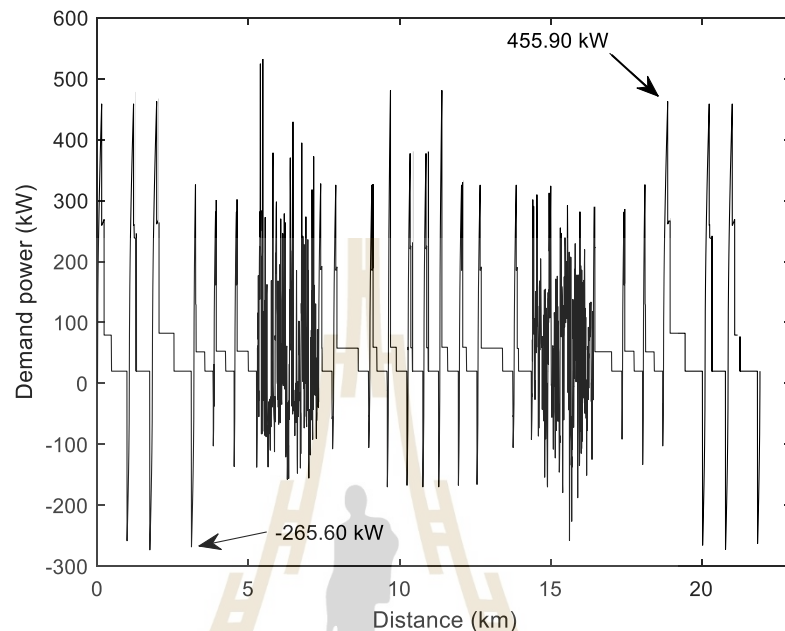


รูปที่ ก.17 กำลังไฟฟ้าเบาเทียบกับระยะทาง กรณีคำนวณแบบไปข้างหน้าที่ $K = 25$

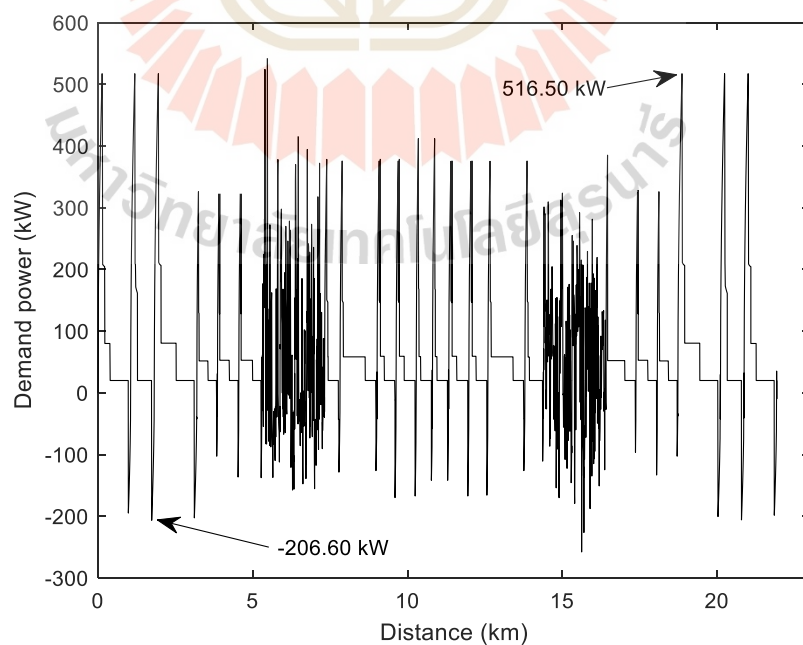


รูปที่ ก.18 กำลังไฟฟ้าเบาเทียบกับระยะทาง กรณีคำนวณแบบไปข้างหน้าที่ $K = 30$

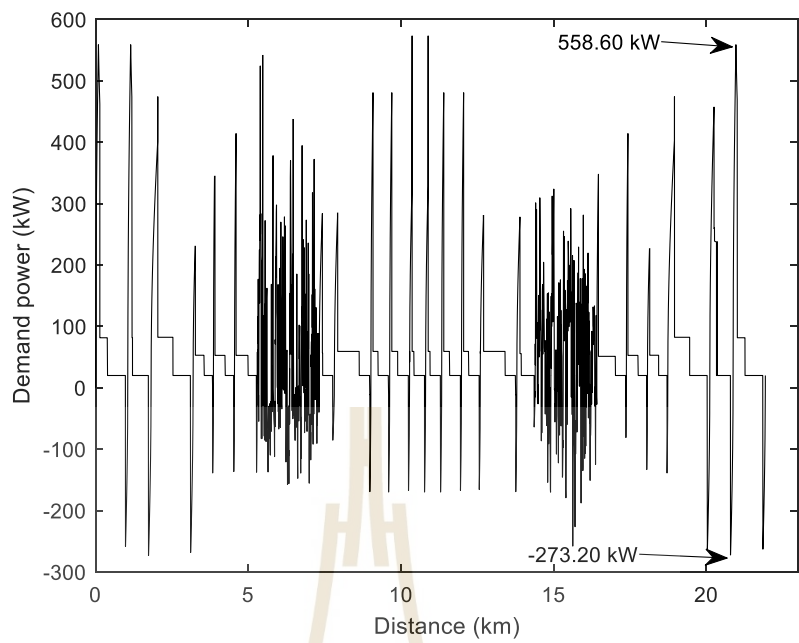
ก.4 ผลการจำลองกำลังไฟฟ้าของรถไฟฟาระเบากรณีลักษณะความเร็วที่เหมาะสมสมด้วยวิธี
กำหนดการพลวตคำนวณแบบย้อนกลับ



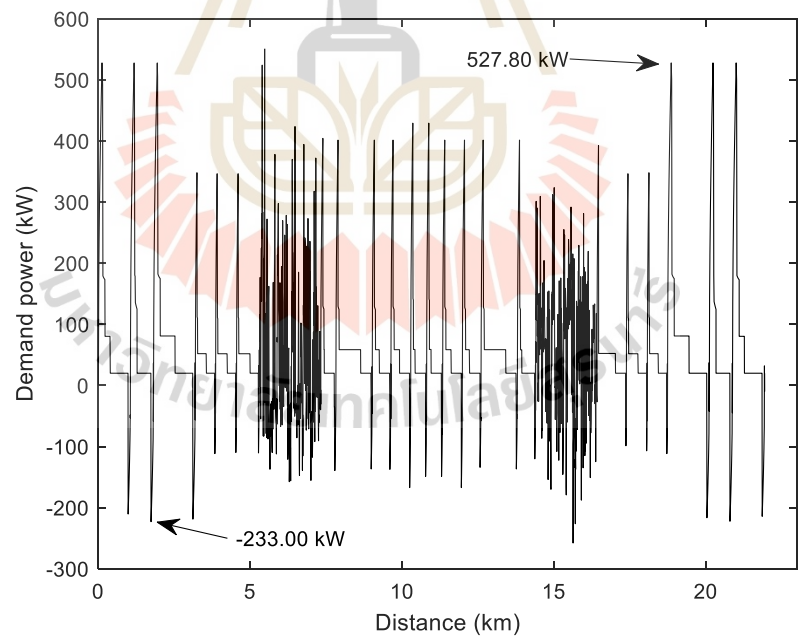
รูปที่ ก.19 กำลังไฟฟ้าเทียบกับระยะทาง กรณีคำนวณแบบไปย้อนกลับที่ $K = 6$



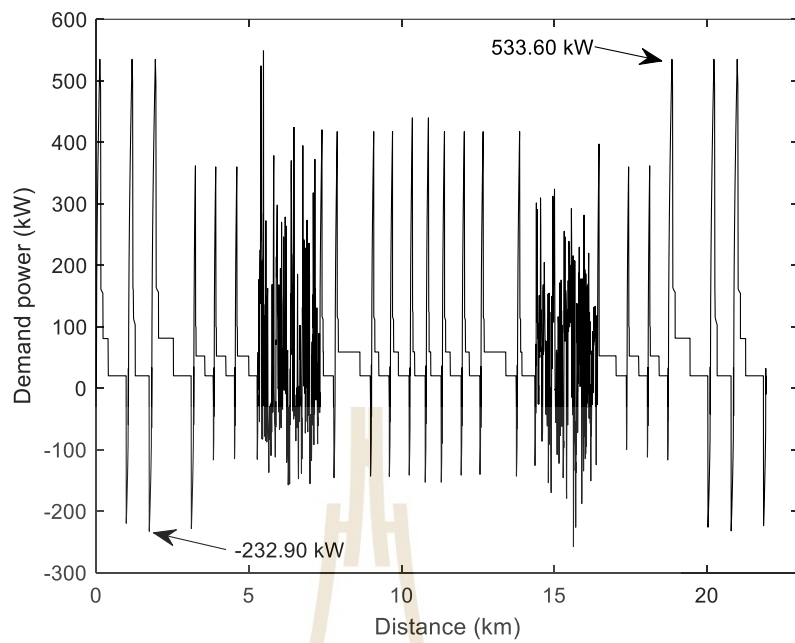
รูปที่ ก.20 กำลังไฟฟ้าเทียบกับระยะทาง กรณีคำนวณแบบไปย้อนกลับที่ $K = 10$



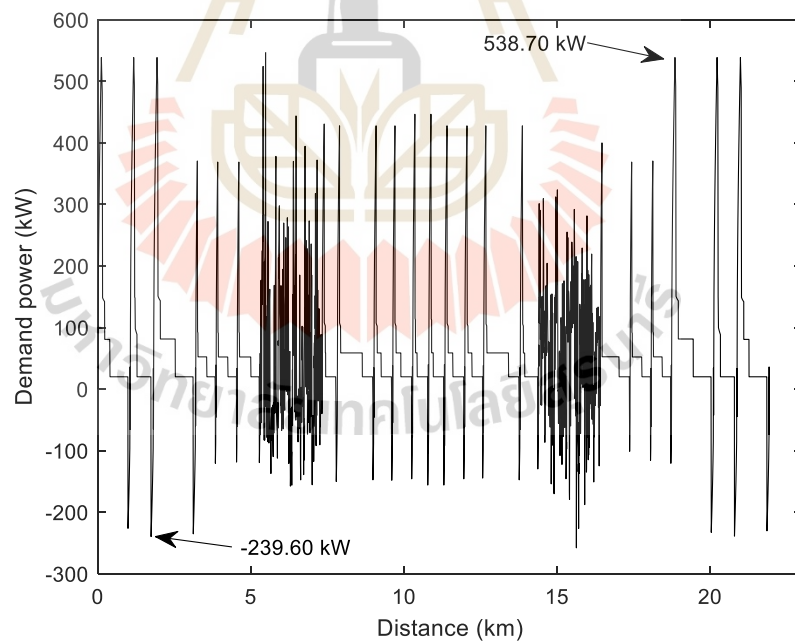
รูปที่ ก.21 กำลังไฟฟ้าเทียบกับระยะทาง กรณีคำนวณแบบไปย้อนกลับที่ $K = 15$



รูปที่ ก.22 กำลังไฟฟ้าเทียบกับระยะทาง กรณีคำนวณแบบไปย้อนกลับที่ $K = 20$



รูปที่ ก.23 กำลังไฟฟ้าเทียบกับระยะทาง กรณีคำนวณแบบไปย้อนกลับที่ $K = 25$



รูปที่ ก.24 กำลังไฟฟ้าเทียบกับระยะทาง กรณีคำนวณแบบไปย้อนกลับที่ $K = 30$



ภาควิชาฯ

บหคความทางวิชาการที่ได้รับการตีพิมพ์เผยแพร่ในระหว่างศึกษา

นวัตกรรมฯ

รายชื่อบทความที่ได้รับการตีพิมพ์เผยแพร่ในระหว่างศึกษา

- C. Jobsoongnern, T. Ratniyomchai, and T. Kulworawanichpong. (2020). Energy Consumption Study of Rapid Charging of Catenary Free Light Rail Transit. **2020 International Conference on Power, Energy, and Innovations (ICPEI 2020)**. 14-16 October 2020, Chiangmai, Thailand.
- C. Jobsoongnern, T. Ratniyomchai, and T. Kulworawanichpong. (2022). Electrical power supply system planning for a modern catenary-free rapid charging. **2022 The 4th International Conference on Clean Energy and Electrical Systems (CEES 2022)**. 2–4 April 2022, Tokyo, Japan.
- C. Jobsoongnern, and T. Ratniyomchai. (2023). Minimizing Energy Consumption of Onboard Battery Light Rail Transit Using Dynamic Programming. **GMSARN International Journal**. (Unpublished)

2020 International Conference on Power, Energy and Innovations (ICPEI 2020)
October 14-16, 2020, Chiangmai, THAILAND

Energy Consumption Study of Rapid Charging of Catenary Free Light Rail Transit

Chalita Jobsoongnern
School of Electrical Engineering
Suranaree University of Technology
Nakhon Ratchasima, Thailand
e-mail: chalita.jobs@gmail.com

Tosaphol Ratnijomchai
School of Electrical Engineering
Suranaree University of Technology
Nakhon Ratchasima, Thailand
e-mail: tosaphol@sut.ac.th

Thanatchai Kulworawanichpong
School of Electrical Engineering
Suranaree University of Technology
Nakhon Ratchasima, Thailand
e-mail: thanatch@sut.ac.th

Abstract— This paper presents the energy consumption study of catenary free light rail transit system using an on-board battery system as a main motive power source. This paper proposes a case study of energy consumption which has 3 sub-cases of charging points: i) charging at every stop, ii) charging at every 5 stops and charging once after one round trip. The charge is conducted by a rapid charge at the charging stop with dwell time of 20 seconds. By using the route of Korat Light Rail Transit Green Line project in Nakhon Ratchasima, Thailand that are 20 passenger stops and a total round-trip distance of 22 km. The total energy consumption for one round trip of the route is 136,866 kWh. For the different 3 cases, the different charging point effect to energy consumption, battery size and the cost of the battery. The longer the distance between the two consecutive charging points, the larger the kWh capacity of the on-board battery for the vehicle.

Keywords— Rapid charge, Catenary free, Energy consumption, On-board battery

I. INTRODUCTION

Nowadays, electric train is one of the best solutions for public transportation. In such a case, the transportation of long-distance between the acceleration to the maximum speed, electric trains need to use very high power from a battery. To reduce the power used from battery, therefore, if it is hybrid energy sources that accelerate to the maximum speed using power from a catenary, then the constant speed uses battery power. This will be recommended for long-distance high-speed trains with few stations [1]. When talking about traffic within the city, the interesting thing is the low-floor light rail transport (LRT) which has low running speed and can be seen in many cities. The LRT has energy sources technology both catenary and catenary free in some sections of the route. In the catenary free section, the LRT should have on-board energy storage. Which the LRT scheduling and charging time while catenary free operation can save energy [2]. Moreover, the LRT having on-board energy storage source, there are no overhead electrical installations (catenaries) that will not hide the beautiful view of the city, also reduce the complexity of construction and zero-emission. For energy storage systems that must be stored whether braking energy or charging during stop [3]. The important thing for the catenary free LRT is the size of energy storage that has to design by realizing performance and function requirements, identically,

the charging system such as a converter, a power conversion system, and a charge/discharge energy management [4]-[5].

The construction of electric rail transit with catenary cables is difficult. Both must obtain consent from the citizen and town planners because that can change the original lifestyle and the catenary cables might also decrease the value of the cityscape. Therefore, building a catenary free train is more likely. This happened in Nanjing, China since 2014 that demonstrates the sustainability of the catenary free operation, using Li-ion batteries as energy storage sources, with the concept of having a catenary free operation part between stations. The catenary operation part is throughout the station's platform to recharge energy. The changes during these 2 operations are all automatic [6].

Electric light rail transit is another option for traveling by public transport in the city with heavy traffic. In most cases, there are many stations or service points and have a slower speed than intercity electric trains. Currently, electric rail cars are available in many countries. There are both external energy source and internal energy storage source. This article demonstrates the simulation of the light rail vehicle (LRV) movement with an on-board battery energy storage. In which this simulation considered braking energy.

The remainder of this article will address the problem formulations in II, consisting of a light rail vehicle movement model and a battery model, III routes in simulation and case study, the simulation results is in IV and Conclusion is in V.

II. PROBLEM FORMULATIONS

A. Light Rail Vehicle Movement Model

The movement model of a light rail vehicle (LRV) from Newton's law of motion considers F_{RR} is the friction resistance to move, F_{grad} is the force of gravity and F_{drag} is the air resistance as in Fig. 1.

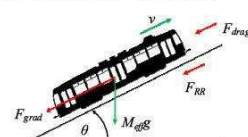


Fig. 1. Model of the movement of light rail vehicle

2020 International Conference on Power, Energy and Innovations (ICPEI 2020)
October 14-16, 2020, Chiangmai, THAILAND

The power of the LRV movement is given by:

$$P_{train} = \frac{F_T v}{\eta_g \eta_m \eta_i} + P_{aux} \quad (1)$$

From (1), P_{train} is the LRV power used in the movement, F_T is the locomotive traction, v is the speed of light rail, η_g is gearbox efficiency, η_m is motor efficiency, η_i is inverter efficiency and P_{aux} is the auxiliary power.

$$F_T = M_{eff} a + F_R \quad (2)$$

From (2), M_{eff} is the effective mass of LRV, a is the acceleration and F_R is the tractive resistance.

$$F_R = F_{RR} + F_{grad} + F_{drag} \quad (3)$$

From (3), F_{RR} is friction resistance, F_{grad} is gradient force, F_{drag} is air resistance, which all parameter are calculated as follows:

$$F_{RR} = f_{RR} W \quad (4)$$

From (4), f_{RR} is the rolling resistance coefficient, W is the load of the driven axis.

$$F_{grad} = \pm M_{ff} g \sin \theta \quad (5)$$

From (5), g is the force of gravity, θ is the slope angle of a floor, shown in figure 1.

$$F_{drag} = \frac{1}{2} \rho_{air} c_d A_F v_{air}^2 \quad (6)$$

From (6), ρ_{air} is the air density, c_d is the air resistance coefficient, A_F is the area in front of the LRV that is projected perpendicular to the direction of the airflow, v_{air} is the airflow speed relative to the speed of the LRV.

B. Battery Model

In this simulation of the LRV movement using an on-board battery source as a simple model [7], as in Fig. 2, where the battery parameters have relationship as follows:

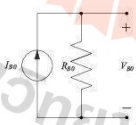


Fig. 2. Battery model

$$I_{B0} = \frac{kWh}{3600 \times V_{B0}} \quad (7)$$

$$R_{B0} = \frac{V_{B0}}{I_{B0}} \quad (8)$$

$$V_{B0} = R_{B0} \times (I_{B0} - I_d) \quad (9)$$

From (7) to (9), I_{B0} is the battery current, kWh is the battery capacity, R_{B0} is the internal resistance of the battery, V_{B0} is the battery voltage, I_d is the load current that is given by:

$$I_d = \frac{P_{train}}{V_{B0}} \quad (10)$$

From (10), P_{train} is the LRV power used in the movement from (1).

III. ROUTE AND CASE STUDY

A. Route

The simulation used the route of the green line Korat LRT, Nakhon Ratchasima, Thailand as shown in Fig. 3 with round trip distance of 22 kilometers, there are 20 stations to pick up passengers and charge the battery for 20 seconds, considering the route is a flat road without gradient.

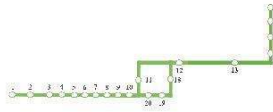


Fig. 3. Korat LRT green line route

B. Case Study

In this article, the case study is divided into 3 cases which are i) charging at every stop, ii) charging at every 5 stops, and charging once after round-trip. In which each case simulates the movement of the LRV by using a 24 V, 70 Ah lithium titanate oxide (LTO) battery manufactured by Altairnano [8]. The size of the battery pack used in the simulation varied by the distance of the charging point in each case. With different parameters of the batteries are shown in TABLE I.

TABLE I. BATTERY PARAMETERS

Parameter	Battery value	Battery Pack Value		
		Case I	Case II	Case III
Nominal Voltage (V)	24	528	696	648
Nominal capacity (Ah)	70	140	210	280
Maximum continuous charge	500	1000	1500	2000
Maximum continuous discharge (A)	500	1000	1500	2000
Maximum pulse charge 10 s (A)	900	1800	2700	3600
Maximum pulse discharge 10 s (A)	900	1800	2700	3600
Weight (kg.)	28	1232	2436	3024

IV. SIMULATION RESULTS

The LRV movement was simulated in MATLAB, the speed profile of the LRV compared with the distance as in Fig. 4 shows that the maximum speed is 40 km/h. and stop when arriving at station for 20 second. Some sections of the route, the LRV shares the rail with public roads which have inconstant

2020 International Conference on Power, Energy and Innovations (ICPEI 2020)
October 14-16, 2020, Chiangmai, THAILAND

speed and some stop because of crown traffic. The section of shared rail for the outbound is from station 8 to 14 and the return is 14 to 20. The parameters of the LRV use in this simulation for each case are shown in TABLE II.

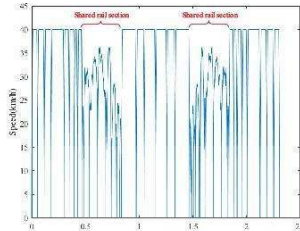


Fig. 4. round-trip speed profile

TABLE II. LRV PARAMETERS

Parameters	Value
Maximum speed (v)	40 km/h
Maximum Acceleration (a)	0.7 m/s ²
Effective mass (M_{eff})	44000 kg
Rolling resistance coefficient (f_{RR})	0.006
Aerodynamic drag coefficient (c_d)	0.6
Air density (ρ_{air})	1.225 kg/m ³
Frontal area (A_F)	8.4 m ²
Gearbox eff. (η_g)	0.93
Motors eff. (η_m)	0.9
Inverter eff. (η_i)	0.9
Auxiliary power (P_{aux})	20 kW

A. Case I: Recharge at every stop

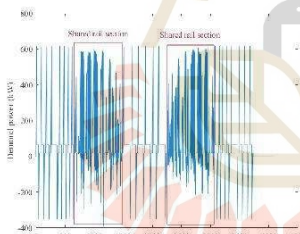


Fig. 5. LRV demand power

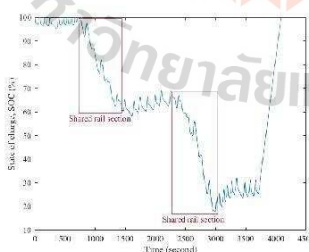


Fig. 6. State of charge of case I

B. Case II: Recharge at every 5 stops

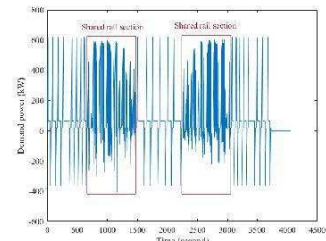
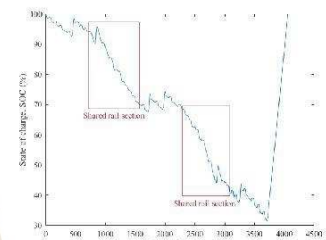


Fig. 7. LRV demand power



C. Case III: Recharge once after round-trip

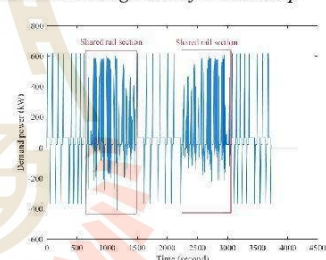


Fig. 9. LRV demand power

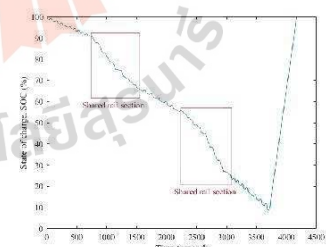


Fig. 10. State of charge of case III

From all three cases, in Fig. 5, 7, 9, can be seen that the demand power of the LRV is compared with the time, which is combined with the traveling speed

in Fig. 4. The maximum power of all three cases is around 619 kW, but there are a few differences by the effect of battery weight. The LRV reaches the maximum power when the LRV accelerating to a maximum speed of 40 km/h. The power decrease to around 67 kW when the LRV using a constant speed. In some sections of the route, there will be a period of inconstant speed during the shared rail with a public road. The LRV consumes a lot of energy to travel, as can be seen from state of charge (SOC) in Fig. 6, 8, 10 that reduced because there is heavy traffic then the LRV has to accelerate, decelerate, and stop frequently. For the case I, II, the LRV will park at the station for recharge the battery for 20 seconds. For case III, the LRV will recharge once after traveling round trip. The charging will continue from the SOC of 10% until the battery is full at the end of round-trip. In additions, the case I and II also continue charging from the SOC of 25% and 32%, respectively until the battery is full at the final terminal. Additionally, the battery also by regenerative braking. To calculate the cost of battery size that considers by the size of the battery in kWh as 1,005\$/kWh [9].

TABLE III. TOTAL ENERGY CONSUMPTION

Case	Charging point	Total Energy Consumption (kWh)	The cost of battery (\$)
I	Recharge every stop	136.400	74,289
II	Recharge every 5 stops	136.713	146,890
III	Recharge round trip	136.866	182,347

TABLE III. shows comparing the total energy consumption used for powering of the LRV that can be seen when the charging points also have more distance from each point that affects the energy used to service. In case I Total energy consumption is 136.400 kWh is the less than the others case that case II is 136.713 kWh and case III is 136.866 kWh. This is a result of the larger battery size causing the weight of the LRV that affects more energy to be used in the movement. The total energy consumption compared to case I is charged at every stop, when the distance of the charging point changes to every 5 stops, the total energy consumption increases by 0.23% and compared to case III that the charging point changes to once round-trip charging, the total energy consumption increased by 0.34%. The cost of the battery Case I is less than case II and case III respectively. To consider only the total energy consumption and the cost of the battery, there can be seen that the frequency of charging gives a similar result, but the cost of the battery is very different then the first case is the worthiest.

The project of the Korat LRT green line route is now on the study of details on the suitability and feasibility of the system design and analysis. Therefore, the results of the analysis of energy consumption and battery cost that were used in different scenarios of charging battery of the LRV based on the Korat LRT green line route in this paper

are alternatively applied in the system of the Korat LRT green line route in the near future.

V. CONCLUSION

The light rail transit is an interesting alternative for public transport in cities with heavy traffic and ideally more if the light rail does not negatively affect the weather, both by air and scenery. This article presents the simulation of light rail vehicles with an on-board battery. The battery is recharged at the station when picking up a passenger. There are divided into 3 cases which are charging at every stop, charging at every 5 stops, and charging once after a round trip. From the simulation results, it can be concluded that the further charging point leads to larger battery size and higher battery cost. Resulting in increased energy used in the movement of light rail vehicles and the distance of the charging point also affects the charging time when the LRV having a full charge.

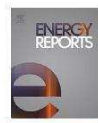
REFERENCES

- [1] J. J. Mwambeleko and T. Kulworawanichpong, "Battery and Accelerating-Catenary Hybrid System for Light Rail Vehicles and Trams," 2017 International Electrical Engineering Congress (IEECON), October 2017.
- [2] K. Ishino, K. Sakamoto and M. Miyatake, "Energy-saving Operating Strategy of a Catenary Free Light Rail Transit," 2012 15th International Conference on Electrical Machines and Systems (ICEMS), Sapporo, Japan, January 2013.
- [3] H. al-Ezee, S. B. Tennakoon, I. Taylor and D. Scheidecker, "Aspects of Catenary Free Operation of DC Traction Systems," 2015 50th International Universities Power Engineering Conference (UPEC), Stoke on Trent, UK, December 2015.
- [4] L. Alfieri, D. Iannuzzi, F. Mottola, M. Pagano and M. Roscia, "Battery-Based Energy Storage Systems for Catenary-Free Electric Trains," 2018 IEEE International Conference on Electrical Systems for Aircraft, Railway, Ship Propulsion and Road Vehicles & International Transportation Electrification Conference (ESARS-ITEC), Nottingham, UK, January 2019.
- [5] H. M. Al-Ezee, S. Tennakoon, I. Taylor, D. Scheidecker and J. Schweickart, "An On-board Energy Storage System for Catenary Free Operation of a Tram," International Conference on Renewable Energies and Power Quality (IREPO'17), Malaga, Spain, April 2017.
- [6] N. Ghaviba, M. Bohlin, C. Holmberg and E. Dahlquist, "Speed profile optimization of catenary-free electric trains with lithium-ion batteries," Journal of Modern Transportation, January 2019.
- [7] M. F. Robbins, "Ultimate Electronics: Practical Circuit Design and Analysis," 2019. [Online]. Available: <https://ultimatemechanics.com/> [Accessed 20 January 2020]
- [8] Altair Nanotechnologies, "24 V 70 Ah Battery Module," 22 September 2016. [Online]. Available: <https://altairnano.com/products/battery-module/> [Accessed 11 November 2019]
- [9] Battery university, "Types of Lithium-ion," 10 July 2019. [Online]. Available: https://batteryuniversity.com/learn/article/types_of_lithium_i [Accessed 24 August 2020]



Available online at www.sciencedirect.com
ScienceDirect

Energy Reports 8 (2022) 958–965



www.elsevier.com/locate/egyr

2022 The 4th International Conference on Clean Energy and Electrical Systems (CEES 2022),
 2–4 April, 2022, Tokyo, Japan

Electrical power supply system planning for a modern catenary-free rapid charging

Chalita Jobsoongnern, Tosaphol Ratniyomchai, Thanatchai Kulworawanichpong*

School of Electrical Engineering, Institute of Engineering, Suranaree University of Technology, Nakhon Ratchasima 30000, Thailand

Received 16 May 2022; accepted 26 May 2022

Available online xxxx

Abstract

Electric power supply system planning is practically an important function of the modern light rail transit system with catenary free operation and rapid charging. Installing a modern dynamic load of the traction power supply system with the local electric distribution network needs to consider its capacity and feeder to support enough and efficiently. In this paper, the design of the electrical power supply system of the pilot project of Nakhon Ratchasima Green Line light rail system with 11.6-km line length and 21 passenger stations operated with catenary-free and powered with an on-board energy storage device has been proposed and planned to replace the old local transportation. The traction power supply of the light rail system drawn power from the MV distribution feeder practically consist of receiving power substation, MV power feeding system power feeder substation, charging power supply and service power supply have been designed provided the configuration circuit. A rapid charge system to delivery high power to fulfill the on-board energy storage is considered to recharge at passenger stations with an overhead conductor or wireless power transfer during a short dwell time. A number of charging station is determined accordingly the capacity of the power substation and its positions. The traction power drawn by a train service round-trip that related to the capacity of the power substation as a charging station has been calculated by the simulation of the train movement. The regenerative braking energy during train operated in braking mode is also considered as a partial charging energy the on-board energy storage device. From the proposed design, the motive energy consumption of each scenario charging formations obtains the maximum charging energy drawn by the train between charging points, the capacity of on-board energy storage devices, maximum charging power and the total charging points.

© 2022 The Author(s). Published by Elsevier Ltd. This is an open access article under the CC BY-NC-ND license (<http://creativecommons.org/licenses/by-nc-nd/4.0/>).

Peer-review under responsibility of the scientific committee of the 4th International Conference on Clean Energy and Electrical Systems, CEES, 2022.

Keywords: Power supply system; Catenary-free; Rapid charging; Light Railway Transit; On-board energy storage; Traction substation

1. Introduction

In the recent decade, several cities across the world have their own public transport system planning to serve the population growth and to support some other policies such as tourism, solving traffic congestion problems, etc.

* Corresponding author.

E-mail address: thanatchai@gmail.com (T. Kulworawanichpong).

<https://doi.org/10.1016/j.egyr.2022.05.269>

2352-4847/© 2022 The Author(s). Published by Elsevier Ltd. This is an open access article under the CC BY-NC-ND license (<http://creativecommons.org/licenses/by-nc-nd/4.0/>).

Peer-review under responsibility of the scientific committee of the 4th International Conference on Clean Energy and Electrical Systems, CEES, 2022.

Electric transportation is determined as a smart choice for moving people with zero emission impact. In tradition, electric tram cars or light rail vehicles have been constructed and served several cities in such a way that overhead contact lines cover every single street corner of the city. This old fashion approach to feed electric energy to any moving vehicles has its visual effect to discomfort people sight of view or to interfere historical sites of the city heritage.

To have both zero emission and no visual impact, a so-called wireless or catenary-free vehicle system has been introduced [1–3]. A high-capacity lithium-ion battery is installed on-boarded a moving vehicle. The on-board energy storage device can be recharged in various schemes. During dwell time at stops, battery recharging can be carried out incorporating with a rapid charging machine equipped at that stopping platform. Up to date, this electric energy re-filling can generate a peak charging power up to date up to several hundred kilo-Watts. It can lead to fully charging of a 20-kWh battery with 500-kW peak charging power within 0.04 h or just 2.4 min. However, the peak power and the charging time are adjustable due to the design.

In a recent decade, many catenary-free tram or light rail projects were planned and constructed. Trams, so-called Acumulador de Carga Rápida (ACR) [4], in Seville, Spain have fast charging batteries, therefore they are not needing catenaries along the track. This tram line gives a range of 6.4 km in North-South direction route. The battery is partially recharged between stops by regenerative braking and at stops (13 stops totally), it is completely recharged in around thirty seconds by current drawn via pantograph from a short section of overhead line. Newcastle light rail, Newcastle, Australia, runs from Newcastle interchange in Wickham to Newcastle beach in the east end of Newcastle [5]. The 2.7-km catenary-free light rail system without overhead wires was launched and recognized. In China's Zhejiang province, the 10.6-km line operates between Jiaxing South high-speed train station and the city center [6]. 20 light rail vehicles were built and equipped with on-board batteries having the capacity to store 48 kWh energy after a 30-second rapid charge at each stopping station platform. The wireless or catenary-free vehicle system is demanded increasingly and trending to be a transportation mean of a modern city in the near future.

Nakhon Ratchasima is considered as the second largest city of Thailand in population and now planned for its own brand-new public transport system to replace the old fashion bus public transport system. Among cities of Thailand, Nakhon Ratchasima or Korat for short has a population of approximately 2.7 million, and generates about 250 billion baht in GDP [7]. As Northeastern Thailand's main transportation hub and economic center, Nakhon Ratchasima can be reached by many means, including private car, public bus, and train. Once there, it may be easier to get around with a private car, but there are standard forms of local transport available for visitors: i.e. songtaew (pick-up truck), motorbike taxi, and tuk tuk. Local bus services in this city have been changed time by time. In 2018, twenty local bus routes are still existed in this city [8]. Regarding to the Land Traffic Management Committee's resolution on the first meeting on 21st February 2018, the committee agree with Master plan and its feasibility's results presented by the Office of Transport and Traffic Policy and Planning (OTP) to precede Nakhon Ratchasima public transport system under Public Private Partnership scheme (PPP). The committee also assigned MRTA (Mass Rapid Transit Authority of Thailand) to implement the master plan one route at a time by selecting the green line as a first project. Unlike other cities in Thailand, the Nakhon Ratchasima Green Line Light Rail Transit is planned to employ a wireless or catenary-free vehicle system.

2. Nakhon Ratchasima green line light rail transit system

The Project alignment of Nakhon Ratchasima Green Line starts at Saveone Market (West-end terminal station), runs on Highway no.2, turns right to Mookmontri road, then runs pass Nakhon Ratchasima railway station, after that continues to Pho Klang road, turns left in front of Thao Suranaree monument on to Rajadammern road, turns right on to Highway no. 224, turns left on Highway no. 205 through Rajamangala University of Technology Isan, and end of project at in front of Baan Naree Sawat Protection and Occupational Development Center (East-end terminal station). The return trip, alignment runs back on the same path except the operation around the area of Thao Suranaree monument. While running on Highway no. 224, the alignment turns left to Chumpol road, runs pass the Thao Suranaree monument, and turns right to Chomsurang Yat road. Alignment meets the same path at the Huai Rot Fai 5-Way intersection, continues running along the path, and the end of Project at Saveone Market as shown in Fig. 1. The total length of this route is 11.17 km.

Starting from Saveone market station GL-01 to Bann Naree Sawat GL-16, the LRT line moves toward east direction passing 16 stopping station platforms. In the backward direction, moving from GL-16 to GL-01 passes totally 17 stopping station platforms. The Nakhon Ratchasima Green Line is conceptually designed by using battery or supercapacitor rail vehicles incorporating with rapid recharging at stopping stations.

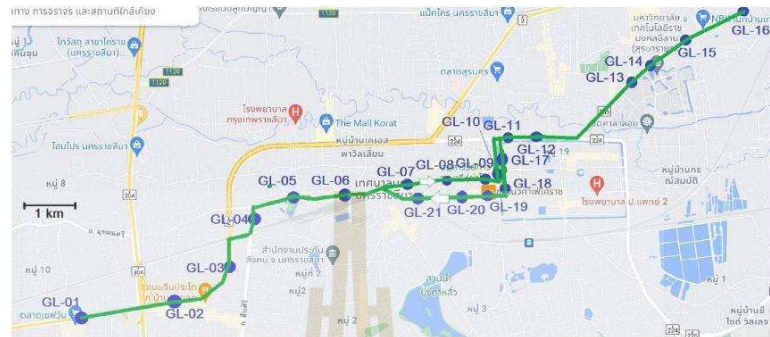


Fig. 1. Map of Nakhon Ratchasima Green Line Light Rail Transit.

3. Planning and design result

To obtain the electric power and energy drawn by the vehicle traveling on the running rail is related to the dynamic variables of position, speed, and acceleration of its movement. The train motion with these variables pertains all existing forces acting on its with unbalance according to the Newton's second law of motion [9–12]. The train acceleration is directly depended on the net force making upon the train body and the mass of the train.

Electrical power supply can be divided into two separated systems. The power supply for rapid charging system is the first form to deliver electrical power to on-board energy storage device of vehicles by charging at four stopping platforms as previously mentioned. The second power supply is the power supply for electrical service power consumed at stopping platforms.

3.1. Power supply for rapid charging system

The Nakhon Ratchasima Green Line LRT Project uses on-board energy storage systems to supply the vehicles' motive power. The electrical power supply system is designed to have four rapid charging stations located at GL-01, GL-06, GL-11 and GL-16. A total amount of energy consumption for a rail vehicle movement for the Nakhon Ratchasima LRT Green Line is calculated and shown in Fig. 2.



Fig. 2. Calculation of energy consumption for a rail vehicle movement for the Nakhon Ratchasima Green Line LRT.

A total amount of 53.2 kWh is spent for one rail vehicle traveled from Saveone market (GL-01) to Baan Naree Sawat (GL-16) or 4.86 Wh/m. This direction consists of 16 stopping platforms and the average per-unit stopping distance of 690 m. This implies that 3.35 kWh is used to travel for between two adjacent stops. There are 5 stops between GL-01 to GL-06, between GL-06 to GL-11 and between GL-11 to GL-16. Therefore, in this direction, a rail vehicle needs a total of 16.75 kWh to be consumed for traveling between any two adjacent rapid charging locations.

In the direction from Baan Naree Sawat (GL-16) to Saveone market (GL-01) a rail vehicle spends a total of 56.99 kWh for its motive power. This summarizes that a total consumption of 5.18 Wh/m is used for this travel between 16 stopping platforms of 650m/stop. This implies that 3.37 kWh/stop is consumed when traveled from GL-16 to GL-11 (5 stops), GL-11 to GL-06 (6 stops) and GL-06 to GL-01 (5 stops). Therefore, the maximum energy consumption between two adjacent charging location in this direction is 20.22 kWh.

As calculated previously, the minimum capacity of an on-board energy storage system should be sufficient to cover the travel between two adjacent charging stops that is 20.22 kWh or rounded up to 21 kWh. This calculation is based on the vehicle speed profile for both directions as shown in Fig. 3. This is a case of separate track that any street cars are not allowed to use this LRT lane. When Considering with the use of partial mixed traffic (a rail vehicle running on a street in the city) the speed profiles of this case are shown in Fig. 4.

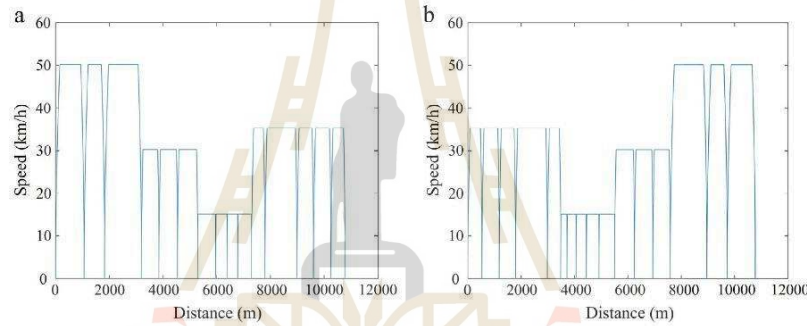


Fig. 3. Rail vehicle speed profiles for a separate track case. (a) Direction to Saveone market; (b) Direction to Baan Naree Sawat.

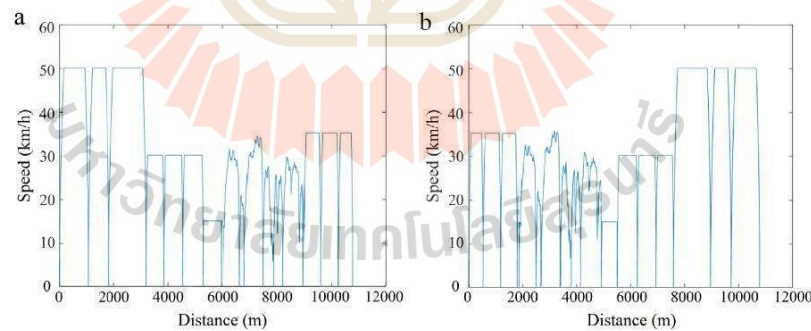


Fig. 4. Rail vehicle speed profiles for a mixed track case. (a) Direction to Saveone market; (b) Direction to Baan Naree Sawat.

Assuming that the dwell time is 40 s and the charger works in the constant power mode of operation. The rapid charging power to energize an on-board energy storage system during this dwell time can be computed as follows

$$P_{\text{charge}} = \frac{21 \text{ kWh}}{40 \text{ s}/3600 \text{ s/h}} = 1890 \text{ kW} \approx 2000 \text{ kW (2 MW)}$$

According to the distance between the two adjacent charging locations is 5 stops and each charging platform can deliver charging power to any vehicles in both directions, the maximum number of charging rail vehicles standing on the same charging location at the same time is two (in both directions). This leads to $(2 \times 2 \text{ MW}) 4 \text{ MW}$ of the maximum charging power per one charging location. The CTF rating is fairly 5 MVA (with 125% fairly designed) at each location as in Fig. 5.

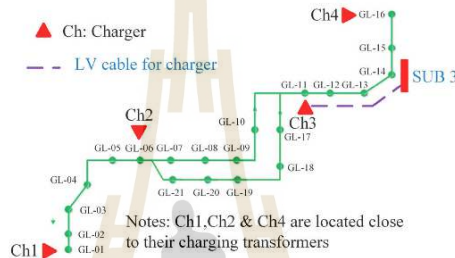


Fig. 5. Rapid charging locations on the Nakhon Ratchasima Green Line LRT.

As described in Fig. 5, the charging position is typically located at a stop equipped with the CTF except GL-11. The charging machine at GL-11 is connected to the CTF that installed in SUB3 which requires a 2300-m feeding cable for this connection. Voltage and current rating of the charging machine is dependent on specific requirements given on the detailed design. This is not included in the scope of this preliminary design. The charging formation is left to be selectable in the detailed design. This can be either a rooftop pantograph charging system or a wireless power transfer charging system. This preliminary design provides only $4 \times 5 \text{ MVA}$ charging transformers, one at each of four MV substations (SUB1, SUB2, SUB3 and SUB4).

Distribution circuits from each CTF installed in a feeder substation to a position that the charging machine installed can be shown in Fig. 6.

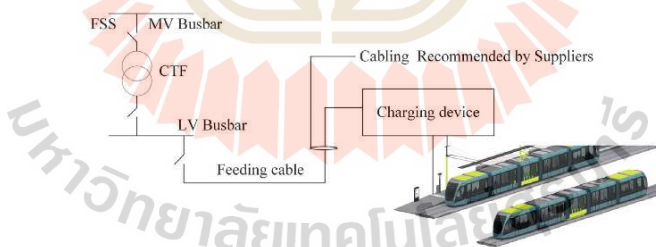


Fig. 6. Diagram for rapid charging machine of the Nakhon Ratchasima Green Line LRT.

3.2. Rapid charging power supply

An energy storage system on-boarding a vehicle is vital in a contemporary or modern rapid rail transit system. Catenary-free or wireless concept for power supply is new and still challenging. This can be simplified and split

into two sub-problems. The first one is to find optimal sizing of the on-board energy storage device. However, it is not the main focus of this study. The main focus of this study is the latter sub-problem. It is to design a charging system working incorporated with the pre-specified energy storage device sizing of rail vehicles. The charging system design is carried out with the concept of charge for moving. The main factor results in this design is how often a moving vehicle is charged during its journey. The longest distance between two consecutive charging points dominates the sizing of the energy storage device and therefore the charging machine rating.

Fig. 7 presents five charging formations (F1–F5) for Nakhon Ratchasima Green Line LRT. F1 is the first formation that a charging machine is installed at every stopping platform. This formation requires 18 charging locations. F2 is the formation that put the charging machine at every two stopping platforms. This formation requires 10 charging locations.

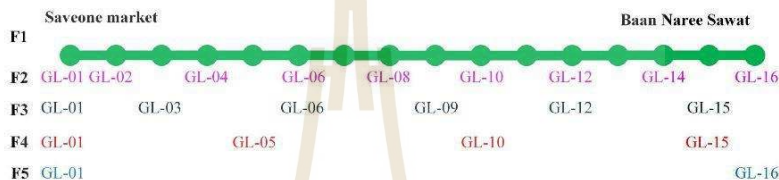


Fig. 7. Rapid charging formation.

Assume that a rapid rail transit line route has n charging location platforms. $D_{i,i+1}$ and $E_{i,i+1}$ denote the distance and motive energy required between two consecutive charging location platforms i and $i+1$, respectively. The required capacity E_{OB} of an on-board energy storage device in order to travel between any two consecutive charging location platforms can be determined by the following equation. According to this capacity and dwell time D_T at stopping platform, the power rating of the charging machine can be calculated by (1) and (2). It notes that k_1 and k_2 are arbitrarily design factors.

$$E_{OB} = k_1 \times \max_{i=1:n-1} E_{i,i+1} \quad (1)$$

$$P_{CH} = k_2 \times \frac{E_{OB}}{D_T} \quad (2)$$

The motive energy that each vehicle consumes during its journey between two charging stations can be calculated and presented as shown in **Table 1** for cases F1–F4. **Table 2** provides comparisons in some key aspects. The selection of charging formation is dependent on several factors. Obviously, overall cost determination is dominated in many design studies. Environmental impact and archaeological or ancient value are also important.

4. Conclusions

The electric power supply planning of the pilot project of Nakhon Ratchasima Green Line Light Rail System is an important role to support the traction power supply system especially the rapid charge to the on-board energy storage device of the catenary-free operation. The traction power supply system is designed to receive electrical power from the MV feeder line at both end railway lines to support four-traction substations connected by the underground feeding cable. The electrical power supply design results obtain the capacity of the power supply for the rapid charging system. The total energy consumption of a train running upward and downward directions are 53.52 kWh and 56.99 kWh, respectively, and the average of the energy used between stop stations are 3.35 kWh and 3.37 kWh, respectively. It found that the energy consumed by one train traveling between two adjacent rapid charging stations is about 21 kWh for the case study of four-rapid charging stations with rating of charging transformer of 5 MW. In addition, the rapid charging formation is also considered as five-scenarios according to the number and position of charging stations, including charging every 1-stop, 2-stops, 3-stops, 5-stops and only one stop at the terminal. Finally, the selected charging formation in terms of the total number of charging point and its capacity is dependent on the overall investment cost determination.

Table 1. Motive energy calculation for each charging formation.

Station code	From	To	F1	F2	F3	F4
GL-01	GL-01	GL-02	2.9135			
GL-02	GL-02	GL-03	4.3236	7.2371		
GL-03	GL-03	GL-04	1.9875		9.2246	
GL-04	GL-04	GL-05	2.5207	4.5082		13.4277
GL-05	GL-05	GL-06	1.6824			
GL-06	GL-06	GL-07	3.1294	4.8118	7.3325	
GL-07	GL-07	GL-08	4.2055			
GL-08	GL-08	GL-09	1.1178	5.3233		
GL-09	GL-09	GL-10	2.4935		7.8168	
GL-10	GL-10	GL-11	1.6905	4.1840		12.6367
GL-11	GL-11	GL-12	1.3392			
GL-12	GL-12	GL-13	1.9704	3.3096	5.0001	
GL-13	GL-13	GL-14	3.1095			
GL-14	GL-14	GL-15	2.9542	6.0637		
GL-15	GL-15	GL-16	2.1885			
GL-16	GL-16	GL-17	2.1328	4.3213	8.2522	11.5618

Table 2. Motive energy consumption for each charging formation.

Description	Charging formation				
	1 stop	2 stops	3 stops	4 stops	1-Ch/round
Max. kWh btw adjacent charging stop	4.3	7.2	9.2	13.4	82.96
Designed onboard ESS/vehicle (kWh)	9	15	18	27	160
Max. charging power (kW) in 20 s	788	1303	1660	2417	No
Total charging points	19	10	7	5	1

Declaration of competing interest

The authors declare that they have no known competing financial interests or personal relationships that could have appeared to influence the work reported in this paper.

Acknowledgments

This work, Research ID: 2536975, was supported by (i) Suranaree University of Technology (SUT), Thailand, (ii) Thailand Science Research and Innovation (TSRI), and (iii) National Science, Research and Innovation Fund (NSRF), Thailand.

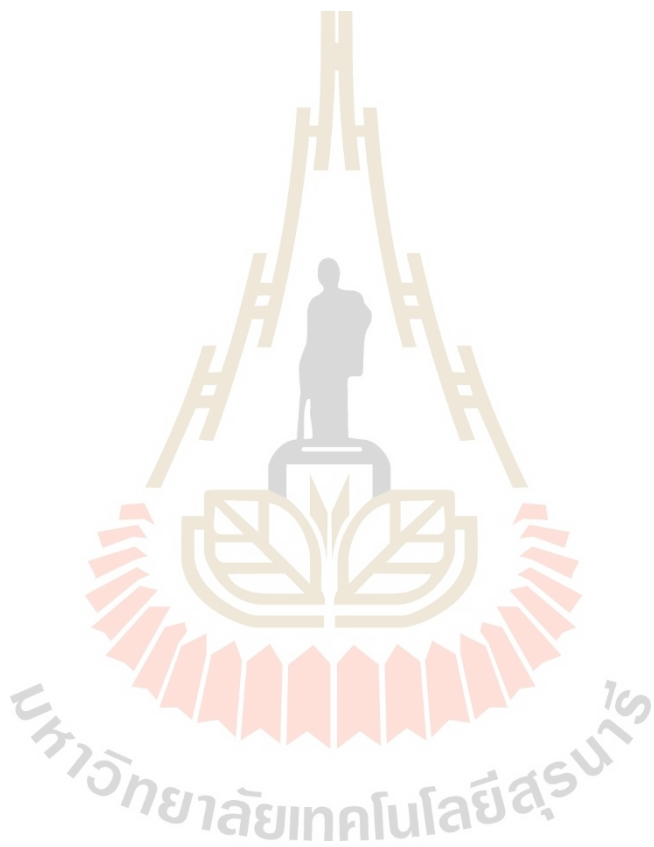
References

- [1] Becker F, Dämmig A. Catenary free operation of light rail vehicles —Topology and operational concept. In: European conference on power electronics and applications. 2016.
- [2] Mwambaleko JJ, Kulworawanichpong T. Battery and accelerating-catenary hybrid system for light rail vehicles and trams. In: 5th international electrical engineering congress. 2017.
- [3] Alfieri L, Iannuzzi D, Mottola F, Pagano M, M. Roscia M. Battery-based energy storage systems for catenary-free electric trains. In: IEEE international conference on electrical systems for aircraft, railway, ship propulsion and road vehicles and international transportation electrification conference. 2018.
- [4] Ameneiro AS. Adiós a las catenarias en la Catedral. Diario de Sevilla. 2011, [online]. Available: https://www.diariodesevilla.es/sevilla/Adios-catenarias-Catedral_0_466453411.html [Accessed 16 July 2018].
- [5] Local News. Newcastle light rail down hunter street will be wireless. In: Newcastle herald. 2017, [online]. Available: <https://www.newcastleherald.com.au/story/4604384/light-rail-journey-set-to-be-wireless/> [Accessed 18 April 2017].
- [6] Clinnick R. First catenary-free light rail line opens in jiaxing. Int Railway J 2021, [online]. Available: <https://www.railjournal.com/passenger/light-rail/catenary-free-light-rail-line-opens-in-chinas-jiaxing-province/> [Accessed 4 July 2021].
- [7] Wikitravel.org. Nakhon Ratchasima – Wikitravel. 2019, [online]. Available: https://wikitravel.org/en/Nakhon_Ratchasima [Accessed 8 July 2019].

C. Jobsoongnern, T. Ratniyomchai and T. Kulworawanichpong

Energy Reports 8 (2022) 958–965

- [8] Wekorat by Wongnai. 2-Taew Korat map. 2016, [online]. Available: <https://wekorat.com/2016/04/07/2-taew-korat-map-download/> [Accessed 7 April 2016].
- [9] Goodman CJ. Overview of electric railway systems and the calculation of train performance. In: IET professional development course on electric traction systems. 2008.
- [10] Steimel A. Electric traction—motive power and energy supply: basic and practical experiences. Munich: Oldenbourg Industrieverlag; 2008.
- [11] Mashadi B, Crolla D. Vehicle powertrain systems: integration and optimization. Hoboken: Wiley; 2012.
- [12] Kulworawanichpong T. Multi-train modeling and simulation integrated with traction power supply solver using simplified Newton-Raphson method. J Modern Transp 2015;23(4):241–51.



ประวัติผู้เขียน

นางสาวชลิตา จบสูงเนิน เกิดเมื่อวันที่ 1 กันยายน พ.ศ. 2539 ที่อำเภอเมืองบุรีรัมย์ จังหวัดบุรีรัมย์ สำเร็จการศึกษาระดับปริญญาตรีวิศวกรรมศาสตรบัณฑิต (วิศวกรรมไฟฟ้า) เกียรตินิยมอันดับ 1 จากมหาวิทยาลัยเทคโนโลยีสุรนารี จังหวัดนครราชสีมา เมื่อ พ.ศ. 2561 และได้เข้าศึกษาต่อในระดับปริญญาโทวิศวกรรมศาสตรมหาบัณฑิต (วิศวกรรมไฟฟ้า) มหาวิทยาลัยเทคโนโลยีสุรนารี เมื่อปี พ.ศ. 2562 โดยขณะกำลังศึกษาระดับปริญญาโทได้เป็นผู้สอนในรายวิชาปฏิบัติการต่าง ๆ ของสาขาวิชาวิศวกรรมไฟฟ้า มหาวิทยาลัยเทคโนโลยีสุรนารี และมีผลงานตีพิมพ์ดังปรากฏรายละเอียดในภาคผนวก ฯ

